2 6 4 П В 8 6 6 Г Д О К Л А Д Ы

-120 4 121 10

LIX, No 3
1974

խմբագրական կոլեցիա

է. Գ. ԱՖՐԻԿՅԱՆ, կենսարանական գիտությունների դոկտու, Ա. թ. ԲԱԲԱՅԱՆ, 2002 ԳԱ ակադեմիկոս, Ա. Ա. թԱՀԱՀ-ՁԱՆ, 2002 ԳԱ թղթակից-անդամ, Վ. Մ. թԱՌԱՅԱՆ, 2002 ԳԱ թղթակից-անդամ, Վ. Հ. ՀԱՄՐԱՐՁՈՒՄՅԱՆ, ակադեմիկոս, Վ. Հ. ՂԱԶԱՐՅԱՆ, 2002 ԳԱ թղթակից-անդամ (պատ, իմրազբի տեղակալ), Ս. Հ. ՄԻՐՋՈ-ՅԱՆ, 2002 ԳԱ թղթակից-անդամ, Մ. Մ. ՄԱՋԱՐՈՎ, 2002 ԳԱ ակադեմիկոս (պատ-իմրազիւ), Օ. Մ. ՍԱԳՈՆՋՅԱՆ, 2002 ԳԱ թղթակից-անդամ։

Редакционная коллегия

В. А АМБАРЦУМЯН, вхадемих, Э Г АФРИКЯН, дожтор ономогических наук, А. Т. БАБАЯН, академик АН АрмССР, В. О. КАЗАРЯН, чл. корр. АН АрмССР (зам. отв. редактора). С А МИРЗОЯН, чл. корр. АН АрмССР С С. МКРТЧЯН академик АН АрмССР (отв. редактор). О М САПОНДЖЯН чл. корр. АН АрмССР, А. А. ТАЛАЛЯН, чл. корр. АН АрмССР, В М ТАРАЯН, чл. корр. АН АрмССР, В М ТАРАЯН, чл. корр. АН АрмССР, М Л ТЕР-МИКАЕЛЯН, чл. корр. АН АрмССР, М Л ССР.

የበፈԱՆԴԱԿበኮዮՑበՒՆ

O MP O O MOI PO	45
Ի. Վ. Կովալիչինա— J-Հգող մատրիցա-ֆունկցիաննրը Կարաթնողորիի խնդրում Ա. Վ. Չաքմազյան—Գնոդնզիական հո-հյուսվածքը հրկչափ աֆինական կապակցու-	129
	136
Almipjus dpm	141
uppublique truphtruspiu	
Ռ. Ս. Մինասյան <i>— Ուզզանկյուն լայնական հատվածը ունեցող շարժվող պրիզմատիկ</i>	148
IF6bULVP4U	
գարթության գամար մի ջանի կոնտակտային խնդիրներ	154
21:01:41L	
Գ. Մ. Ավազյանգ, Ս. Գ. Դոլմազյան <i>— Արծաթով միախառնված դ-սիլիցիումալի</i> ն	
Տ- <i>երկէլեկարողներում Հոսաերի Բելի մի քանի մատկությունները</i> Գրիգույան, Գ. Ս. Սանակյան, Է. Վ. Չուջարյան— <i>Միչու-</i>	162
կային նյութում «— կոնդննսատի առաջացման հարցի վերաբերյալ	168
กายเลยาสายาสายาสายาสายาสายาสายาสายาสายาสายาส	
Ա. Մ. Մխիթաբյան, Ա. Ս. Ոանակյան, Հ. Ս. Հակորյան—Հայկական ՈՈՀ-ի տա-	420
րածքի չերմային հաշվեկչոի ուրվագծեր	172
<u>ማኮበՔኮՄኮԱ</u>	
Ա. Ա. Կալոյան, Ռ. Հ. Կաբապետյան—Սոմատոստատինի ազդեցությունն օքսիդա- րիոն ֆոսֆորիլացման՝ վրա ձագարների սրտի, հիպոթալամուսի, երիկամների և լլարգի	
	179
ԱԳՐՈՔԻՄԻՍL	
Ա. մ. Դայսայան, Գ. Վ. Բազոյան Հուի արիլսուլֆատազայի ակտիվության մասին	184
upansurusuranpanpa.	
Ս. If. ծաբլոկով-Խնձույան—Կարծրալ և— Նեղթևանիների երկու նոր տեսակ Տա-	
7/4	188

СОДЕРЖАНИЕ

математика	Стр
И. В. Ковплишина— I— растягнвающие матрицы-функции в задаче Кара- теодорин А. В. Чакмазян—О геодезических три-тканях на двумерном многообразии аффиной связности В. А. Нерсисян—Интегральная геометрия на многообразии гиперплоскостей.	129 136 141
ПРИКЛАДНАЯ МАТЕМАТИКА	
Р. С. Минасян—Температурное поле движущегося призматического тела с прямоугольным поперечным сечением	148
МЕХАНИКА	
С. С. Шагинян—Некоторые контактные задачи для бесконечной пластины с круговым отверстием, усиленной упругими накладками	154
ФИЗИКА	
Г М Авакьянц, С. Г. Долмачян—Некоторые свойства шнура тока в S-дво- дах из п-кремния с примесью серебра	162 163
МЕТЕОРОЛОГИЯ	
А. М. Мхитарян, А. С. Савкян. А. С. Акапян—Контуры теплового баланса территории Армянской ССР ,	172
БИОХИМИЯ	
А. А. Галоян, Р. О. Каралетян—Влияние соматостанина на окислительное фосфорилирование в митохондриях сердца, гипоталамуса, почек и печени кошки	179
АГРОХИМИЯ	
А. Ш Галстян. Г. В. Базоян—Об активности арилсульфатазы почвы	184
энтомология	
С М. Яблоков Хизорян—Два новых вида жесткокрылых—узкокрылок из Таджикистана (Coleoptera, Oedemeridae)	188

d e from Tadjikisian

188

CONTENTS	P.
MATEMATICS 1. V. Covalishina — J — Contactive matrix functions in Carateodori problem A. V. Tchakmazian — About the geodetic 3-tissue on double measured multiform affinal connectedness • • • • • • • • • • • • • • • • • •	129 136 141
APPLIED MATEMATICS R. S. Minasian — Temperature field of moving prismitalic body with rectangular cross-section • • • • • • • • • • • • • • • • • • •	148
MECHANICS S. S. Shahinian — Some contact problems for an infinite plate with circular hale, intensified with clastic stiffeners • • • • • • • • • • • • • • • • • • •	154
PHYSICS G. M. Avakiants, S. G. Dolmazian-Some properties of current Jilament in S-diodes from n-S: compensated by silver G. P. Aladiana, L. Sh Grigoriun, G. S. Sahakian, E. V. Chubarian About formation of z.— condensat in nuclear matter	162
METEOROLOGY	
A. M. Mkhitarian. A. S. Sahakian, A. S. Hakobian—Contours of the heat balance for the territory of Armenta	172
BIOCHEMISTRY	
A. A. Galoyan, R. O. Karapetian. The effect of Somatostatine on the oxidatiuve phosphorylation in mitochondria of rabbit heart, hypothalamus, liver and kidneys.	179
AGROCHEMISTRY	
A Sh Galstian, G. V. Bazoyan About atylisulfatase activity of soil ENTOMOLODY	184
S. M. Veblokoff-Khnaurian. Two new species of Culconterns-Oedements	

Технический редактор Л. А АЗИЗБЕКЯН

ВФ 04619. Подписано к печати 20/1 1975 г. Тираж 550. Изд. 4187. Закиз 725. Формат бумаги 70×1081/16. Печ. л. 4,0. Бум. л. 2,0. Усл. леч. л. 5,6. Уч. изд. листов 4,54.

LIN 3

УДК 519210

MATEMATHKA

И. В. Ковалишина

J- растягивающие матрицы-функции в задаче Каратеодори

(Представлено академиком АН Армянской ССР М. М. Джрбашяном 20/IV 1974)

1. Заданы n+1 квадратных матриц m-го порядка C_0 , C_1 , ..., C_n ; требуется: а) найти необходимые и достаточные условия того, что C_0 . C_1 , ..., C_n являются первыми коэффициентами разложения в ряд матри-

цы-функции класса Каратеодори C $\left(\frac{F(\zeta)+F(\zeta)}{1-\zeta}\geqslant 0\right)$

$$F(.) = C_0 + C_1 + \dots + C_n + \dots$$
 (1)

b) описать все матрицы-функции этого класса с такими первыми коэффициентами.

Теоремя 1: Для того, чтобы матрица-функция F(1) была решением поставленной задачи, необходимо и достаточно, чтобы она удовлетворяла основному матричному неравенству

Последнее неравенство получается путем разумного перехода к пределу в известном неравенстве Шварца—Пика для функций класса Каратеодори:

$$\frac{F(\zeta_j) + F^*(\zeta_k)}{1 - \zeta_j \zeta_k} |_{j,k-1} > 0 \tag{3}$$

Следующий этап исследования заключается в решении перавенства (2). По сравнению с проблемой Неванлишны Пика (1) решение этой задачи потребовало значительных усилий. Вместо группового множителя с простыми полюсями в узлах интерноляции, здесь возникает множитель с полюсом кратности n-1 в точке — , структура которого намного сложнее (2).

Будем считать, что блок

$$A = \begin{bmatrix} C_0 + C_0 & C_1^* & \dots & C_n^* \\ C_1 & C_0 + C_0 & \dots & C_{n-1}^* \\ & & & & & & \\ C_n & C_{n-1} & \dots & C_0 + C_0^* \end{bmatrix}$$

неособенный. Обозначим
$$\|h_{jk}\|_{-k-1}^{n-1} = A^{-1}$$
, $J_1 = \begin{pmatrix} 0 & I_m \\ I_m & 0 \end{pmatrix}$.

Теорема 2: Общее решение основного матричного неравенства (1) представляется в виде дробно-линейного преобразования произвольной матрицы-функции f(1) класса С

$$F(1) = [a(1)f(1) + b(1)][c(1)f(1) + d(1)]^{-1},$$

матрица коэффициентов которого

$$B(x) = \begin{vmatrix} a(x) & b(x) \\ c(x) & d(x) \end{vmatrix} = \begin{pmatrix} 0 & 1 \\ 0 & 1 \end{pmatrix}$$

$$-\sum_{k=1}^{n-1} \sum_{n=k}^{n+1} C_{n-k} h_{nk-\frac{1}{2}} \sum_{k=1}^{n+1} \sum_{n=1}^{n+1} \sum_{k=1}^{n+1} \sum_{k=1}^{n+1} C_{n-k} h_{nk} C_{n-k}$$

$$+ (1-x)\sum_{k=1}^{n-1} h_{kk} - \sum_{k=1}^{n+1} \sum_{n=1}^{n+1} h_{kn} C_{n-k}$$

$$+ \sum_{k=1}^{n+1} h_{kk} - \sum_{k=1}^{n+1} \sum_{n=1}^{n+1} h_{kn} C_{n-k}$$

является растятивающей в единичном круге, J_1 -унитарной на его границе матрицей-функцией с полюсом порядка n+1 в точке

Возможен и другой подход к решению этой задачи. Рассмотрим матрицу-функцию вида

$$Q_{1} = \begin{bmatrix} -C_{0}^{+}(C_{0} + C_{0})^{-1} & C_{0}^{*}(C_{0} + C_{0})^{-1} & C_{0}^{*}(C_{0} + C_{0})^{-1} & C_{0} \\ (C_{0} + C_{0}^{*})^{-1} & -(C_{0} + C_{0}^{*})^{-1} & C_{0} \end{bmatrix}, \quad Q_{1}^{2} = -Q_{1}, \quad Q_{1}J_{1} \ge 0$$

так называемый двучленный элементарный множитель, то есть матрицу-функцию, имеющую простой полюс в точке $\mathbb{I} = \infty$, J_1 растягивающую в круге $|\mathbb{I}| = 1$ и J_1 унитарную на его границе. Дробно-линейное преобразование

$$F(\zeta) = [a_1(\zeta)f_1(\zeta) + b_1(\zeta)][c_1(\zeta)f_1(\zeta) + d_1(\zeta)]^{-1} = D_1(\zeta)[f_1(\zeta)],$$

где $f_1(1)$ – произвольная функция класса C, дает на выходе матрицуфункцию F(1) с заданным свободным членом разложения

$$F(:) = C_0 + \dots$$

Если теперь искать матрицу - функцию $F(z) = C_0 + C_1z + \ldots$ с двуми известными коэффициентами ряда, то разложение в ряд параметра $f_1(z) = C_0^{(2)} + \ldots$ должно иметь вполне определенный свободный член $C_0^{(2)}$, легко выражающийся через C_0 , C_1 . Но тогда

$$f_1(\zeta) = [a_2(\zeta)f_2(\zeta) + b_2(\zeta)][c_2(\zeta)f_2(\zeta) + d_2(\zeta)]^{-1} = D_2(\zeta)[f_2(\zeta)],$$
 the $f_2(\zeta) \in C$

$$D_{u}(z) = I + (1-z)Q_{2}, \qquad Q_{0} = \begin{bmatrix} -C_{0}^{(2)}(C_{0}^{(2)} + C_{0}^{(2)})^{-1} & C_{0}^{(2)}(C_{0}^{(2)} + C_{0}^{(2)})^{-1} & C_{0}^{(2)} \\ (C_{0}^{(2)} + C_{0}^{*})^{-1} & -(C_{0}^{(2)} + C_{0}^{(2)})^{-1} & C_{0}^{(2)} \end{bmatrix}$$

Суперпозиция дробно-линейных преобразований

$$F(1) = D_1(1)|D_2(1)|f_2(1)||$$

имеет матрицу коэффициентов () () и дает общий вид функций класса С с двумя заданными коэффициентами степенного рада.

Продолжая этот процесс*, получим, что задаче Каратеодори соответствует конечное произведение двучленных множителей

$$\prod_{j=1}^{n-1} D_j(z) = \prod_{j=1}^{n-1} [l+(1-z)Q_j]$$
(5)

$$Q_{j} = \begin{bmatrix} -C_{0}^{(j)}(C_{0}^{(j)} + C_{0}^{(j)})^{-1} & C_{0}^{(j)}(C_{0}^{(j)} + C_{0}^{(j)})^{-1} \\ (C_{0}^{(j)} + C_{0}^{(j)})^{-1} & -(C_{0}^{(j)} + C_{0}^{(j)})^{-1}C_{0}^{(j)} \end{bmatrix} \quad Q_{j}^{2} = -Q_{j}, \quad Q_{j}J_{1} = 0$$

Матрицы $C_0 = C_0^{(1)}, C_0^{(2)}, \dots, C_0^{(n+1)}$ называются параметрами Шура. Отме-

тим, что полученное произведение П $D_i(\cdot)$ совпадает с построенным ранее кратным множителем $B(\cdot)$, то есть

$$\bigcap_{j=1}^{n+1} D_j(\zeta) = B(\tilde{z}).$$

Тем самым каждой матрице-функции $F(\zeta)$ класса Каратеодори соответствует бесконечное произведение Бляшке—Потапова двучленных множителей

$$\bigcap_{i=1}^{n} D_{i}(\zeta).$$

требование неособенности блока А обеспечивает возможность выполнения пошагового процесса.

Наоборот, каждому бесконечному произведению двучленных множителей указанного типа соответствует вполне определенная матрицафункция F(1) класса Каратеодори. В нашей задаче произведение Бляшке всегла расходится; точная характеристика расходимости дается с помощью предельных радиусов круга Вейля (1). Радиусы круга Вейля

$$F(z) = C^{(n)} + \rho_{x}^{(n)} \frac{1}{2} u + \rho_{x}^{(n)} \frac{1}{2} u + u^{n} \le I$$
 (6)

сейчас имеют вид

$$\rho_{g}^{(n)} = \frac{|\cdot|^{2n-2}}{1-\cdots} \left\{ \left[\frac{-n}{n} \right], \frac{-n-1}{n-1} \right\} A_{n-1}^{-1}$$
 (7)

$$\varrho_d^{(n)} = \frac{1}{1 - 1} \left[\frac{1}{1 - 1} - \frac{1}{1 - 1} \right] = \frac{1}{1 - 1}$$

$$= n \cdot 1$$
(8)

при этом матрицы

е ростом и монотонно убывают.

Очевидно, ранг левого предельного радиуса д всегда равен ну-лю, что обеспечивает единственность решения.

Что же касается правого предельного радиуса, то можно привести примеры задач Каратеодори с любым наперед заданным значением ранга ρ_d . Прэтому в задаче Каратеодори естественно возникает классификация различных случаев по рангу правого предельного радиуса.

2 Весьма любопытным является применение полученных результатов к скалярному случаю. Теперь в равенстве (6) все величины скалярны и поэтому допустима перестановка

$$F(.) = C + \rho_{K}^{\frac{1}{2}} u \rho_{d}^{\frac{1}{2}} = C + u \rho_{K}^{\frac{1}{2}} \rho_{d}^{\frac{1}{2}} = C + u \rho_{K}^{\frac{1}{2}}$$

которая приводит к обычной записи круга с одним радиусом. Однако целесообразно и здесь сохранить понятие левого и правого радиуса. Выражения (7), (8) для радиусов перепишутся в виде

$$\rho_g^{(n)} = \frac{|\zeta|^{2n+2}}{1-\zeta\,\overline{\zeta}} \left\{ \sum_{j=0}^n \frac{|P_j(\zeta)|^2}{h_j} \right\}^{-1},\tag{9}$$

$$\rho_d^{(n)} = \frac{1}{1 - \zeta \bar{\zeta}} \left\{ \sum_{j=0}^{n} \frac{|P_j(\zeta)|^2}{h_j} \right\}^{-1}, \tag{10}$$

$$P_{j}(\zeta) = \frac{1}{\det A_{j}} \begin{vmatrix} C_{0} + C_{0}^{*} & C_{1}^{*} & \dots & C_{j-1}^{*} & C_{j}^{*} \\ C_{1} & C_{0} + C_{0}^{*} & \dots & C_{j-2}^{*} & C_{j-1}^{*} \\ C_{j-1} & C_{j-2} & \dots & C_{0} + C_{0}^{*} & C_{1}^{*} \\ 1 & \vdots & \ddots & \ddots & C_{j-1}^{*} \end{vmatrix}$$

$$\det A_{j} = \begin{vmatrix} C_{0} + C_{0}^{*} & C_{1}^{*} & \dots & C_{j-1}^{*} \\ C_{1} & C_{0} + C_{0}^{*} & \dots & C_{j-2}^{*} \\ C_{j-1} & C_{j-2} & \dots & C_{0} + C_{0}^{*} \end{vmatrix}$$

известные ортогональные полиномы на окружности (a); $h_j = \frac{\det A_{j+1}}{\det A_j}$

Очевидно, $\rho_d = \lim_{n \to \infty} \rho_n^{(n)} = 0$, а для правого предельного радиуса $\rho_d = \lim_{n \to \infty} \rho_d^{(n)}$ возможны два случая: $\rho_d = 0$, $\rho_d = 0$ в зависимости от того будет ли сходящимся или расходящимся ряд

$$\frac{\sum_{j=0}^{\infty} \frac{|P_j(z)|^2}{h_j}}{h_j} \tag{11}$$

Сходимость ряда (11) отвечает случаю C, а расходимость ряда (11)— случаю D в классификации задач Каратеодори (a).

3°. С задачей Каратеодори тесно связана задача о структуре и продолжении эрмитово положительных функций.

Функция $f(x)(-\infty < x < \infty)$ называется эрмитов положительной на вещественной оси, если для любого нябора точек x_1, x_2, \dots, x_n и любых комплексных чисел $\bar{x}_1, \bar{x}_2, \dots, \bar{x}_n$ выполняется неравенство

$$\sum_{j,k=1}^n f(x_j - x_k) \xi_j \overline{\xi}_k = 0.$$

Функция $f_l(x)$ пазывается эрмитово положительной на сегменте $\{-l,l\}$, если для любого набора неотрицательных точек этого сегмента $0 \le x_1, x_2, \ldots, x_n \le l$ и любых комплексных чисел $\xi_1, \xi_2, \ldots, \xi_n$ выполняется неравенство

$$\sum_{j,k=1}^n f_j(x_j - x_k) \xi_j \ \overline{\xi}_k = 0.$$

Очевидно, каждая эрмитово положительная на бесконечном промежутке ($-\infty < x < \infty$) функция f(x) будет эрмитово положительной и на любом конечном промежутке [-l,l]. Пусть наоборот, задана на конечном промежутке [-l,l] эрмитово положительная функция $f_l(x)$. Возникает вэпрос о возможности продолжения этой функции на всю действительную ось с сохранением эрмитовой положительности.

Неравенство (2) позволяет вывести основное матричное неравенство для этой задачи и доказать существование продолжения,

Пусть $f_l(x)$ —эрмитово положительная функция, заданная на [-l, l], непрерывная в точке x=0, а f(x)—ее продолжение на($-\infty$ < $<\infty$). По теореме Бохнера

$$f(x) = \int e^{ixt} dz(t).$$

и каждому продолжению отвечает своя монотонная функция э(t)(см., напр. (¹).) Функции э(t) ставится в соответствие неванлинновская функция

$$w(z) = \int \frac{d\sigma(t)}{t-z}.$$

Теорема: Для того, чтобы эрмитово положительная функции f(x) была продолжением эрмитово положительной функции $f_l(x)$, необходимо и достаточно, чтобы соответствующая функция z(z) удовлетворяла основному матричному неравенству

$$\int_{0}^{1} \int_{0}^{1} f(x-s)z(x) \overline{z(s)} dxds \qquad \int_{0}^{1} [iw^{z}(z)e^{izx} - \int_{0}^{\pi} f(x-s)e^{izs}ds]\varphi(x)dx$$

$$= \frac{w(z) - w^{z}(z)}{z - z}$$

где Ф(х) произвольная функция.

Вывод основного матричного неравенства проводится следующим образом: сегмент [0,l] делится на n равных частей; значения $f_l(x)$ в точках деления объявляются коэффициентами ряда Тейлора задачи Каратеодори. Записывается основное матричное неравенство задачи Каратеодори. Целесообразный переход к пределу при $n \sim$ приводит нас к неравенству (12). Существование же решения неравенств Каратеодори и принцип компактности обеспечивает наличие решения неравенства (12), а значит и существование продолжения эрмитово положительной функции f(x).

Одесский технологический институт холодильной промышленности

ւ վ. Կոզևուշինև

ր-անում զատերձա-ֆուրինիանբեն դատանբամաեի խըմեսում

է մատրիցային դրվածքով Կարաթևոդորիի խնդիրը։

Խնդիրը բերվում է Կարաթնոգորիի C դասի ֆունկցիաների Համար գրված ստացվող փմնական մատրիցային անհավասարության լուծմանը։ Ար անհավասարության ընդհանուր լուծումը ներկայացվում է C դասի կամայական (,) մատրիցա-ֆունկցիայից կոտորակա-դծային

$$F(1) = [a(1)f(1) + b(1)][c(1)f(1) + d(1)]^{-1}$$

ձևափոխության տեսբով, որի գործակիցների

$$B(\zeta) = \begin{pmatrix} a(\zeta) & b(\zeta) \\ c(\zeta) & d(\zeta) \end{pmatrix}$$

մատրիցան շանդիսանում է րազմապատիկ արտադրիչ, այսինքն՝ ∫ -ձդող միավոր շրջանում, /-ունիտար նրանզրի վրան :-∞ կետում Ո | կարդի մատրիցան շանդիսանում է րազմապատիկ արտադրիչ, այսինքն՝ ∫ -ձդող

Միաժամանակ ապացուցվում է Կարաթեոդորիի իմեդրի աղեկվատությունը լրիվ ռանդի երկանդամ արտադրիչների

$$\prod_{j=1}^{n+1} [J+(1-1)Q_{j}], \ Q_{j}^{2} = -Q_{j}, \ Q_{j} J > 0$$

վերջավոր արտադրյալի տրմանը։ Դրանով իսկ C դասի ամեն մի Բ (Հ) մատրիցա-ֆունկցիային համապատասխանում է երկանդամ արտագրիչների

անվերը արտադրյալ և հակառակը։

իտացված արդյունքները, կիրառված սկալյար դեպքի Համար, րհրում հե շրջան<mark>ադծի վրա օր</mark>քուրուլ Հայանի բազմանդամների միջոցով Հիմնական

Ապացուցվում է, որ ձախ սահմանային շառավիղը միշտ հավասար է զնրոյի, իսկ աջի ոանգր կարող է ընդուննլ ցանկացած Թուլյատրելի արժեջ. նհրւ էրմիտյան դրական ֆունկցիաների ստրուկտուրայի և շարունակման խնդրի համար ստացված է հիմնական մատրիցային անհավասարությունը և ապացուցված է շարունակման դոլությունը։

ЛИТЕРАТУРА — ЭРЦЧЦЫПЬРЗПЬЪ

¹ И. В. Коналишина, В. П. Потапов, ДАН АрмССР, т. LIX, № 1 (1974). ² И. В. Коналишина, «Павестия АН Арм ССР», т. VI, № 1 (1971). ¹ И. И. Ахиезер, Классическая проблема мочентов, стр. 220—237, ГНФМЛ, М., 1961. ¹ S. Bochner, Voilesung über Fouriesche Integrale (Leipzig, 1932).

LIX 1974

-3

(4)

УДК 513838

МАТЕМАТИКА

А. В. Чакмазян

О геодезических три-тканях на двумерном многообразии аффинной связности

(Представлено академиком АН Армянской ССР А. Л. Шагиняном 25/IV 1974)

1. Пусть в аналитическом многообразии X_2 задана три-ткань, т. е. семейства гладких линий при условии, что через каждую точку проходит, не асаясь друг-друга по одной линии из каждого семейства и две линии различных семейств имеют не более одной общей точки. Три- ткань на X_2 определяется уравнениями

$$a^* = 0, \quad a = 0, 1, 2,$$
 (1)

гле - форма Пфаффа, удовлетворяющая условию

$$z^0 + z^1 + z^2 = 0 (2)$$

Следуя В. Бляшке (1), полагаем

$$ds^{\circ} = h^{\circ} \Omega, \tag{3}$$

$$\Omega = a_0 \vee a_1 = a_1 \vee a_2 = a_2 \vee a_2$$

поверхностный элемент ткани. Образуем форму связности

$$\gamma = h^1 z^0 - h^0 z^1 = h^0 z^2 - h^2 z^0 = h^1 z^2 - h^2 z^1$$

Легко видеть, что

$$ds^{\circ} = \gamma \wedge s^{\circ}. \tag{5}$$

Продолжая последние уревнения получим

$$d\gamma = K\Omega, \tag{6}$$

где K-кривизна ткани (1).

2. Пусть задано двумерное пространство аффинной связности A_2 без кручения. Структурные уравнения такого пространства как известно (2) имеют вид

$$d\omega^{l} = \omega^{i} \wedge \omega^{i}, \qquad (7)$$

$$d\omega^{l} = \omega^{k} \wedge \omega^{l} = R^{l}_{kl} \omega^{k} \wedge \omega^{l},$$

где об — линейно независимые формы Пфаффа, а $R_{\mu\nu}^{\mu}$ тензор кривизны этой связности. Сравнивая соотношения (3) и (6) и полагая $\omega^1 = \sigma^0 - \omega^2 = \sigma^1$ мы видим, что форма

$$\omega' = -\omega' \tau \tag{8}$$

определяет на ткани аффинную связность без кручения. Эту связность назовем присоединенной аффинной связностью ткани. Подставляя эти значения форм об в (7), используя уравнения (4) и учитывая, что

$$\Omega = \omega^1 / (\omega^2 = \frac{1}{2} \epsilon_{II} \omega^I / \omega^I),$$

гле $= (-\frac{0}{10})$ —основной бивектор многообразия X_2 (3), получаем

$$R_{jkl}^{l} = \frac{1}{2} K \varepsilon_{kl} \delta_{j}^{l}. \tag{9}$$

Это соотношение связывает тензор кривизны присоединенной аффинной связности, определяемой тканью с кривизной этой ткани

Няйдем тензор Риччи присоединенной связности

$$R_{ij} = \frac{1}{2} K \varepsilon_{ij}. \tag{10}$$

Последнее соотношение показывает, что тензор Риччи присоединенной аффинной связности кососимметричен т. е. эта связность будет квазиэвклидовой (3).

Мы приходим к теореме

Теорема 1. Форма связности у три-ткани определяет на иногообразии X_2 квазизвклидовую аффинную связность бы кручения. Заметим, что если три-ткань на X_2 является шестнугольной, т. е. K=0, то $R_{11}=0$ и разхитразазмат аффанта связность будет эвклидовой.

Легко видеть, что линии всех трех семейств рассматриваемой гкани будут геодезическими линиями присоединен ой аффинной связности.

Поставим следующую задачу: при каком условии линии три-ткани (1) будут геодезическими линиями произвольной двумерной афинной связности без кручения, определяемой на многообразии X_{\bullet} структурными уравнениями (7).

Для форм э², определяющих три-ткань на многообразии Л₂ имеем

 $\Omega = \iota \omega^1 \wedge \omega^*$

$$z = \lambda_{T}^{*} \omega^{I} \tag{11}$$

113 (2) следует, что
$$\lambda^0 + \frac{11}{i} - \lambda^2_i = 0. \tag{12}$$

Используя (4) и (12) находим

где

$$\lambda = \begin{bmatrix} \lambda_1^0 & \lambda_1^1 \\ \lambda_1^0 & \lambda_1^1 \end{bmatrix} = \begin{bmatrix} \lambda_1^1 & \lambda_1^2 \\ \lambda_2^1 & \lambda_2^1 \end{bmatrix} = \begin{bmatrix} \lambda_1^2 & \lambda_1^2 \\ \lambda_2^2 & \lambda_2^2 \end{bmatrix} = 0. \tag{13}$$

137

Внешнее дифференцирование уравнения (11) с использованием (6) дает

$$d \, \sigma^a = (d \, \kappa^a - \lambda^a \, \omega^f) / \omega^f, \tag{14}$$

С другой стороны

$$d\sigma^{\circ} = \gamma \wedge \sigma^{\circ} = \iota^{\circ} \gamma \wedge \omega^{i}. \tag{15}$$

H3 (14) и (15) следует, что

$$(d\lambda_i^a - \lambda^a \omega_i^i - \lambda^a \gamma) / \omega^i = 0 \tag{16}$$

Откуда по лемме Э. Картана получим

$$d \lambda_i^a - \lambda_i^a \omega_i^i - \lambda_i^a \gamma = \lambda_i^a \omega^i \tag{17}$$

При этом

$$\lambda_{ij}^{a} = \lambda_{ji}^{a}, \quad \lambda_{ij}^{0} + \lambda_{ij}^{1} + \lambda_{ij}^{2} = 0. \tag{18}$$

Продолжая уравнения (17) и учитывая (7) находим

$$(-i_{ij}^* - i_{ij}^* \gamma) \wedge \omega^i + (i_i^* R_{ijk}^i + \frac{1}{2} i_i K i_i^* \varepsilon_{jk}) \omega^i \wedge \omega^k = 0, \tag{19}$$

где как обычно,

$$T_{ij}^* = d I_{ij} - I_{ik} \omega_j^k - I_{ki}^* \omega_i^k.$$

Найдем условие, при котором даниая ткань будет геодезической. Уравнение геодезической линии, как известно (2), имеет вид

$$d\,\omega^l + \omega^{\prime} \,\omega^\prime = \Theta\,\omega^\ell,\tag{20}$$

где d—символ обычного, а не внешнего ди рф:ренцирования. Если ливни ткани определяемые уравнениями

$$s^a = \lambda^a \omega^i = 0 \tag{21}$$

являются геодезическими линиями, то для них выполняется условие,

$$i_{ij}^{*}\omega^{i}\omega^{j}=0,$$

которое получается при дифференцирозании уравнений (21) в силу (20) и (17).

На линни, определяемой уравнением (21)

$$w^l = l'_s z$$
,

гле $\ell_1 = \epsilon^{II} \ell_1^*$ и то некоторая форма. Пфаффа. Поэтому если линия ткани определяется уравнением (21), является геодезической на много-образии A_{\bullet} , то

$$\lambda_{ij}^{\mu}\lambda_{i}^{\mu}\lambda_{i}^{\mu}=0, \tag{22}$$

гле по 2 суммирования нет.

Легко доказать и достаточность этого условия для геодезичности линии, определяемой уравнением (21). Дейстнительно, дифференцируя (21) и используя (17) и (22) получаем

$$\lambda_i^{\gamma}(d\omega^l + \omega^l)\omega_i^{\gamma} - \gamma\omega^l) = 0$$
,

откуда следует, что на линии (21) выполняются (20) т. е. она являет-ся геодезической. Получили следующую теорему.

Теорема 2. Для того чтобы три-ткань была геодезической на многообразии A_2 необходимо и достаточно, чтобы для всех линий три-ткани выполнялось уравнение (22).

Исследуем теперь, какой вид имеют тензоры /; для геодезических тканей. Уравнение (22) показывает, что вектор / являєтся корнем уравнення

$$u_{ij}^{\bullet}x^{i}x^{j}=0.$$

Поэтому

$$\kappa^{\bullet}_{ij}x^l\,x^j=(p_i^{\bullet}\,x^l)(\kappa^{\bullet}\,x^j).$$

Отсюда следует, что

$$r_{ij} = \rho_{(i}^* k_{j)}^*, \tag{23}$$

где p_i^* —пекоторый ковариантный вектор. Так как тензоры r_{ij} удовлет. воряют соотношениям $r_{ij} = 0$, то векторы p^* должны быть связаны условиями

$$p_{(l}^{0}\lambda_{l)}^{0} - p_{(l}^{1}\lambda_{l)}^{1} - p_{(l}^{2}\lambda_{l)}^{2} = 0.$$

Внося сюда $\eta = -\eta - \lambda_{j}^{2}$, получеем

$$q_{ij}^{1}\lambda_{ij}^{1} + q_{ij}^{2}\lambda_{ji}^{2} = 0. (24)$$

где обозначены $q_i^1 = p_i^1 - p_i^0$, $q_i^2 = p_i^0 - p_i^0$.

Система (24) содержит три однородных уразнения для определения четырех неизвестных величины q_i^+, q_i^- . Решая эту систему получаем

$$q_i^1 = \bar{i}_i^2 q_i$$
, $q_i^2 = -i[q_i]$

где у параметр.

Полагая $p_i^0 = p_i$, ваходим

$$p_1^1 = p_1 + i^2q$$
, $p_1^2 = p_1 - i^2q$

Внося эти выражения для координат векторов р в соотношения (23) находим, что

$$\begin{aligned} \lambda_{ij}^{0} &= p_{ij} \lambda_{jj}^{0}, \\ \lambda_{ij}^{1} &= p_{ij} \lambda_{ji}^{1} + 2q \lambda_{ij}^{1} \lambda_{ji}^{2}, \\ \lambda_{ij}^{2} &= p_{ij} \lambda_{jj}^{2} - 2q \lambda_{ij}^{1} \lambda_{ji}^{2}, \end{aligned}$$

Последние формулы дают наиболее общие выражения для тензоров / геодезической три ткани. Выражаю искреннюю благаларность М. А Акивису за постановку задвчи и полез ые замечания.

Ереванский государственный педагогический институт им. X. Абовяна

u. 4. Quevuzsur

Դեսդեզիական եռ-նյուս<mark>վածքը եrկչափ ափ</mark>ինական կապակցությամբ բազմաձեությունում

Այս աշխատանքում դիտարկվում է եռ- ուս ածքն անալիտիկ բասմաձևությունում Xxx Ապացուցվում է, որ բնական աֆինական կապակցությունը, որը ինդուկցվում է այդ հյուսվածքին, կրև թվազիէվերիդյան կապակցուսանը, որի դնպքում ուսա եռ-հյուսվածքը կլինի դեռական եռ հուսական ը դանկացած աֆինական կապակցության ծ-ուսական է ուսական ը

ЛИТЕРАТУРА — ЧРИЧИЪПЕРВИЕЪ

¹ В. Бляшке, Введение в геометрию тканей, Физматгиз, М., 1959, ² Э. Картан, Пространства аффинной проективной конформной связности. Изд. КГУ, Казань, 1962. ² А. П. Норден, Пространства аффинной связности, М., 1960.

1974

3

УДК 5137

MATEMATHKA

В. А. Нерсисян

Интегральная гаометрия на многообразчи гиперплоскостай

(Представлено вкадемиком АП Армянской ССР А Л Шагиняном 5/V 1974)

- 1. В этой работе дается новый метод решения задачи о восстановления функции по ее интегралам на четномерных гиперплоскостях, которая рассматривалась И. М. Гельфандом, М. И. Граевым, З. Я. Шапиро (обобщение задачи Радона). Здесь в более полной мере, чем это делалось раньше, используется дифференциальное исчисление Картана. За счет этого, решение задачи сведено к непосредственному применению двух основных теорем интегрального исчисления: теоремы Стокса и теоремы о дифференцировании интеграла по параметру.
- 2. Пусть B и C два бесконечно дифференцируемых многообразия. Предположим, что между некоторыми парами точек $b \in B$ и $c \in C$ введено отношение инцидентности (¹). Пусть $A \subset B$ C подмножество пар $(b, c) \in B$ C связанных отношением инцидентности. По аксиомам, сформулированным в (¹) A является бесконечно дифференцируемым многообразием в B C, а проекции $\pi_1: A \to B$ и $\pi_1: A \to C$ являются бесконечно дифференцируемыми расслоениями многообразия A. Расслоение многообразия A

называется каноническим двойным расслоением, связанным с данным отношением инцидентности.

Пусть $\Omega(A)$, $\Omega(B)$, $\Omega(C)$ —пространства дифференциальных форм соответственно на многообразиях A, B, C. В силу (1) имеем

Построим оператор переводящий формы из $\Omega(B)$ в формы или функции из $\Omega(C)$. Пусть $\omega \in \Omega_p(B)$. Рассмотрим на $\Omega(A)$ форму — и

определим операцию интегрирования этой формы по слоям τ расслоения $\tau_2:A\rightarrow C$.

Обозначим этот интеграл по $w_1 = \int w$. Пусть размерность слоя равна k.

Если p = k, то $\psi_1 \in \mathcal{Q}_{p-k}(C)$.

Мы построили отображение $\Box_p(B)-\Box_{p-k}(C)$, которое и будет иско-

мым оператором.

И. М. Гельфанд и др. (1) сформулировали задачу интегральной геометрии, как вопрос изучения ядра, коядра и формулы обращения для этого оператора.

у нас $B = R^n - n$ -мерное пространство. $C = H_{n-1,n} -$ пространство всех ориентированных гиперплоскостей в R^n . Точка $Q \in R^n$ и плоскость $h \subset R^n$ считаются инцидентными, если $Q \in h$. Многообразие $A = M_{n-1,n}^n = \{(Q,h)\}$, где a = dim A.

Для расслоения $M_{n-1,n}^2 = R^n$ слоем является пучок гиперилоскостей h, проходящий через факсированную точку (E, E, E, E) Для второго расслоения $M_{n-1,n}^2 = R^n$ слоем является $r_n = R^n$

Пусть в R^n задана функция f. В силу (1) f будет функцией и на $M_{n-1,n}$. Интегрируя f по гиперилоскостям мы получим функцию $\varphi(h)$ на $H_{n-1,n}$ (предполагается, что этот интеграл существует). Надо восствиовить f по $\varphi(h)$

Решение этой задачи впервые получено Радоном (2). В работе (3) вопрос полностью решен для гиперплоскостей с помощью обобщенных функции (как для n=2p, так и для n=2p-1).

У нас будет иной подход. Мы будем пользоваться методом подвижного репера. За счет этого вкладки упростились, а их геометрический смысл стал совершенно прозрачным.

3. Пусть S класс бесконечно дифференцируемых функции быстро убывающих вместе с производными до порядка n-1 включительно.

К каждой точке пространства прасоединим семейство ортонормирован ных реперов. Уравнения инфинитезимального перемещения репера будут

$$dM = \omega e \tag{2}$$

$$de_1 = \omega_1^* e_{k-1} + \dots$$
 (3)

Условие ортонормированности репера означаст, что

$$w^k + w^l = 0 \tag{4}$$

Формы ш и ш удовлетворяют уравнениям

$$d\omega^i = \omega^k / \omega^i_k, \tag{5}$$

$$d\omega_{\nu}^{l} = -\omega_{l}^{l} \wedge \omega_{\nu}^{l} \tag{6}$$

Пусть $f \in S$ функция на R^n . Продифференцируя ее внешним образом, мы получаем

$$df = f_{\ell} w^{\ell} \tag{7}$$

Если продифференцировать (7) внешним образом и пользоваться леммой Картана, получаем

$$df_1 = f_k \omega_i^k + f_{lk} \omega^k \quad f_{ik} = f_{kl} \tag{8}$$

По индукции доказывается, что

$$df_{t_1...t_n} = f_{t_1...t_{n-1}} w_{t_n}^t + ... + f_{t_{2...t_n}} w_{t_1}^t + f_{t_1...t_n}^t w^t$$
 (9)

4. Рассмотрим случай n=3. К каждому плоскому элементу (Q,h) многообразиям M_{33}^{\ast} присоединим ортонормированные реперы $[e_l]$ l=1,2,3 так, чтобы e_1 , e_2 лежали на плоскости h, а e_3 был бы перпендикулярен плоскости. Главными формами на многообразии $M_{3,1}^{\ast}$ будут ω^1 , ω^2 , ω^3 , ω^4 , ω^3 , ω^4 , ω^3 , ω^4

 $y = t^{22}\omega_1 \vee \omega_3 \vee \omega_3 \vee \omega_3$

не замкнутая форма на многообразии Мал. Действительно

$$d = f_{333} v^1 / w^2 / w^3 / w_1 = w_2$$

Пусть $M \in h$. Направим базисный вектор $\vec{e_i}$ по MQ.

Тогда

$$Q = M - ie_1$$

$$dQ = dM + die_1 \qquad z = 2, 3$$

Если фиксировать точку Q, то получим

$$\omega^{1} + di = 0, \quad \omega^{2} + i\omega^{2} = 0, \quad \omega^{3} + i\omega^{3} = 0$$
 (A)

Уравненнями (A) выделяется некоторое подмногообразие $C_1(Q)$ главными формами на котором являются ω^1 , ω^2 , ω^3 . На $C_4(Q)$ форма 0 уже замкнутая.

Теорема 1'. Пусть $0 = 0|_{C_{\alpha}(Q)}$ Тогда $(0) = c' \cdot f(Q)$, где c' - не-которая постоянная,

Доказательство: Форма \emptyset точная на части подмногообразия $C_{\mathfrak{t}}(Q)$, где $\lambda \neq 0$ (вне точки Q). Действительно

$$0 = -d \left(\frac{f_3}{\lambda} \omega^1 \wedge \omega^2 \wedge \omega_2^3 - \frac{f_3}{\lambda} \omega^2 \wedge \omega_1^3 \wedge \omega_2^3 \right)$$

Проинтегрируем форму в не по всему $C_4(Q)$, а по части $C_4(Q)$ вырезвиной трехмерной сферой раднуса $\ell=\ell_0$ с центром в точке Q. Множество илоских элементов с центром на сфере есть некоторое подмногообразие в $C_4(Q)$ и оно является границей $C_4(Q)$

Если пользоваться теоремой Стокса и тем, что на $\partial C_4(Q)$ $\mathbf{w}^1 = 0$ получим

$$\int d = \lim_{Q \to Q} \int d Q \wedge \omega^3 \wedge \omega^3$$

$$(10)$$

Известно, что форма $\omega_1^* \wedge \omega_1^*$ задвет злемент площади поверхности единичной трехмерной сферы, а форма ω_2^3 характеризует вращение ренера e_3 , e_4 вокруг нормали e_3 к сфере. Интегрируя в (10) повторно и пользуясь теоремой о среднем значении получаем

$$\begin{cases} 0 = 2\pi + \lim_{t \to 0} |f(Q) + \hat{f}| \omega^2 / \omega^2 = 8\pi^2 f(Q) = c' f(Q), \\ \frac{\partial C^{q}(Q)}{\partial C^{q}(Q)} \end{cases}$$

где I = 0 при $I_0 = 0$. Одновременно мы вычислили значение для постоянной C.

5. Отдельно был рассмотрен случай и 5. Они позволили нам перейти к рассмотрению общего случая.

Пусть в R^n заданны гиперилоскости h. Предполагается, что n-1=2p. Рассмотрим многообразие M_{n-1}^{2n-1} , элементов $\{(Q,h)\}$ и с каждым таким плоским элементом присоединим ортонормированные реперы так, чтобы e_N $N=1,\ldots,n-1$ лежали на гиперилоскости h, а вектор e_n направим по нормали к гиперплоскости. Главными формами на $M_{n-1,n}^{2n-1}$ являются

$$\omega^i$$
 , ω^i_N $i=1,\ldots,n$

Пусть $f \in S$ функция на \mathbb{R}^n . Она удовлетворяет дифференциальным уравнениям (9). Рассмотрим форму

$$\Box = f_n^{(n-1)} \omega^1 \wedge \ldots \wedge \omega^{n-1} \wedge \omega_1^n \wedge \ldots \wedge \omega_{n-1}^n$$

где $f_n^{(n-1)} = (n-1)$ -я производная функции f по направлению e_n — не замкнутая форма на $M_{n-1,n}^{2n-1}$. Пусть $M \in h$. Вектор e_1 направим

по MQ. Тогда $Q=M-ie_1$. Если дифференцировать это соотношение, применять уравнения (2)-(4), то при фиксировании точки Q получим

$$\omega^{1} + d = 0, \quad \omega^{2} + i \cdot \omega^{4} = 0 \quad a = 2, \dots, n$$
 (6)

Уравненнями (Б) выделяется некоторое подмногообразие $C_{2n-2}(Q)$. на котором главными формами являются ω^{l} , ω^{n} , . . . , ω^{n}

Теорема 1. Пусть $\Omega = \Omega|_{C_{2n-2}(Q)}$. Тогда $\{\Omega - c \cdot f(Q)\}$. где $c - \mu$ еко-торая постоянная.

Доказательство. 2 — Форма точная на части подмногообразия $C_{2n-2}(Q)$, где $\ell=0$ (вне точки Q).

В этом легко убедиться продирференцировав форму

$$= \left| \frac{(-1)^{\frac{n(n+2)}{4}}}{(n-2)!} \right|^{\frac{n(n-2)}{4}} \omega_2^n \wedge \dots \wedge \omega_{n-1} \wedge \dots \wedge \omega_{n-1} + \dots$$

$$+\frac{(1)^{\frac{n(n+1)}{n}}}{(n-3)!}\cdot\frac{\int_{n}^{(n-3)}}{(n-3)!}\cdots\wedge\dots\wedge\omega_{n-1}^{n}$$

Оказывается, что $\hat{\Omega} = (-1)^{\frac{n(n-1)}{2}} \cdot (n-2)! d\Omega_1$

Мы будем интегрировать форму Q не по всему $C_{2n-2}(Q)$, а по части $C_{2n-2}(Q)$, вырезанной n-мерной сферой, с центром в точке Q и радиусом $r=r_0$. Многообразие плоских элементов с центром на сфере (вектор e_1 нормален к сфере) является границей $\partial C_{n-1}(Q)$. На этой границе $\phi^1=0$, а при $r_0\to 0$ в нуль обращаются формы, в числителе у которых стоит r_0 в некоторой степени. Применяя теорему Стокса мы получим

$$\int_{Q}^{\infty} = (-1)^{\frac{n(n-1)}{2}} \cdot (n-2)! \lim_{r_0 \to 0} \int_{Q}^{\infty} (f(Q) + f) \omega_2^n \wedge \dots \wedge \omega^n.$$

$$C_{2n-2}(Q)$$

где f=0 при $\ell_0=0$. Форма $w_1 \wedge \ldots \wedge w_n^n$ задает элемент площали поверхности единичной n-мерной сферы, а форма $w_1 \wedge \ldots \wedge w_{n-1}^n$ определяет элемент площади поверхности единичной (n-1)-мерной сферы. Однако для четной размерности $n-1=2p|S_{n-1}=\frac{2^{-p}}{p-1}$

При нечетных
$$n S_n = \frac{2 \cdot (2\pi)^{\frac{n-1}{2}} \cdot \frac{n-1}{2^{\frac{2}{2}}} \cdot \binom{n-1}{2}}{(n-1)!}$$

Если интегрировать повторно, применять теорему о среднем значении, подставить выражения S_n и S_{n-1} , то при $\ell_0 \to 0$ получим

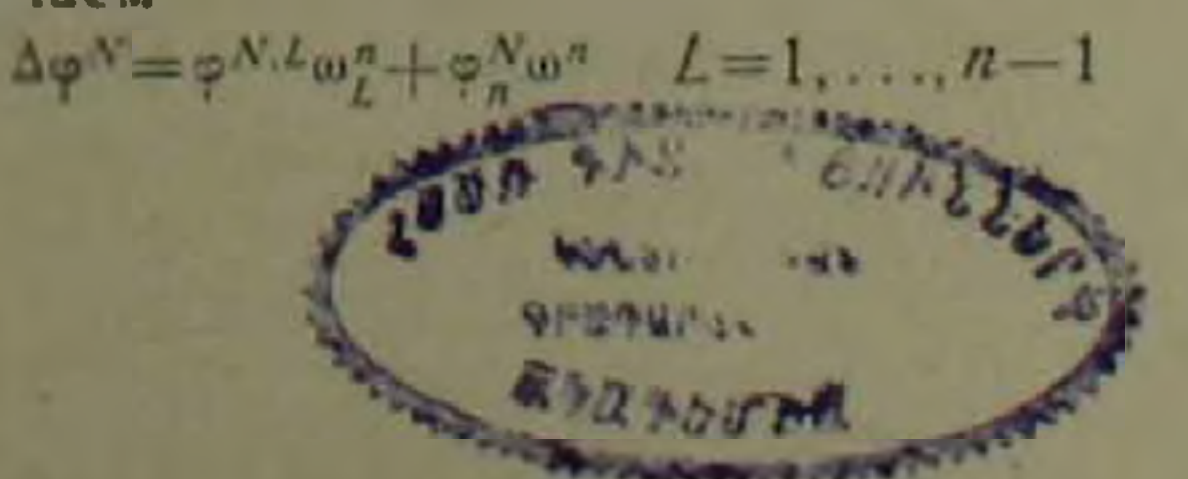
$$\int_{2\pi-2}^{\infty} (Q)^{n-1} \cdot 2 \cdot (2\pi)^{n-1} \cdot f(Q) = cf(Q).$$

Одновременно мы вычислили значение постоянной с. Теоремя доказана.

6. После интегрирования функции f по слоям расслоения M_{n-1}^* — H_{n-1}^* мы получим функцию $\varphi(h)$ на многообразни плоскостей. Надо было по этим функциям восстановить функцию f. Мы сейчас покажем, что эта задача сводится к применению теоремы 1. На H_{n-1}^* плавными формами будут w^n . Пусть φ функция на H_{n-1}^* . Тогда

$$d\mathbf{x} = \mathbf{y}^N \mathbf{w}^n + \cdots$$

Дифференцируя внешним образом это соотношение и применяя лемму Картана, получаем



$$\Delta \varphi_n = (d\varphi_n) = \varphi^N \omega^n + \varphi_{nn} \omega^n. \tag{11}$$

Из последнего уравнения (11) видно, что ра тоже функция на многообразии плоскостей. Если дифференцировать (11) внешним образом, применять лемму Картана, получим

$$d\tau_{nn} = \tau_{nn} \omega_{n} - \tau_{nnn} \omega_{n},$$

отку да следует, что π_n — тоже некоторая функция на многообразии $N_{n-1,n}$ и т. д. Тем самым мы строили дифференциальные операторы $\Delta^{(N)}:=-\pi_n^{(N)}$, которые каждой функции на $N_{n-1,n}$ ставят в соответствии опять функцию на многообразии $N_{n-1,n}$.

7. Примем выше сказанное для изшей задачи. Прежде всего укажем одну теорему, которая доказана A. M. Расильевым. Пусть p:E-M некоторое расслоение. На этом расслоении имеются векторные поля специального типа, а именно: векторные поля согласованные с расслоением. Если векторы слоев отображаются на один и тот же вектор T(M), то мы получим из M векторное поле. Можно определить производную Aи по векторному полю, согласованному с расслоением.

Теорема 2. Пусть 7 некотория форма на Е, Пусть Z-гладкое семейство цепей на Е. Тогда

$$X = \int_{Z} L_{X} \chi - \int_{\partial Z} \langle \chi \perp | X_{V} \rangle$$
.

гое X—векторное поле согласованное с расслоением E—M, X—соответствующее векторное поле на базе M, $I=\sqrt{2}$ это некоторля
функция на базе M/, $L-\chi$ —производная ЛИ формы χ по X, X_V —вертакальная компонента X. Разложение $X=X_V+X_h$ имеет место
на границах наших цепей, X_h —касательный κ семейству границ
Замечание. Если Z—цикл, то ∂Z =0 и тогдя

$$XI = \int_{Z} L_{X}^{-} \chi$$
.

8. Вернемся к нашей задаче. В качестве векторного поля в расслоении берем поле вектора нормали к гиперплоскостям. На базе $H_{n-1,n}$ тоже получим векторное поле, а именно: векторное поле векторов нормали. Так что имеем согласованное векторное поле и дифференцирование по такому полю—производное по нормали. Применяя к $\varphi(h)$ оператор $\Delta^{(n-1)}$ получим

$$\varphi_n^{(n-1)}(h) = \iint_n^{(n-1)} \omega^1 \wedge \ldots \wedge \omega^{n-1}.$$

Если интегрировать функцию \mathbb{Z}_{+}^{-} по множеству ориентированных гиперплоскостей, проходящих через точку Q, то получим уже нам известный интеграл от формы \mathbb{Q}_{+}^{-}

$$C_{2n-2(Q)}^{\int_{Q} Q_1}$$

т. е. дело сводится к применению теоремы 1.

Итак доказана следующая теорема

Основная теорема Пусть $f \in S$ на R^n и пусть $\gamma = \int f$ функция на Н_{п 1 п}. Тогда при четном п 1 имеет место следующая формула обращения

 $\int \Delta \varphi = (-1)^{\frac{n-1}{2}} \cdot 2 \quad (2\pi)^{n-1} f(Q),$

где у — произвольный цикл в слое расслоенного пространства над точкой $Q \in \mathbb{R}^n$.

Автор выражает искрениюю признательность А. М. Васильеву за внимание к работе и полезные советы.

Ереванский государственный университет

Վ. Ա. ՆԵՐՍԻՍՅԱՆ

Ինտեզույ երկրաչափությունը ճիպերճարթությունների բազմաձևության վբա

Աշխատարան արված է դալդ չափի հիպերհարթություններով ֆունկցիայի ինտեղրայի ժիջոցով ֆունկցիայի վերականգման իւնդրի նոր ապացույցը. որը գիտարկված է Ի. Մ. Գելֆանդի, Մ. Ի. Դրահի և Ձ. Ց, Շապիրոլի կողմից (Ռադոնի իւնդրի ընդհանրացումը)։ Թող Տ-ը R1-ում անվերջ դիֆերենցելի ֆունկցիաների դասն է, որոնք արագ նվաղում ևն մինչև իրենց (n-1)-րդ կարգի ամանցլալների հետ ներառյալ։ Հիպերհարթյությունների հետ կցվում են $|e_i|$ $i=1,\dots,n$ օրերուսումավորված ռևպերների ընտանիք այնպես, որ e1 en-1 - h, իսկ en-ը ուղղենք հիպերհարխության նորմալով։ Նշանակենք $M^*_{n-1,n} = \{(Q,h)/Q \in h \subseteq R^n\}$ հարթ էլեմենտների բազմաձևությունը. Hn - In - p pagar կողմնորոչված հիպևրհարկությունների բազմաձևությունն է։ եթև ինաևդրենը ժեր ֆանկցիան M_{1-1,n} - H_{n-1,n} շհրտավորված տարածու- Θ յան շերտերով, կատանանք $\varphi(h) = \iint - \varphi_m$ նկցիա որոշված $H_{n-1,n}$ -ի վրա։ Անչիուգրուն ուսել և արձանում վերակարերը և -և։ Նախանան ապացուցվում

է, որ եթե ինտեցրենը

$$\Omega = f_n^{(n-1)} \omega^1 \wedge \ldots \wedge \omega^{n-1} \wedge \omega_1^n \wedge \ldots \wedge \omega_{n-1}^n$$

ֆորմը Cm 2(Q) ըաղմաձևությամբ, որը առանձնացվում է $\omega^{1} + d\iota = 0, \ \omega^{a} + \iota \omega_{1} = 0 \ \alpha = 2, \ldots, n$

Տավասարումներով, կստանանք Q=cf(Q), որտեղ c=(-1) \cdot $2(2\pi)^{r-1}$

անությանութ լումումը բերվում է ալդ արդլունքի կիրառմանը։

2/1 வியடியு பெரு ம்வி. - சார f (S \$melyghow & R" - med & pang 5 If Im Elypon & Hala and i lift n - 1 quily to myw

$$\int \Delta p = (-1)^{\frac{n-1}{2}} \cdot 2 \cdot (2\pi)^{n-1} f(Q),$$

որտեղ գ - հւ Q E Rn կետի վրա շերտավորված տարածության շերտում կամալական ցիկլ է։

ЛИТЕРАТУРА — ЧРЦЧЦЪПЪРВИЪЪ

I Н М Гельфинд, М И Гриев, 3 Я Шипиро, Функц. внализ 3, Вып 2, 24—40, 1969г. 2 J. Radon, Her. Verh. Sachs Acad., 262 - 277 69(1917). 3 11 М. Гельфинд, М. И Гриев. И, Я. Виленкин. "Интегральная сеометрия и связанные с ней вопросы теорин представлений: (Обобщенные функции вып. 5.) Физматгиз М., 1962.

14X 1974

УДК 536201

ПРИКЛАДНАЯ МАТЕМАТИКА

Р. С. Минасян

Температурное поле движущегося призматического тела с прямоугольным поперечным сечением

(Представлено вкадемиком АН Армянской ССР М. М. Джрбашяном 13/V1 1974)

Различными авторами (1-5) решено множество задач распределения температуры в сплошном и полом цилиндрах с движущимися источниками тепла, а также в стержие, движущемся по направлению своей оси. Задача определения температурного поля, создаваемого в неограниченной пластинке движущимся точечным или распределенным источником тепла, рассмотрена в ряде исследований (8-9), посвященных изучению тепловых процессов при сварке. В (10) решена задача определения температуры во вращающемся пилиндре при наличии теплообмена с двумя окружающими средами, в (11)—задача распространения тепла в цилиндре, вращающемся в неподвижном полом пилиндре.

В настоящей работе рассматривается плоское нестационарное течение тепла в призматическом теле, имеющем прямоугольное поперечное сечение, движущемся с постоянной скоростью, компоненты которой равны v_x , v_y . Дифференциальное уравнение теплопроводности при наличии внутренних источников тепла, согласно (5), имеет вид

$$\frac{DU}{Dt} - a \left(\frac{\partial^2 U}{\partial x^2} + \frac{\partial^2 U}{\partial y^2} \right) = \frac{w(x, y, t)}{c\phi}, \tag{1}$$

гле $\frac{D}{Dt} = \frac{\sigma}{\sigma t} + v_A \frac{\sigma}{\sigma x} + v_y \frac{\partial}{\partial y}$ — так называемая субстанциональная, или

полная, производная (5); a=- коэффициент температуропровод-

ности, $\ell = \kappa \sigma$ эффициент теплопроводности, $\epsilon = \tau$ теплоемкость, $\rho = \eta \sigma$ плотность.

Рассмотрям случай, когда интенсивность внутренних источников тепли линейно зависит от температуры тела. Тогда функция распределения температуры удовлетворяет уравнению

$$\frac{\partial U}{\partial t} + x_1 \frac{\partial U}{\partial x} + x_2 \frac{\partial U}{\partial y} - a \left(\frac{\partial^2 U}{\partial x^2} + \frac{\partial^2 U}{\partial y^2} \right) = \omega U + \frac{1}{\mu \nu} w(x, y, t), \quad (2)$$

где $a_1 = a_2 = a_3$ Принимаем, что $\omega < 0$. Предположим, что на границе области происходит теплообмен с окружающей средой. Начальное условие и условия на границе будут

$$U(x, y, o) = L(x, y); \quad -\frac{\partial U}{\partial x}\Big|_{x=0} = h_0 \{T_0(y, t) - U(o, y, t)\};$$

$$\frac{\partial U}{\partial x}\Big|_{x=0} - h_1 \{T_1(y, t) - U(b, y, t)\}; \quad -\frac{\partial U}{\partial y}\Big|_{y=0} = h_2 [S_0(x, t) - U(x, o, t)]; \quad (3)$$

$$\frac{\partial U}{\partial y}\Big|_{y=0} = h_1 [S_1(x, t) - U(x, d, t)].$$

Для нахождения решения применям преобразование Лапласа, предполагая, что кяк U, так и $\frac{\partial U}{\partial t}$ имеют порядок роста не выше e^{gt} , где g=0 — постояниая. Для этого, очевидио, достаточно, чтобы граничные функции $S_0(x,t)$, $S_1(x,t)$; $T_0(y,t)$, $T_1(y,t)$ и интенсивность тепловыделения w(x,y,t) удовлетворяли этому условию и, вместе с тем, чтобы начальное распределение L(x,y) было ограниченным.

$$U^{a}(x,y,p) = \int_{0}^{\infty} e^{-pt} U(x,y,t) dt$$
, the $Rep = \Theta > g$.

Применяя преобразование Лапласа к уравнению (2), получаем следующее дифференциальное уравнение:

$$\frac{\partial^2 U^*}{\partial x^2} = \frac{\partial^2 U^*}{\partial y^2} = \frac{\alpha_1}{a} \frac{\partial U^*}{\partial x} = \frac{\alpha_2}{a} \frac{\partial U^*}{\partial y} = \frac{p - \omega}{a} U^* = -\frac{1}{a} \omega^*(x, y, p) - \frac{L(x, y)}{a}$$
(4)

Рассмотрим далее систему функций [пк (у)]:

Обозначим преобразованную функцию через $U^*(x, y, p)$:

$$\eta_k(y) = \frac{e^{\beta_k y}}{N_k} \left(\cos \gamma_k y + \frac{h_n - \beta_n}{\gamma_k} \sin \gamma_k y\right). \tag{5}$$

где

$$\beta_2 = \frac{\alpha_2}{2a};$$

$$N_k = \frac{1}{\gamma_k} \left\{ \frac{|\gamma_k^2 + (h_2 - \beta_2)^2| \{\gamma_k^2 + (h_3 + \beta_2)^2 | d + (h_2 + h_3) | \gamma_k^2 + (h_2 - \beta_2) (h_3 + \beta_2) \}}{2|\gamma_k^2 + (h_3 + \beta_2)^2|} \right\}_{-1}^{\frac{1}{2}},$$

удовлетворяющих уравнению

$$\eta''(y) - 2\theta_2 \eta'(y) + (\gamma^2 + \beta_2^2) \eta(y) = 0$$
 (6)

и граничным услониям

$$= \eta'(0) + h_2 \eta(0) = \eta'(d) + h_3 \eta(d) = 0, \tag{7}$$

причем собственные числа являются кориями трансцендентного уравнения

$$\lg \gamma_k d = \frac{(h_2 + h_3)\gamma_k}{\gamma_k^2 - (h_2 - \beta_2)(h_3 + \beta_2)} \tag{8}$$

Функции (у) ортогональные и нормированные с весом $e^{-\frac{\pi}{a}}$, составляют, одновременно с функциями $\gamma_* \cos \gamma_* y + (h_1 - \beta_2) \sin \gamma_* y$, полную в (0, d) систему. Представим функцию $U^*(x, y, p)$ в виде ряда по $\gamma_*(y)$:

$$U^{*}(x, y, p) = \sum_{k=0}^{\infty} f_{k}(x, p) \eta_{ik}(y), \qquad (9)$$

где

$$f_k(x,p) = \int_0^d e^{-2\beta_k y} U^*(x,y,p) \, \gamma_k(y) dy.$$

Для нахождения коэффициента $f_k(x,p)$ умножим обе части уравнения (4) на (y) и проинтегрируем от 0 до d. Учитывая (6) и (7), имеем

$$f_{k}(x,p) - \frac{2}{a} f_{k}(x,p) - \left(\gamma_{k} + \frac{\alpha_{2}^{2}}{4a^{2}} + \frac{p - w}{a} \right) f_{k}(x,p) = -w_{k}(x,p), \quad (10)$$

где

$$w_{k}(x,p) = \int_{0}^{d} e^{-2\beta_{k}y} \left[\frac{1}{h} w^{*}(x,y,p) + \frac{1}{a} L(x,y) \right] \gamma_{ik}(y) dy + h_{2} \gamma_{ik}(0) S_{0}^{*}(x,p) + h_{3} \gamma_{ik}(d) e^{-2\beta_{k}q} S_{1}^{*}(x,p).$$
(11)

Решая уравнение (10) и удовлетворяя соответствующим границным условиям, получаем

$$f_{k}(x,p) = \frac{e^{\beta_{1}x}}{G_{k,p}} \Big\{ \left[\delta_{k,p} ch \delta_{k,p} x + (h_{0} - \beta_{1}) \sinh \delta_{k,p} x \right] \left[h_{1} T_{k}^{(1)}(p) + \frac{1}{\delta_{k,p}} \int_{x}^{b} e^{-\beta_{1}x_{1}} w_{k}(x_{1},p) \left(\delta_{k,p} ch \delta_{k,p}(b-x_{1}) + (h_{1} + \beta_{1}) \sinh \delta_{k,p}(b-x_{1}) \right) dx_{1} \right] + \Big[\delta_{k,p} ch \delta_{k,p}(b-x) + (h_{1} + \beta_{1}) \sinh \delta_{k,p}(b-x) \Big] \Big[h_{0} T_{k}^{(0)}(p) + \frac{1}{\delta_{k,p}} \int_{0}^{x} e^{-\beta_{1}x_{1}} w_{k}(x_{1},p) \left(\delta_{k,p} ch \delta_{k,p} x_{1} + (h_{0} - \beta_{1}) \sinh \delta_{k,p} x_{1} \right) \Big] dx_{1} \Big\}.$$
(12)

Здесь введены следующие обозначения:

$$\beta_1 = \frac{2}{2a} : \delta_{k,p} = \left[\gamma_k^2 + \frac{\alpha_1^2 + \alpha_2}{4a^2} + \frac{p - \omega}{a} \right] \frac{1}{2} : T_k^{(p)}(p) = \int_0^d e^{-2\gamma_k y} T_k(y, p) \eta_k(y) dy;$$
(13)

$$G_{k,p} = [h_{k,p}^2 + (h_0 - \beta_1)(h_1 + \beta_2)] \sinh a_p b + (h_0 + h_1) \partial_{k,p} c \ln a_{k,p} b$$

Ниже нам понадобятся нули G_{hp} . Легко видеть, что уравнение $[3^2 + (h_0 - \beta_1)(h_1 + \beta_1)] \operatorname{sh} b + (h_0 + h_1) \operatorname{ch} b = 0$ (14)

не имеет комплексных корней. Уравнение (14) имеет бесконечное множество простых мнимых корней $i = i \mu_j$, расположенных в гранинах $j = \langle \mu_j b \rangle / \pi + \frac{(h_0 + h_1)b}{J^2}$. Кроме того, в случае, если $\left(\frac{z_1}{2a} - h_0\right) \times$

 $\left(\frac{2a}{2a} + h_1\right) > \frac{h_0 + h_1}{b}$, уравнение (14) имеет простой действительный

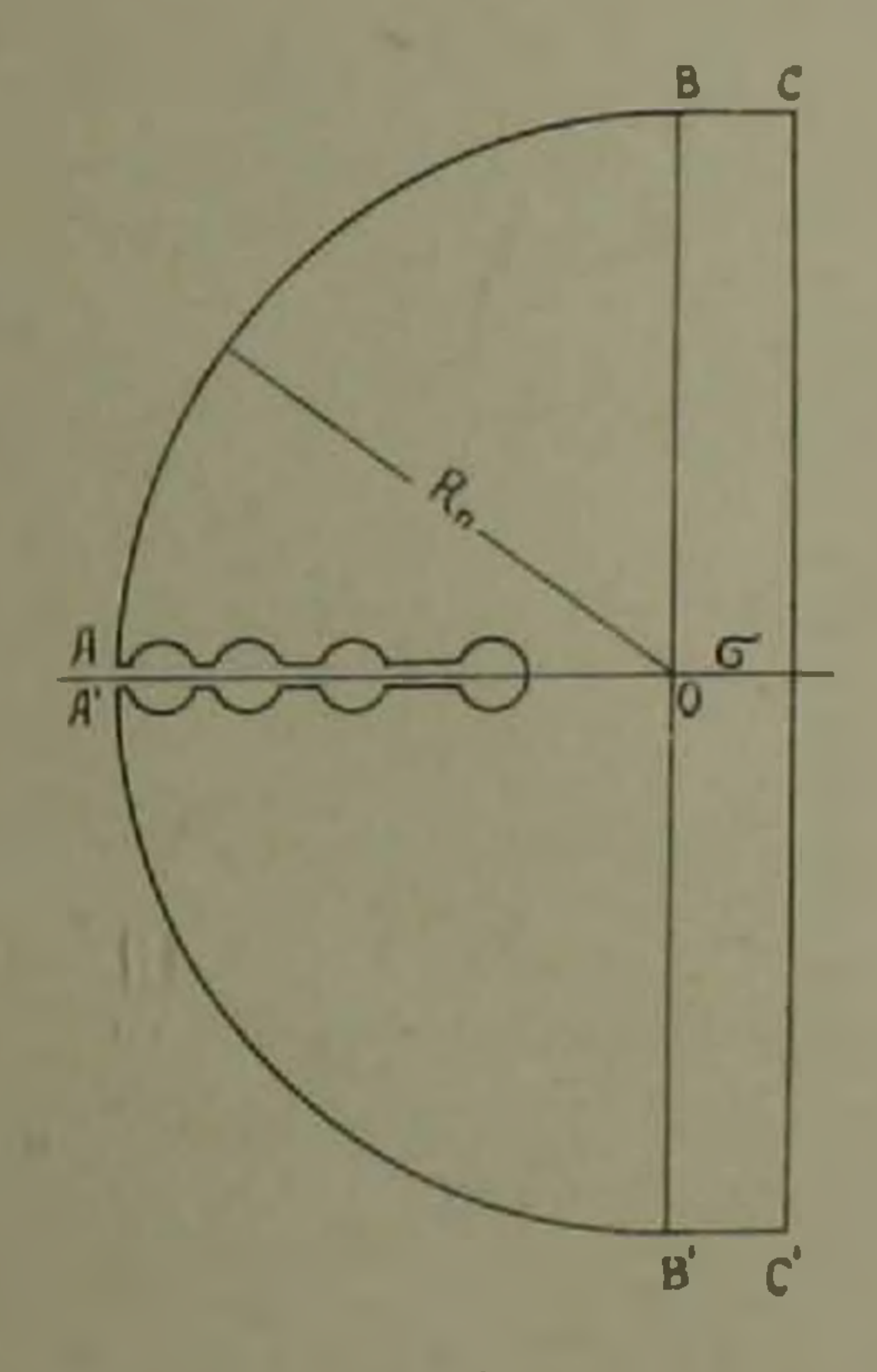
корень thub =
$$\frac{h(h_0 + h_1)}{(\beta_1 + h_0)(\beta_1 + h_1) - \delta^2}$$
, а при $(\frac{\pi}{2a} - h_0)(\frac{\pi}{2a} - h_1)b = h_0 + h_1$

кратный корень в нуле.

Согласно теореме обращения (12), переход от преобразованной функции к оригиналу осуществляется посредством обратного преобразования

$$U(x, y, t) = \frac{1}{2\pi t} \int_{-\infty}^{z+t} e^{pt} \sum_{k=0}^{\infty} f_k(x, p) \, \eta_k(y) dp. \tag{15}$$

где ⇒ > н.



PHC. 1

Полюса $\omega = \frac{a_1 + a_2}{4a} = (\frac{1}{18} + \mu_I^2)a$ подынтегральной функц и расположены все на отрицательной действительной оси Гассмотрим в плос-

кости p односвязную область Q_L , ограниченную контуром I, не проходящим ин через один полюс и со тавленным из отрезков прямых

 $Rep = \sigma (-R_n \leq I_m p \leq R_n)$. $I_m p = \pm R_n (0 \leq Rep \leq \sigma)$;

дуг окружности $|p|=R_n$, двубережных рязрезов вдоль отрицательной действительной оси и дуг окружностей вокруг полюсов функции $f_k(x,p)$ (ряс. 1).

Функция $f_k(x,p)$ регулярна в замкнутой области Q_l и, согласно теореме Коши, интеграл, взятый по контуру l, равен пулю. Согласно лемме Жордана, интегралы по дугам окружности $|p|=R_n$, так же, как интегралы по отрезкам BC и B C', сгремятся к нулю при неограниченном возрастании R_n . Применяя теорию вычетов и воспользовавшись теоремой Бореля о свертке, для функции U(x,y,t) окончательно получаем следующее выражение:

$$U(x, y, t) = 2abe^{\frac{2}{3}t} \sum_{k=0}^{\infty} \sum_{j=1}^{\infty} M_{j} \eta_{k}(y) e^{-m_{jk}t} \left\{ \int_{0}^{t} \int_{0}^{d} |h_{1}\xi_{j}(x)| T_{1}(y_{1}, t_{1}) + h_{0}^{*} \gamma_{j}(x) T_{0}(y_{1}, t_{1}) |e^{m_{jk}t_{1} - 2\pi_{j}t_{1}} dy_{1} dt_{1} + \frac{\xi_{j}(x)}{\mu_{j}} \int_{x}^{b} \left[\frac{1}{a} \int_{0}^{d} L(x_{1}, y_{1}) e^{-2\pi_{j}t_{1}} \eta_{k}(y_{1}) dy_{1} + \int_{0}^{t} \left(h_{2}\eta_{k}(0) S_{0}(x_{1}, t_{1}) + h_{3}\eta_{k}(d) e^{-2\pi_{j}t_{1}} S_{1}(x_{1}, t_{1}) + \frac{1}{h} \int_{0}^{d} w(x_{1}, y_{1}, t_{1}) e^{-2\pi_{j}t_{1}} \eta_{k}(y_{1}) dy_{1} \right) e^{m_{jk}t_{1}} dt_{1}$$

$$\times e^{-\pi_{i}x_{1}} \int_{0}^{t} (x_{1}) dx_{1} + \frac{\eta_{j}(x)}{\mu_{j}} \int_{0}^{x} \left[\frac{1}{a} \int_{0}^{d} L(x_{1}, y_{1}) e^{-2\pi_{i}t_{1}} \eta_{k}(y_{1}) dy_{1} + \int_{0}^{t} \left(h_{2}\eta_{k}(0) S_{0}(x_{1}, t_{1}) + h_{3}e^{-2\pi_{i}t_{1}} \eta_{k}(d) S_{1}(x_{1}, t_{1}) + \frac{1}{h} \int_{0}^{d} w(x_{1}, y_{1}, t_{1}) e^{-2\pi_{i}t_{1}} \eta_{k}(y_{1}) dy_{1} \right) e^{m_{j}kt_{1}} dt_{1} \left[e^{-\pi_{i}x_{1}x_{2}} \gamma_{j}(x_{1}) dx_{1} \right].$$

$$(16)$$

Здесь введены следующие обозначения:

$$M_{j} = \frac{(-1)^{\frac{1}{2}} \left[\frac{1}{\mu_{j}^{2}} + (h_{0} - \beta_{1})^{2} \right] \left[\frac{1}{\mu_{j}^{2}} + (h_{1} + \beta_{1})^{2} \right] b + (h_{0} + h_{1}) \left[\frac{1}{\mu_{j}^{2}} + (h_{0} - \beta_{1})(h_{1} - \beta_{2}) \right]; (17)}{\left[\frac{1}{\mu_{j}^{2}} + \frac{1}{\mu_{j}$$

Институт математики Академии наук Армянской ССР

Ուղղանկյուն լայնական նատվածք ունեցող շաբժվող պբիզմատիկ մաբմնի ջերմային դաչտը

հույկի բմհուղ արմի աւրի ծրևղուփախարակություր չևծատետայի դանդան այրել բրա որվուկյուրը դանդրում ժջայրութը իախվաց է ծրևղարակցարին՝ իրաթըիրուր լայրակար չատվացը ուրրдում փախվաց է ծրևղատակցարին՝ իրի ակշանդարան արմիսում ժջայրակար փախվաց է ծրևղատակցարին՝ իրի ակիրուր լայրակար չատվայն արդարարակություր չևծատատող ղիծումայներ իրույկի բմիսուղ արմի աւրի ծրևղուկան արևանակություր չևծատատող ղիծուկայեր

րավարտում է հետևյալ դիֆերենցիալ հավաստրմանը՝

$$\frac{\partial U}{\partial t} + 2 \frac{\partial U}{\partial x} + 2 \frac{\partial U}{\partial y} - a \left(\frac{\partial^2 U}{\partial x^2} + \frac{\partial^2 U}{\partial y^2} \right) = a U - \frac{1}{ac} w(x, y, t)$$

արև որություն արևաներից ու դանակացանին դ

$$U(x, y, 0) = L(x, y); -\frac{\partial U}{\partial y}\Big|_{x=0} = h_0[T_0(y, t) - U(0, y, t)]; \frac{\partial U}{\partial x}\Big|_{x=b} =$$

$$= h_1[T_1(y, t) - U(b, y, t, t)], -\frac{\partial U}{\partial y}\Big|_{y=0} = h_0[S_0(x, t) - U(x, 0, t)];$$

$$\frac{\partial U}{\partial y}\Big|_{y=0} = h_0[S_1(x, t) - U(x, d, t)],$$

արտեղ $z_1 = v_x$, $z_2 = v_g$ արագախլան րաղագրիչներն են, h_j , I_j , $S_j - g b_{l'}$ մա խոխանակախիլիան գործակիցներ և շրջապատող միջավայրի ջերմասաիճանն է հղրում։ Ենխադրվում է, որ $\omega < 0$ ։

Խնդրի լուծման Տամար կիրառվում է (ապլասի ձևափոխում]յունը, ապա ձևափոխված ֆունկցիան վհրածվում է շարքի ըստ կչռով օրքիռոռնալ ֆունկցիաների։

ЛИТЕРАТУРА-ЧРИЧИЪВ БРВОБЪ

LIX

1974

.

УДК 5393

МЕХАНИКА

С. С. Шагинян

Некоторые контактные задачи для бесконечной пластины с круговым отверстием, усиленной упругими накладками

(Представлено академиком АН Арминской ССР II X. Арутюняном 20/V 1974)

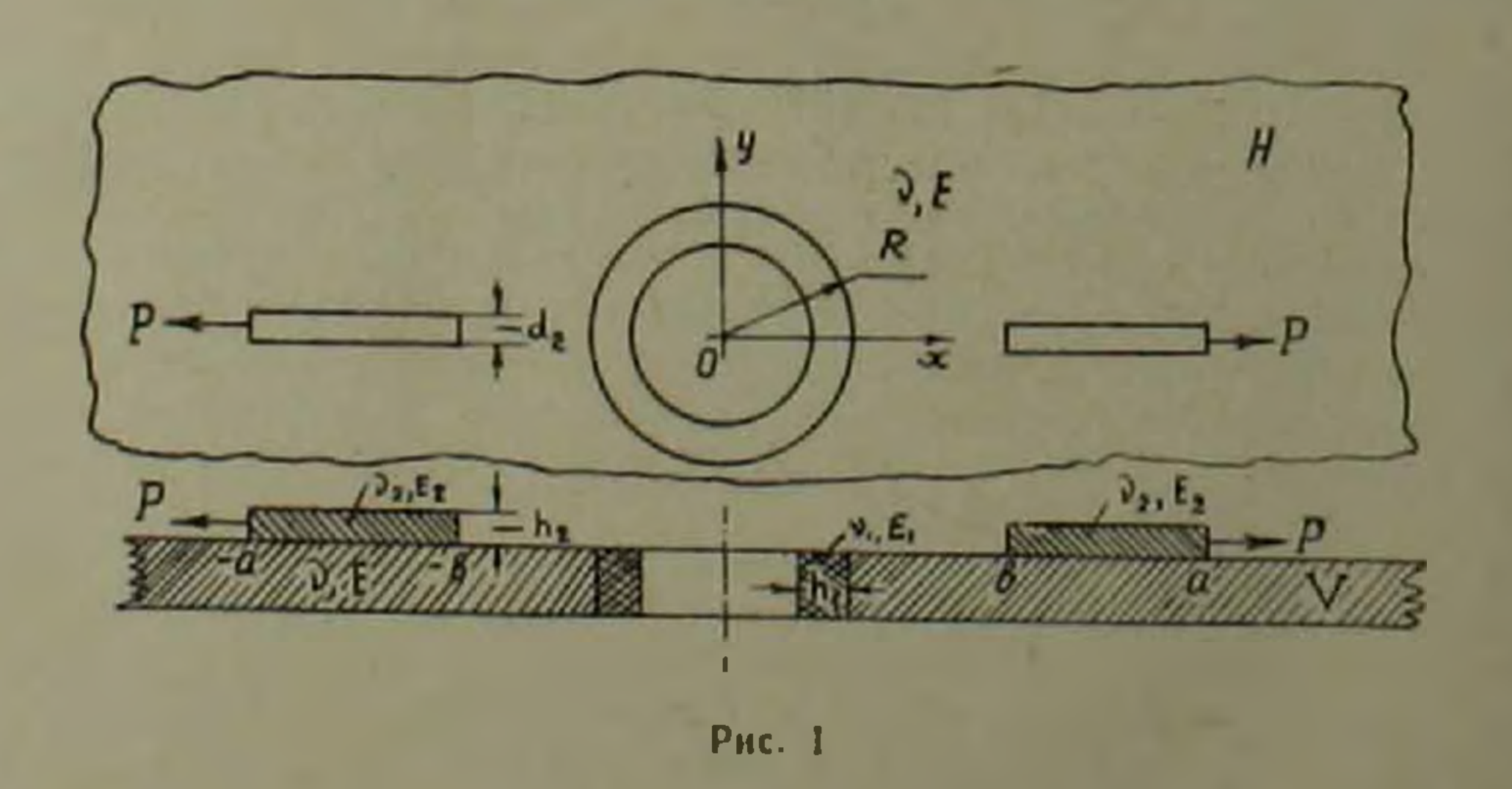
В настоящей работе в рамках известных физических предположений (¹²) рассматриваются тесно связанные между собой контактные задачи трех типов для пластины с круговым отверстием, когда последняя усилена системой упругих накладок различной формы и различными способами.

Решение указанных задач, являющихся продолжениями ранее ис следованных нами задач (3.1), сводится к решению или одного сингулярного интегро-дифференциального уравнения или же системы таких уравнений при некоторых граничных условиях.

Известным способом (3 - 1) решение этих уравнений сведени к решению вполне или квазивполне регулярных бесконечных систем иннейных алгебраических уравнений.

Рассмотренные здесь задачи непосредственно связаны с вопросами передачи нагрузок от стрингеров к основаниям и представляют определенный интерес для инженерной практики.

1. Пусть упругий лист в виде топкой бесконечной пластины, с круговым отверстием радиуса R, усиленной системой упругих накладок, как показано на рис. 1, деформируется силами P, действующими на



онцах упругих накладок, приклеенных на семметричных отрезках -a, -b, [s, a] вещественной оси. Во второй задаче предполагается, то та же пластина, усиленная вдоль симметрично расположенными огрезками [-a, -b], [s, a] вещественной оси упругими накладками постонного прямоугольного поперечного сечения малой площади, деформичества силами P, как показано на рис. 2. Рассматривается также слу-

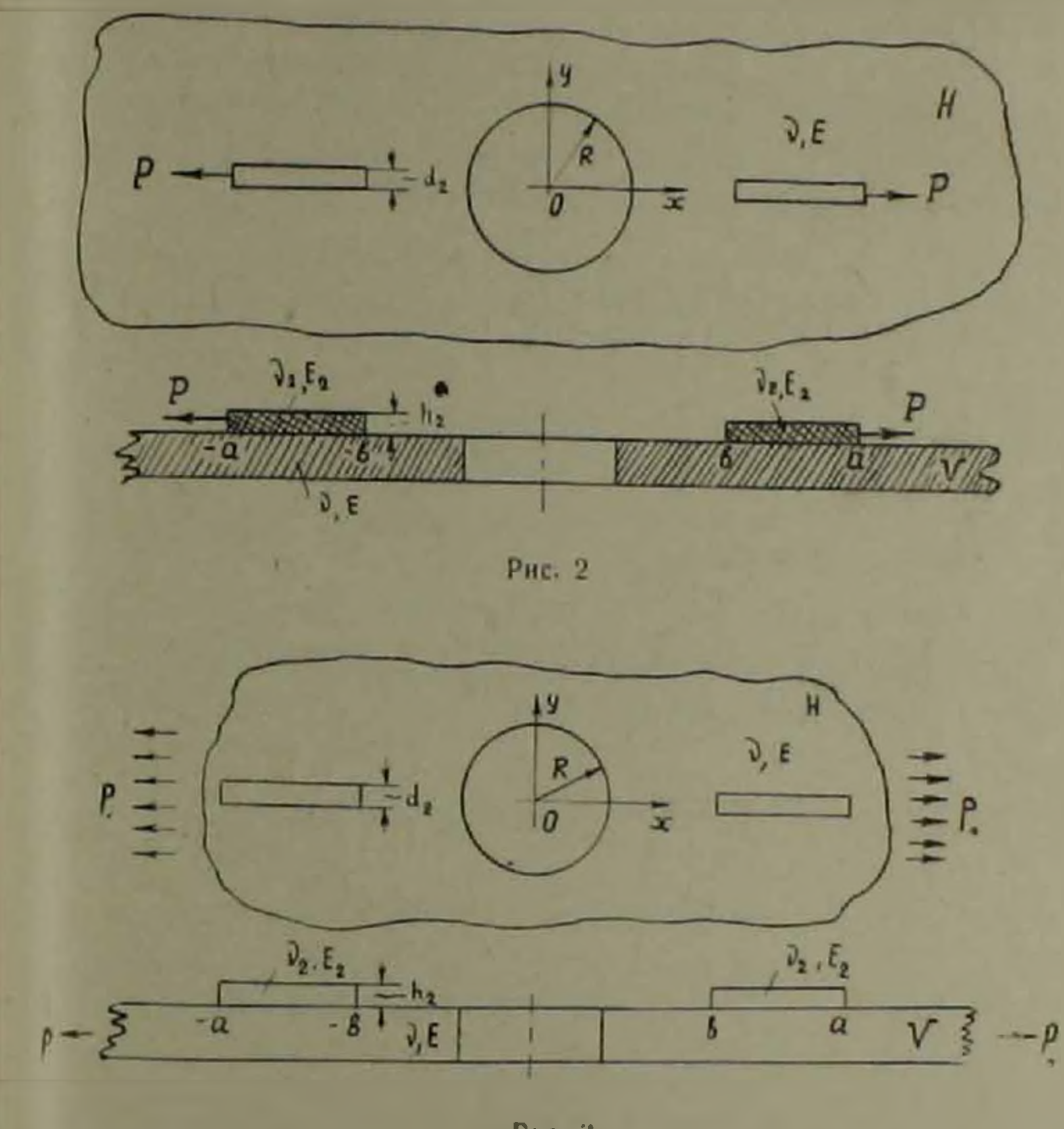


Рис. 3

ий, когда пластина, усиленная упругими накладками, как во второй идаче, подвержена на бесконечности одностороннему растяжению усинями P_0 в направлении оси стрингеров (рис. 3). Цель нашей работы аключается в определении закона распределения контактных напряжений вдоль отрезков креплении упругих накладок с основанием.

В дальнейшем эти задачи кратко будем именовать первой, второн третьей контактными задачами соответственно.

Здесь же отметим, что контактная задача для пластины с кругоным отверстием, аналогичная со второй и третьей контактными задаами настоящей работы, другим методом и в частном случае, когда риклеснные к пластине стрингеры своими концами выходят на обвод отверстия, рассмотрена в работе (в). Рассмотренная нами задача олее обща и здесь приводится ее полное исследование, включающее определение в явной форме важной механической характеристикизакона распределения тангенциальных контактных напряжений,

Условимся все физические и геометрические величины, относящиеся к кольцевой накладке, обозначить индексом I, для прямолинейны накладок—индексом 2 и, наконец, для основания, т. е. для пластиш.

с круговым отверстием - без индекса.

Спачала рассмотрим первую контактную задачу. Пользуясь извест ным комплексным представлением общего решения плоской задачи теории упругости (9), легко определить соответствующие функция влияния. Далее, следуя работам (11), находим, что решение первой контактной задачи можно свести к решению следующей системы сингу лярных интегро-дифференциальных уравнений:

$$\int_{-\pi}^{\pi} \left[\frac{1}{2} \operatorname{ctg} \frac{s - t}{2} + K_{11}(t, s) \right] \psi_{1}(s) ds + \int_{b}^{a} K_{12}(t, s) \psi_{2}(s) ds = i_{2} \psi_{1}(t) + \Theta_{2}^{(1)}(-s) \int_{\pi}^{\pi} K_{21}(t, s) \psi_{1}(s) ds + \int_{b}^{a} \left[\frac{1}{s - t} + K_{22}(t, s) \right] \psi_{2}(s) ds = i_{2} \psi_{2}(t)$$
(1.)

при граничных условиях

$$\psi_1(-\pi) = 0, \ \psi_1(\pi) = 0, \ \psi_2(b) = 0, \ \psi_2(a) = 1. \tag{1.2}$$

Интегралы в (1,1) с ядрами Гильберта и Коши следует понимать в смысле главного значения по Коши.

$$K_{11}(t,s) = \frac{3-v}{4}\sin(t-s) + \sin(t-s)\ln 2 \left| \sin\frac{t-s}{2} \right| - \frac{1-v}{2} \cdot \frac{\pi - |t-s|}{2} \right| \times \cos(t-s)\operatorname{sign}(t-s), (-\pi \leq t, s \leq \pi)$$

$$K_{12}(t,s) = \frac{v^2 + 2v - 7}{16}\cos t \ln \frac{s^2 + 2\operatorname{scos}t + 1}{s^3 - 2\operatorname{scos}t + 1} + \frac{v^2 + 2v - 7}{16} \times \frac{(1+s^4)\sin^2t}{(s^2 + 2\operatorname{scos}t + 1)\cos t} + \frac{v^2 - 2v + 5}{8}\sin t \operatorname{arctg} \frac{2\operatorname{ssin}t}{1-s^2} - \frac{v^2 + 2v - 7}{16} \times \frac{(1+s^4)\sin^2t}{(s^2 - 2\operatorname{scos}t + 1)\cos t} + \frac{v^2 - 2v + 5}{4} \cdot \frac{(s-s^3)\cos^2t}{(1-s^2)^2 + 4s^2\sin^2t} + \frac{12 - (1-v)s^2|(1+v)}{2} \cdot \frac{(s+s^3)\cos 2t - 2s^3}{(s^4 - 2s^2\cos 2t + 1)^2} \times K_{21}(t,s) = -\frac{v^2 - 2v + 5}{(3-v)(1+v)} \cdot \frac{\sin s}{t} + \frac{\sin s}{t^3} + \frac{8}{(3-v)(1+v)} \cdot \frac{(t-\cos s)\sin s}{t^2 - 2t\cos s + 1} + \frac{2(1-v)}{(3-v)(1+v)} \cdot \frac{\sin 2s}{t^2 - 2t\cos s + 1} \cdot \frac{t\sin s}{3-v} + \frac{4}{3-v} \times \frac{(t^2 - 1)(t-\cos s)\sin s}{(t^2 - 2t\cos s + 1)^2} \cdot (-\pi - s \leq \pi, b \leq t \leq a)$$

$$K_{zz}(t,s) = \frac{1}{s+t} - \frac{2(v^2 - 2v + 5)}{(3-v)(1+v)} \frac{s}{t^2s^2 - 1} \frac{(5+v)s^2 + 1 - 3v}{(3-v)s(t^2s^2 - 1)}$$

$$\frac{2(1-3v)(1-s^2)}{(3-v)s(t^2s^2 - 1)^2} \frac{3s(1-t^2)}{t^2(t^2s^2 - 1)} \frac{2s(1-t^2)}{t^2(t^2s^2 - 1)^2} \frac{3(1+v)}{3-v} \cdot \frac{(1-t^2)(1-s^2)}{(1-t^2)(1-s^2)}$$

$$\frac{12(1+v)}{3-v} \frac{(1-t^2)(1-s^2)}{st^2(t^2s^2 - 1)^2} \frac{8(1-v)}{3-v} \cdot \frac{(1-t^2)(1-s^2)}{st^2(t^2s^2 - 1)^3} \frac{1+v}{3-v} \frac{1}{st^2}$$

$$(b-t,s-a)$$

в постоянные параметры

$$h = \frac{\pi(1-v_1)(1-2v_1)E}{2h_1(1-v_1)E_1} \qquad \frac{4\pi E}{h_2d_2(3-v)(1-v)E_2} \qquad H = \frac{v_1h_1d_2}{h_2d_2(3-v)(1-v)E_2}$$

где Е и у- модуль Юнга и коэффициент Пуяссона соответственно.

Контактные напряжения под кольцевой накладкой и прямолинейными накладками даются соответственно формулами

$$f(s) = \frac{P}{Rd_2} \psi_1(s), \quad - < s - c$$

$$f(s) = \frac{P}{d_1} \psi_1(s), \quad b < s - a$$

Перейдя ко второму и третьему контактным задачам, отметим лишь, не останавливаясь на подробностях, что их решение сводится к решению следующего сингулярного интегро-дифференциального уравнения

$$\int_{b}^{a} \left[\frac{1}{s-t} - K(t,s) \right] \dot{\varphi}'(s) ds = i \dot{\varphi}(t) - H f(t), \quad (b < t < a)$$
 (13)

при граничных условиях $\varphi(b)=0$, $\varphi(a)=1$ для второй контактной задачи и при граничных условиях $\varphi(b)=0$, $\varphi(a)=0$ для третьей контактной задачи. Интегралы, фигурирующие в уравнении (1.3) с особенностями типа Коши, следует понимать в смысле главного значения по Коши. Заметим, что при решении уравнения (1.3) для второй контактной задачи в него необходимо положить f(t)=0, $b \leqslant t \leqslant a$

Функции K(t,s) и f(t) имеют вид

$$k(t,s) = \frac{1}{s+t} \frac{2^{s^2+4^{v}+18}}{(3-v)(1+v)} \frac{s}{t^2s^2-1} \frac{2(3v-11)}{3-v} \cdot \frac{s}{(t^2s^2-1)^2} \frac{4}{3-v}$$

$$\frac{1}{s(t^2s^2-1)} \frac{2(3v+7)}{3-v} \frac{1}{s(t^2s^2-1)^2} \frac{12}{3-v} \frac{st^{-2}}{t^2s^2-1} \frac{2(5v+9)}{3-v} \frac{st^{-2}}{(t^2s^2-1)^2}$$

$$\frac{10(1+v)}{3-v} \cdot \frac{s^{-1}t^{-2}}{(t^2s^2-1)^2} \frac{8(1-v)}{3-v} \frac{(1-t^2)(1-s^2)}{st^2(t^2s^2-1)^3}$$

$$t(t) = \frac{4}{1-v} \frac{2(5-v)}{(1+v)t^2} + \frac{6}{t} \quad (b \le t \le a)$$

а постоянные параметры - вид

$$h = \frac{4\pi E}{h_2 d_2 (3-v)(1-v)E_2}, \quad \Theta = \frac{\pi}{(3-v)d_2}.$$

Контактные напряжения для этих задач даются формулами

$$q(s) = \frac{P}{d_2} \varphi'(s), \quad (b < s < a)$$

для второй контактной задачи и

$$q(s) = P_0 \stackrel{>}{\sim} (s), (b < s < a)$$

для третьей контактной задач.

Таким образом, решение поставленных выше задач сводится к решению или одного сингулярного интегро-дифференциального уравнения или же системы таких уравнений с определенными граничными условиями.

2. В случае первой контактной задачи можно положить

$$\psi_1(s) = \sum_{n=1}^{\infty} x_n \sin 2ns, \quad (-\pi < s < \pi)$$
 (2.1)

$$\psi_2(s) = \left[1 - \left(\frac{2s - a - b}{a - b}\right)^2\right]^{-1/2} \sum_{n=0}^{\infty} y_n T_n \left(\frac{2s - a - b}{a - b}\right), (b < s < a) \quad (2.2)$$

Здесь $T_n(\eta) = \cos (n \arccos \eta), (n = 0,1,2...)$ — многочлены Чебышева первого рода. В (2.1) и (2.2) $|x_n|_{n=1}^\infty$ и $|y_n|_{n=0}^\infty$ неизвестные коэффициенты, подлежащие определению

Далее, поступая известным способом (3-7), приходим к бесконечной системе

$$\left(1 + \frac{2}{4m^2 - 1} + \frac{1}{2\pi m}\right) x_m + \sum_{n=1}^{\infty} y_n n^{-1} C_{m \cdot n} = a_m \quad (m = 1, 2, \dots) \quad (2.3)$$

$$y_m + \sum_{n=1}^{\infty} x_n n^{-1} D_{m \cdot n} + \sum_{n=1}^{\infty} y_n n^{-1} (A_{m \cdot n} + B_{m \cdot n}) = b_m.$$

Ядра этой бесконечной системы выражаются формыдами простой структуры и здесь не приводятся.

Отметим, что после того, как определены коэффициенты $|x_n|_{\pi=1}^{\pi}$ | $|y_n|_{\pi=0}$ значение $\sigma_{\rm H}^{(1)}(-\pi)$ нормального напря нения определяется на первого уравнения (1.1).

Для второй и третьей контактных задач искомое контактное напряжение представим в виде разложения по многочленам Чебышева первого рода следующим образом

$$\varphi'(s) = \left[1 - \left(\frac{2s - a - b}{a - b}\right)^{2}\right]^{-1/2} \sum_{m=0}^{\infty} z_{m} T_{m} \left(\frac{2s - a - b}{a - b}\right), (b < s < a)$$

где $z_m(m=0,1,2...)$ — неизвестные коэффициенты, подлежащие определению. Совершенно аналогичным способом, как выше, для определения неизвестных коэффициентов получим бесконечную систему $A^{(0)}$ нейных уравнений

$$z_n + \sum z_m m^{-1} A_{m \cdot n} = b_n, \quad (n = 1, 2, ...)$$
 (2.4)

Я гра и свободные члены (2.4) выражаются известными формулами, которые здесь не приводятся. Коэффициент z_0 определяется из граничных условий, при этом $z_0 = 1/\pi$ для второй контактной задачи и $z_0 = 0$ для третьей контактной задачи.

3. Перейдем к исследованию системы (2.3). Для этого оценим суммы

$$S_m^{(1)} = \sum_{n=1}^{\infty} n^{-1} |C_{m \cdot n}|, m = 1, 2, \dots$$
 (3.1)

$$S_{m}^{(2)} = \sum_{n=1}^{\infty} n^{-1} |D_{m+n}| + \sum_{n=1}^{\infty} n^{-1} |A_{m+n}| + |B_{m+n}|, m = 1, 2, \dots$$
 (3.2)

Далее, следуя методике, предложенной в работе (7), при помощи неравенства Коши—Буняковского для (3.1) будем иметь

$$S_m^{(1)} \le \frac{\pi}{\sqrt{6}} \left(\sum_{n=1}^{\infty} C_{m,n}^2 \right)^{1/2}, \ m = 1, 2, \dots$$
 (3,3)

Рассмотрим теперь функцию

$$\omega_m(s) = \frac{(a-b)^2}{8} \int \frac{\partial K_{12}(t,s)}{\partial s} \cos 2mt dt, m = 1,2,...$$

Коэффициенты $\{C_{m\cdot n}|_{m\cdot n-1}^*$ — являются коэффициентами Фурье этой функции по системе многочленов $\Big\{U_{n-1}\Big(\frac{2s-a-b}{a-b}\Big)\Big\}_{n-1}^\infty$, ортого-

нальной с весом
$$\phi(s) = \left[1 - \left(\frac{2s - a - b}{a - b} \right)^2 \right]^{1/2} \beta L_a^2(b, a).$$

Следовательно, на основании известного равенства Парсеваля

$$\sum_{m=1}^{a} C_{m,n}^{2} = \frac{4}{\pi(a-b)} \int_{a}^{a} \rho(s) \omega_{m}^{2}(s) ds \le \frac{(a-b)^{3}}{16} \left\| \frac{\partial K_{12}}{\partial s} \right\|^{2}$$
(3.4)

но тогда из (3.3) и (3.4) будем иметь

$$S_m^{(1)} \leq \frac{\pi(a-b)}{4} \sqrt{\frac{a-b}{6}} \left\| \frac{\partial K_{12}}{\partial s} \right\|. \qquad m = 1, 2, \dots$$
 (3.5)

Аналогичным образом поступая для $S^{(2)}_m$, будем иметь

$$S_{m}^{(2)} = \frac{2}{\sqrt{6\pi(a-b)}} \left\| \frac{\partial K_{21}}{\partial s} \right\| + \frac{\sqrt{2} \lambda_{2}(a-b)}{8} + \frac{a-b}{\sqrt{6\pi}} \left\| \frac{\partial K_{21}}{\partial s} \right\|$$
(3.6)

Для полной регулярности системы бесконечных систем линейных уравнений (2.3) достаточно, чтобы одновременно выполнялись условия

$$\frac{2}{3} + \frac{\lambda_1}{2\pi} + S_m^{(1)} < 1$$
$$S_m^{(2)} < 1$$

С учетом (3.5) и (3.6) эти условия примут вид

$$\frac{4\sqrt{3}}{3(a-b)} \left[\begin{array}{c|c} -\frac{\pi(a-b)}{4} & \overline{a-b} & \overline{a-b} \\ \hline -\frac{4\sqrt{3}}{3(a-b)} & \overline{a-b} & \overline{a-b} & \overline{a-b} \\ \hline -\frac{2}{7\pi(a-b)} & \overline{a-b} & \overline{a-b} & \overline{a-b} & \overline{a-b} \\ \hline -\frac{2}{7\pi(a-b)} & \overline{a-b} & \overline{a-b} & \overline{a-b} & \overline{a-b} \\ \hline -\frac{2}{7\pi(a-b)} & \overline{a-b} & \overline{a-b} & \overline{a-b} & \overline{a-b} \\ \hline -\frac{2}{7\pi(a-b)} & \overline{a-b} & \overline{a-b} & \overline{a-b} & \overline{a-b} \\ \hline -\frac{2}{7\pi(a-b)} & \overline{a-b} & \overline{a-b} & \overline{a-b} & \overline{a-b} \\ \hline -\frac{2}{7\pi(a-b)} & \overline{a-b} & \overline{a-b} & \overline{a-b} & \overline{a-b} \\ \hline -\frac{2}{7\pi(a-b)} & \overline{a-b} & \overline{a-b} & \overline{a-b} & \overline{a-b} \\ \hline -\frac{2}{7\pi(a-b)} & \overline{a-b} & \overline{a-b} & \overline{a-b} & \overline{a-b} \\ \hline -\frac{2}{7\pi(a-b)} & \overline{a-b} & \overline{a-b} & \overline{a-b} & \overline{a-b} \\ \hline -\frac{2}{7\pi(a-b)} & \overline{a-b} & \overline{a-b} & \overline{a-b} & \overline{a-b} \\ \hline -\frac{2}{7\pi(a-b)} & \overline{a-b} & \overline{a-b} & \overline{a-b} & \overline{a-b} \\ \hline -\frac{2}{7\pi(a-b)} & \overline{a-b} & \overline{a-b} & \overline{a-b} & \overline{a-b} \\ \hline -\frac{2}{7\pi(a-b)} & \overline{a-b} & \overline{a-b} & \overline{a-b} & \overline{a-b} \\ \hline -\frac{2}{7\pi(a-b)} & \overline{a-b} & \overline{a-b} & \overline{a-b} & \overline{a-b} \\ \hline -\frac{2}{7\pi(a-b)} & \overline{a-b} & \overline{a-b} & \overline{a-b} & \overline{a-b} \\ \hline -\frac{2}{7\pi(a-b)} & \overline{a-b} & \overline{a-b} & \overline{a-b} & \overline{a-b} \\ \hline -\frac{2}{7\pi(a-b)} & \overline{a-b} & \overline{a-b} & \overline{a-b} & \overline{a-b} \\ \hline -\frac{2}{7\pi(a-b)} & \overline{a-b} & \overline{a-b} & \overline{a-b} & \overline{a-b} \\ \hline -\frac{2}{7\pi(a-b)} & \overline{a-b} & \overline{a-b} & \overline{a-b} & \overline{a-b} \\ \hline -\frac{2}{7\pi(a-b)} & \overline{a-b} & \overline{a-b} & \overline{a-b} \\ \hline -\frac{2}{7\pi(a-b)} & \overline{a-b} & \overline{a-b} & \overline{a-b} \\ \hline -\frac{2}{7\pi(a-b)} & \overline{a-b} & \overline{a-b} & \overline{a-b} \\ \hline -\frac{2}{7\pi(a-b)} & \overline{a-b} & \overline{a-b} & \overline{a-b} \\ \hline -\frac{2}{7\pi(a-b)} & \overline{a-b} & \overline{a-b} & \overline{a-b} & \overline{a-b} \\ \hline -\frac{2}{7\pi(a-b)} & \overline{a-b} & \overline{a-b} & \overline{a-b} & \overline{a-b} \\ \hline -\frac{2}{7\pi(a-b)} & \overline{a-b} & \overline{a-b} & \overline{a-b} & \overline{a-b} \\ \hline -\frac{2}{7\pi(a-b)} & \overline{a-b} & \overline{a-b} & \overline{a-b} & \overline{a-b} \\ \hline -\frac{2}{7\pi(a-b)} & \overline{a-b} & \overline{a-b} & \overline{a-b} & \overline{a-b} \\ \hline -\frac{2}{7\pi(a-b)} & \overline{a-b} & \overline{a-b} & \overline{a-b} & \overline{a-b} \\ \hline -\frac{2}{7\pi(a-b)} & \overline{a-b} & \overline{a-b} & \overline{a-b} & \overline{a-b} \\ \hline -\frac{2}{7\pi(a-b)} & \overline{a-b} & \overline{a-b} & \overline{a-b} & \overline{a-b} \\ \hline -\frac{2}{7\pi(a-b)} & \overline{a-b} & \overline{a-b} & \overline{a-b} & \overline{a-b} \\ \hline -\frac{2}{7\pi(a-b)} & \overline{a-b} & \overline{a-b} & \overline{a-b} & \overline{a-b} \\ \hline -\frac{2}{7\pi(a-b)} & \overline{a-b} & \overline{a-b} & \overline{a-b} & \overline{a-b} \\ \hline -\frac{2}{7\pi(a-b)} & \overline{a-b} & \overline{a-b} & \overline{a-b} & \overline{a-b} \\ \hline -\frac{2}{7\pi(a-b)} & \overline{a-b} & \overline{a-b} & \overline{a-b}$$

Так как ядра рассматриваемых систем представляют собой коэф фициенты Фурье определенных квадратично интегрируемых функций, то при помощи неравенства Бесселя и известных теорем из теории двойных рядов (10) легко показать (16), что при остальных значениях парамет ров 4 и 42 система (2.3) квазивлолие регуляриа.

Кроме того, поскольку свободные члены $a_m(m=1,2,...)$ и $b_m(m=1,2,...)$ убывают при m — со скоростью не менее, чем m^{-1} , следовательно, из краиней мере тот же порядок убывания имеют неизвестные коэффициенты (11).

Изложенный выше способ исследования можно применить и к системе (2.4). При этом оказывается, что при

$$1 < 4$$
 $1 - \frac{a-b}{2\sqrt{3\pi}} \left| \frac{\partial K}{\partial s} \right|$

система (2.4) вполне регулярна, а для любого значения этого параметра она квазивполне регулярна.

Институт механики Академии наук Армянской ССР

U. U. 5U2PGBRY

Առաձգական վեբադիբներով ուժեղացված շրջանային անցքով ճաբրության համաբ մի քանի կոնտակտային խնդիբներ

արդրեծ լավառահուդրբեր որուսըութեր լեսվիր ը ծվաժելեսվիր արժունորեւ.
հուցվուց բր օեկաժորան համարդումումը ընթեր ընթերը և արդրեծ լավառահուդրեր որուսին արդրեն լուցվուց բր օեկաժորան համարարական արդրեն այսութեր այսութեր այսութեր ընթեր ընթեր արդրեն արդրարդութեր արդրեն արդրարդութեր արդրեն արդրեն

ЛИТЕРАТУРА-ЧРИЧИВНЕРВИНЫ

1 E. Melan, Ein Beitrage zur theorie geschweister Verbingunden. Ing. Arch. Bd. 3, Nr. 2, 1932. 2 H. Х. Арутюнян, ПММ, т. 32, вып. 4, (1968). 3 С. С. Шагинян, МТТ, №5, 1972. 4 С. С. Шагинян "Известия АН Арм. ССР", Механика, т. 27, №1, (1974) 5 N. К. Arutunyan, S. M. Mkhitaryan, Trends in elasticity and thermoelasticity. Witold Nowacki Anniversary Volume. Wolters.— Noordholf Publishing, 1971 6 H. Х. Арутюнян, С. М. Мхитарин, ПММ, т. 33, вып. 5, (1972), 7 К. Л. Агаян, МТТ, №5, (1972). 8 Г. Т. Жоржолиани, А. И. Каландия, ПММ, т. 38, вып. 1, (1974) 6 H. И. Мускелишвили. Несторые остояные задаче часечите тессой теории улругоста, М. Физматсия, 1966. 10 Э. Уиттекер, Г. Ватон, Курс современного анализа, т. 3, Физматсия, М., 1963. 11 Л. Канторович, В. Крылов, Приближенные методы высшего знализа, М.—Л., Гистехизгат, 1950.

1971

LIX

NAK 621.382.2

ФИЗИКА

Член-корреспондент АН Армянской ССР Г. М. Авакьянц, С. Г. Долмазян

Некоторые свойства шнура тока в S-диодах из п-кремния с примесью серебра

(Представлено 8/V 1974)

Известно, что в базе полупроводниковых S -приборов в статистическом режиме при большом нагрузочном сопротивлении наблюдается неоднородное распределение илотности тока (1-4). С явлением интурования тока в базе приборов связаны некоторые особенности вольт-амперных характеристик (ВАХ). В частности, на ВАХ после участко ОДС наблюдается вертикаль (независимость тока от напряжения), а также гистерезис (2,5-8). Известно также, что размеры шнура зависят от величины тока, протекающего через прибор При увеличении тока шнур расширяется, а с уменьшением—сужается, и при критических токах (I_{000}) шнур распадается (1, 6, 7). В этом случае на ВАХ наблюдается скачкообразное увеличение напряжения. Происходит переключение с левой ветви гистерезиса на правую. Исследуемые в настоящей работе S-дноды в этот момент переходят из низкоомного (открытого) состояния в высокоомное (закрытое), поскольку гистерезис здесь наблюлается при обратном ходе прямой ветви ВАХ.

В предлагаемой работе изучались возможности возникновения гистерезиса под действием светового возбуждения, а также исследовались зависимости критического тока $I_{(0)}$ от освещенности и температуры.

По сплавной технологии были изготовлены p-n-n структуры ($^{(1)}$) из n- креминя ($o_{nex}\sim 40$ ом e_m), компенсированного серебром. Диффузия ($^{(1)}$) серебра в кремиий проводилась при температуре $1300^{\circ}\mathrm{C}-1350^{\circ}\mathrm{C}$. Изготовленные диоды на прямой ветви ВАХ имели участох ОДС. Контактами служили: алюминий -p, и золото с примесью сурьмы $(0,196)-n^{-1}$.

Ряд диодов, условно обозначенных как первая партия, при обратном ходе прямой ветви имели на ВАХ гистерезис, а другие диоды (вторая партия) гистерезиса не имели. Отметим, что у приборов обенх партий после участка ОДС на ВАХ наблюдалась вертикаль.

Исследовання проводились в широком днапазоне температур от 90 С до +50 С (для диодов первой партии), а освещенность (Е) изменялась от 0 до 290 лк.

Дноды второй партии исследовались при комнатной температуре, освещенность в этом случае изменялась от 0 до $2 \cdot 10^3$ лк. Освещение днодов первой партии удалось осуществить только со стороны p- — электрода, через стеклянное окно стандартного корпуса. Приборы второй партии освещались, как со стороны p, так и n^+ контактов.

Источником света служила лампа накаливания, изменение освешенности проводилось диафрагмированием пучка света. Величины освещенностей измерялись люксметром Ю-16.

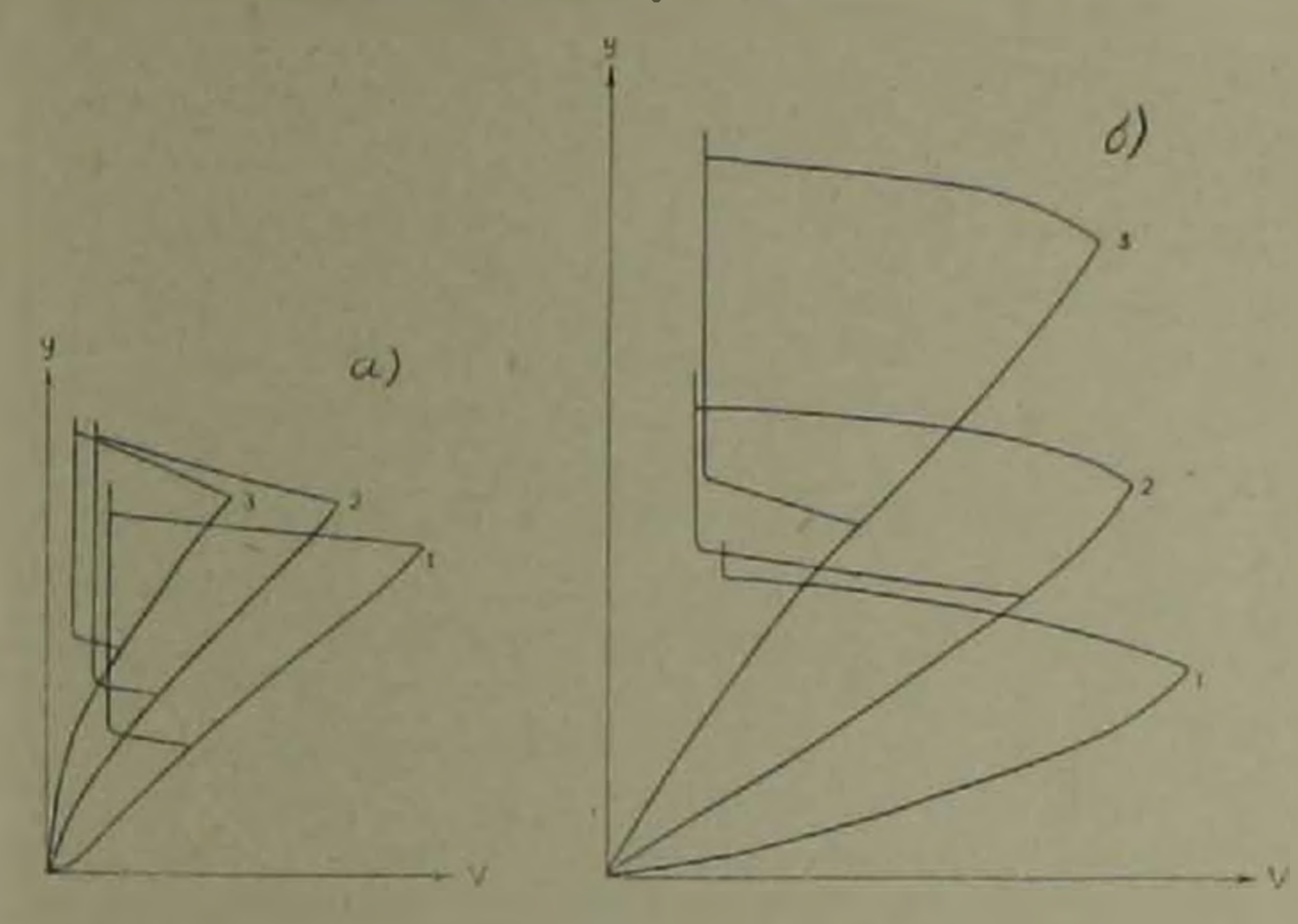


Рис. 1.

а ВАХ диода с ги теплисом в темноте (1) и при разных уровнях освещенности,
б ВАХ дила без гистерезиса в темноте (1) и при разных уровнях освещенности

Как отмечалось выше, дноды второй партии при обратном ходе прямой ветни ВАХ не имели гистерезиса. Однако под действием светового потока у этих приборов возникает гистерезис (рис. 1,6). Гистерезис на этих приборах наблюдался при всех реализуемых на опыте величинах освещенности Следует отметить, что величина $I_{\text{пор}}$ определяется значением освещенности E (рис. 2,a, кривые I и I).

В случае, когда освещение осуществляется со стороны n^- контакта, величина $I_{\rm n,p}$ резко возрастает с увеличением E (рис. 2,a, кривая I) до освещенностей порядка 1000 m, а при E > 1000 $n\kappa$, значение $I_{\rm nop}$ увеличивается слабее. Если же свет падает со стороны p^+ контакта, то величина $I_{\rm nop}$ монстонно возрастает с увеличением E (рис. 2,a, кривая 2). Необходимо подчеркнуть, что величина $I_{\rm nop}$ для приборов, больше тока срыва ($I_{\rm sp}$) без освещения (рис. 1,6),

Рис. 2,a (кривые 3 и 4) иллюстрирует поведение токов срыва в знаисимости от величины E. В литературе (12,13) описаны случан когла $I_{\rm cp}$ возрястает с увеличением E. Но это увеличение $I_{\rm cp}$ зависит от способа освещения. В случае освещения со стороны p — контакта — $I_{\rm cp}$ возрастает монотонно, в то время когда свет падает со сто-

роны n электрода, поведение тока срыва более сложно. Здесь можн выделить дне области, в первой до $500\,\mathrm{A\kappa}\ L_{\mathrm{P}}$ резко возрастает, а в второй — при $E=500\,\mathrm{A\kappa}$ наблюдается слабое уменьшение I_{cp} от L

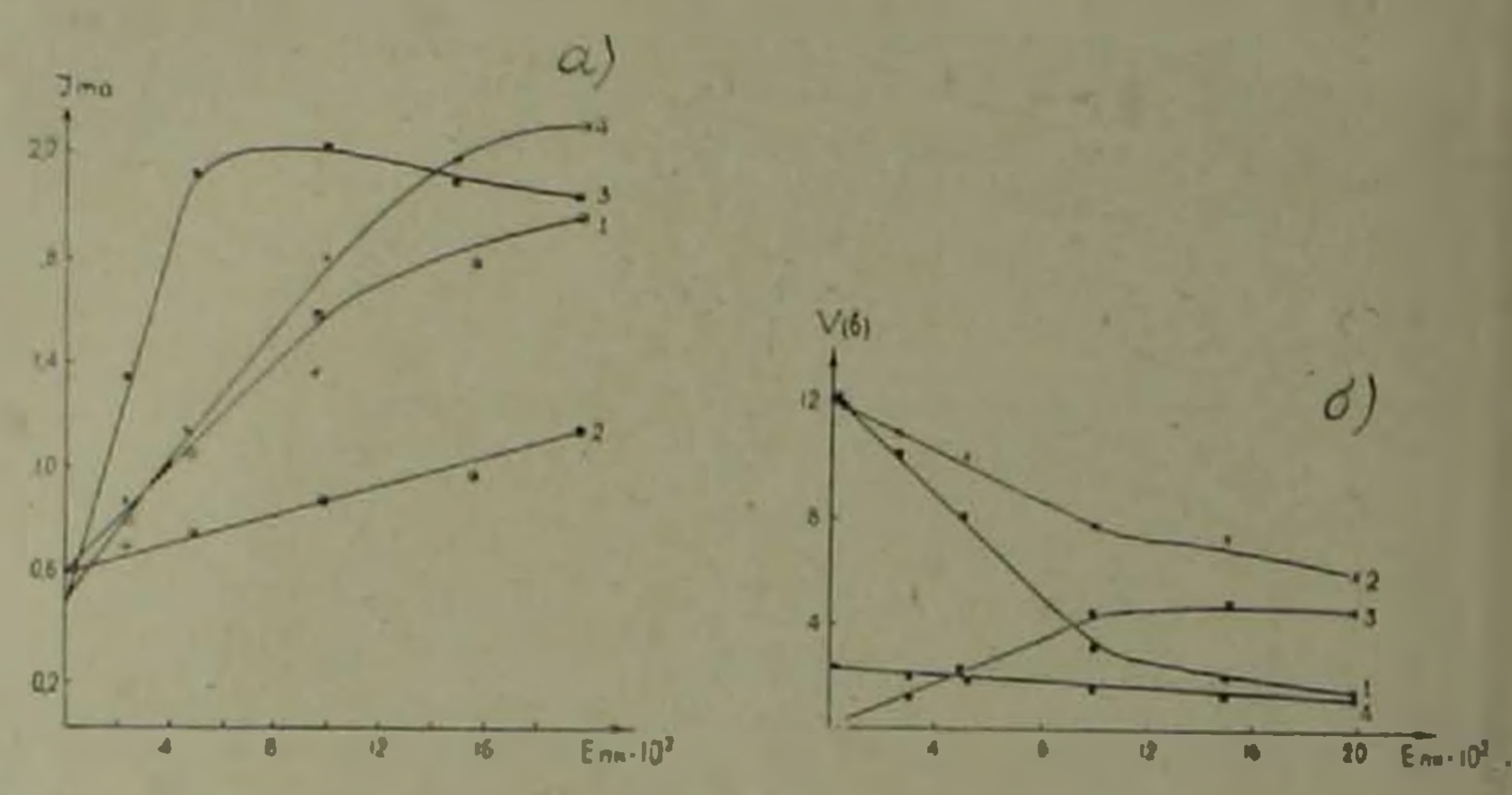


Рис 2 a зависимость $I_{\text{пор}}$ и $I_{\text{ср}}$ от E. I и 3 — для диодов без гистерезиса в темноте при освещений со стороны n злектрода; 2 и 4 то же при свещении со стороны p .

— зависимость $V_{\rm cp}$ от E. I — для освещения со сторены n^+ ; 2 — тая p+; $-V_{\rm cp}+-V_{\rm cp}$;

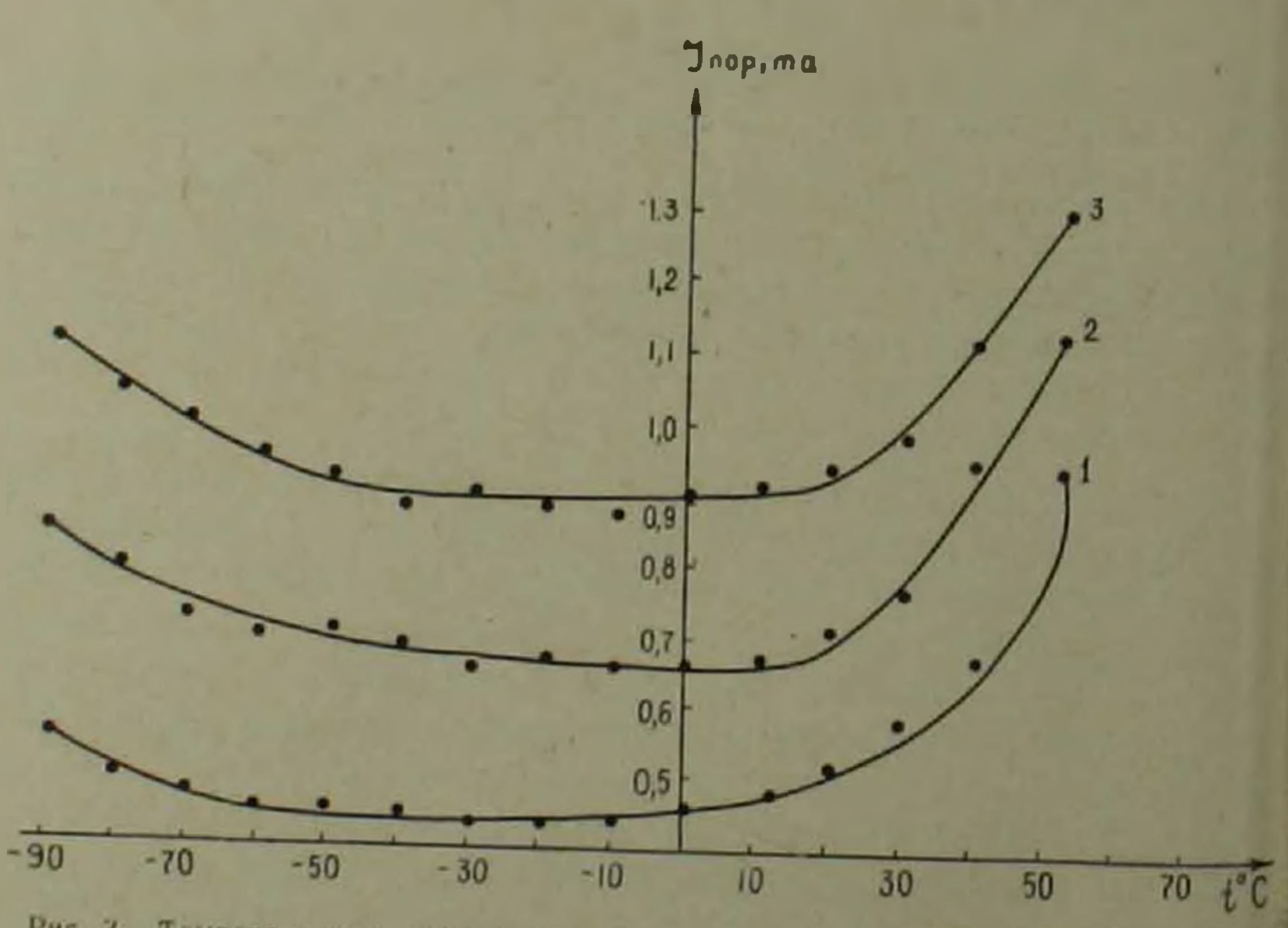


Рис. 3. Температурная зависимость $I_{\rm nep}$ от E. I-E=230 лк, 2-E=130 лк, 3-E=10 лк

Исследования диодов первой партии показали, что величина $I_{\text{пор}}$ зависит, как от температуры, так и от величины освещенности (рис. 3). В частности, было выявлено, что в области температур от ± 10 С до— 90° С величина $I_{\text{пор}}$ слабо изменяется, тогда как при нагревании диодов $I_{\text{пор}}$ возрастает (рис. 3, кривая I). С увеличением уровня освещенности $I_{\text{пор}}$ возрастает во всем температурном диапазоне по сравнению с величиной $I_{\text{пор}}$ взятой при E=0.

Переключение с левой ветви на правую ветвь гистерезиса происходит по нагрузочной кривой. Напряжения, при которых происходят переключения $V_{\rm oct}$, слабо зависят от E (уменьшение $V_{\rm oct}$ порядка 1—1,5 в). В работах (12,11) авторы указывают на уменьшение величины $V_{\rm cp}$ в зависимости от E. В случае исследуемых нами диодов $V_{\rm cp}$ также убывает с ростом E (рис. 2,6). Однако уменьшение $V_{\rm cp}$, для реализуемых способов освещения, происходит по-разному. При освещении со стороны n контакта (рис. 2,6 кривая 1) величина $V_{\rm cp}$ меньше, чем в случае освещения со стороны p контакта (рис. 2,6, кривая 2) при фиксированных значениях E (рис. 2,6, кривая 3). Это различие в величинах $V_{\rm cp}$ наблюдается во всем дивназоне изменения освещенности.

Однако действие светового возбуждения проявляется не только в появлении гистерезиса на ВАХ, но и на закономерностях ВАХ. Необходимо отметить, что на ВАХ появляется участок с сублинейной зависимостью. ВАХ укладывается в закономерность вида $I = AV^n$, где n = 1 (1; 1,5; 2) на всей ВАХ без освещения Однако под действием света на ВАХ появляется участок, где n = 0.5. Этому участку предивествует участок с n = 1 (9). С увеличением тока через диод сублинейная зависимость сменяется суперлинейной для диодов первой партии

Для диодов II партии различие в способе освещения приводит к тому, что при освещении со стороны n контакта сублинейность на ВАХ наблюдается при малых величинах освещенности (до 500 $n\kappa$), с увели чением E сублинейность сменяется линейной, или близкой к ней зависимостью, а n принимает значение n=1; I, 2, на всей ВАХ При освещении же со стороны p сублинейность на ВАХ наблюдается при всех величинах E, реализуемых в нашем случае.

Шиур тока, т. е. физический канал тока внутри толици п/п имеет свои минимальные размеры. Они носят название удвоенной ширины стенки шнура (16). Когда удвоенная ширина стенки превосходит ширину технологического канала (который обусловлен особенностями структуры базы—ее неоднородном легированием и компенсированием, дефектами, дислокациями, размерами тылового контакта и т. д. (17)), то шнур естественно не возникает. Одна-ко ширина стенки также, как и диффузионная длина неосновных носителей, как мы считаем, может меняться с током Как воказано в (16) ширина стенки экспоненциально убывает с ростом диффузионной длины в уменьшением толицины высокоомной базы приборов. Следовательно, при изменении этой длины с током, в частности, при се увеличении мы должны ожидать резкое уменьшение ширины стенки. Попытаемся по-

нять с этой точки зрения некоторые наши экспериментальные данные Во-первых, исходя из вышесказанного можно понять почему у одиту диодов нет гистерезиса, но есть вертикаль, а у других есть и гистерезис и вертикаль. Мы, естественно преднолагаем, что в наших диодах имеет место шнурование тока. Тогда если есть и вертикаль и гистерезис, то это значит, что ширина технологического канала всегда больше удвоенной толщины стенки шнура. Это значит, что все свойства шпура могут себя проявить при этом, в том числе и гистерезис, который наблюдается при достаточно малых токах (меньше тока срыва). Иное следует ожидать, если при малых токах (меньших тока срыва) удвоенная ширина стенки шпура больше ширины технологического канала. Тогда при этих токах по существу нет шнура, а поэтому мы и пе наблюдаем гистерезисных явлений.

Но поскольку мы приняли, что ширина стенки шнура зависит от тока, а именио, резко уменьшается с ростом тока, го возникновение шнура тока на участке отрицательного сопротивления все же возможно и начинается именно с той точки ОДС, где уже ширина стенки (в связы с ростом тока) становится меньше ширины технологического канала. Эта точка не обязательно находится вблизи тока срыва, а может быть на конечном расстоянии от нее. Таким образом к моменту переходы диода по характеристике в точку $I_{\rm отс}$ может сформироваться достаточно узкий шнур, ширина которого (будучи уже заметно меньше технологического канала) будет возрастать с ростом полного тока, что проявляется в наличии вертикали на ВАХ.

Предлагаемая модель не исключает, а скорее всего допускает появление гистерезисных явлений и в этом случае, но при токах больших тока срыва.

Обратимся теперь к случаю формирования шнура и гистерезиса в условиях освещения. При освещении происходит частичная раскомпенсация материала, при этом диффузионная длина может возрасти так что и при малых токах (меньших тока срыва) ширина стенки шнура станет меньше ширины технологического канала. В то же время сам ток срыва зависит от освещенности и возможны такие ситуации, когда токи при которых возникает шнур будут ниже нового тока срыва, но выше его старого значения. В этих условиях так же возможно возникновение гистерезисных явлений при токах, меньших как нового, так и старого, в принципе, уср.

Исходя из полученных экспериментальных данных и тех теоретических представлений, которые развиты в (8-11) можно предположиты что отсутствие гистерезиса при обратном ходе прямой ветви ВАХ не означает того, что в базе приборов не происходит шиурование тока. В пользу этого предположения свидетельствуют изложенные выше представления, которые вытекают из работ (8-11-15).

Сравнивая поведение $I_{\text{пор}}$ в нашем случае с результатами работ (11.15) можно отметить, что в них величина $I_{\text{пор}}$ также изменяется в зависимости от величины и ориентации магнитного поля. В частности авторы (16) наблюдали уменьшение величины в продольном магнитном

поле. Авторы (17) описывают деформацию шнура тока под действием светового излучения.

В заключение авторы считают своим приятным долгом выразить благодарность Л. Б. Арамяну за помощь в изготовлении диодов.

Институт раднофизики и электроники Армянской ССР

Հայկական ՍՍՀ ԳԱ բղբակից ասդամ Դ. Մ. ԱՎԱԳՅԱՆՆ, Ս. Գ. ԳՈԼՄԱԶՅԱՆ

Արծաթով միախառնված ո-սիլիցիումային Տ-երկէլեկտրողներում հոսանքի թելի մի քանի ճատկությունները

արությունը, որոնց թնուքաղծնրում հիստնրեցին կախվածությունները (այսինքն այն հոսանրի, որոնց բնուքաղծնրում հոսանքի թելը քայքայվում է) լուսավորվածու- ությամբ հիստնրեզիսի առաջացման հնարավորությունները։ Տրվում է երկէլեկտրոդային սարքերում հոսանքի թելի առաջացման որակական բացա-

ЛИТЕРАТУРА — ЭРИЧКЪПБРЗИБЪ

¹ I Melngailis, A. G. Milnas, J. Appl. Phys. 33, 995, 1962, ² 11. B. Baphanos, Н. А. Сондзев жін. В П. Сондавь кий, В. И. Стіфзев, Тезисы докладов на III. Всесоюзном совеща ин по физич. явлениям в р-л переводах, Тонлиси, 1966 2 4 М Barnett, A. G. Milnes, J. Appl. Phys. 37, 4215, 1966 4 F. H. Березин, A. H. Ромин и. В 17 Сондаевский, В. В. Уздоевский, ФТП 7, 4, 738, 1973. 5 Т. Fukam, К. Homms. Парап. 1. Appl Phys. 2. 535, 1963. * А. В. Вэлков, Ш. М. Козан, УФН, 934, 633, 1968. 3 14 В. Варламов, В. В. Осипов, ФТП, 7, 950, 1969. 3 В. В. Осипов. В А Холоднив, ФТП 1, 7, 1216, 1970. • Г. М. Авакочии, Д. Г. Долмазян, Э. А. Хазарджян, Тезисы одесского совещания по глубоким центрам и п.п. 6. Олесса, 1972 10 А. А. Лебевев, А. Г. Мамадолимов, Ш. Махкалов, ФТП, 6, 11, 2198, (1972). 11 Б. М Болтакс. Сюн-Ши Инь. ФТТ, 2 11, 2682 (1960) 11 В Н. Стафеев, ФТТ, 5 11, 3055 (1963). 13 А. А. Лебедев, А. Т. Мамидалимов, А. Н. Султанов. ФТП, 5, 1, 22 (1971). 14 В. В. Осипов. В. А. Холоднов, ФГП, 7. 5, 886 (1973). 15 Г. М. Авакьяни. А. А. Степанов. Р. С. Барсегин. С. П. Мовчан. ЦАН Ари. ССР., П., 5, 257 (1971) 14 И. В. Вармимов. Э. А. Помторацкий, В. П. Сондаевский, ФГП, 3 365 (1969). 13 М. Е. Алексеев, И. В. Варламов, Э. А. Полторицкий, В. П. Сондасвекий, ФТП, 12, 1787 (1969).

LIX

1974

•3

УДК 539.3

ФИЗИКА

Г. П. Алоджанц, Л. Ш. Григорян, член-корреспондент АН Армянской ССР Г. С. Саакян, Э. В. Чубарян

К вопросу об образовании п-конденсата в ядерном веществе

(Представлено Г. С. Саакином 17/V 1974)

Известно, (¹) что при плотностях порядка ядерной в среде вместе с нуклонами и электронами могут быть и ∑⁻ сипероны. Появление в вырожденной ядерной материи гиперонов обусловлено принципом Паули и минимумом энергии ее основного состояния. Соответствующие расчеты (¹) нельзя считать окончательными, ибо не известно точное значение энергии взаимодействия между разными видами барионов. При этих плотностях имеется возможность возникновения и π-конденсата, правда, с той же неопределенностью в знании взаимодействия между барионами. Нам кажется, что в настоящее время трудно одновначно утверждать, какая альтернатива реализуется в природе.

Впервые на возможность образования π -конденсата при ядерной плотности было указано в работе (2). Позже этот вопрос исследовался так же в работах (3-4). В упомянутых работах рассматривались π -мезоны в состояниях описываемых либо бегущей, либо стоячей плоской волной. С таким представлением связаны некоторые трудности (появлежие больших прямолинейных макроскопических токов и определенная неувязка с центрально-симметричным распределением масс). Поэтому представляется интересным исследовать возможность образования других типов π -конденсата, например, конденсата с определенным моментом и энергией.

Рассмотрим образование — - конденсата в состоянии, описываемом волновой функцией

$$\varphi_{\pm} \sim \sum_{|\vec{k}| \sim k_0} \alpha_{\vec{k}} |\vec{k}|, \tag{1}$$

где амплигуда плоской волны |k>, а суммирование при фиксированиом означает, что значение энергии у π^- мезонов считается определенным. Необходимое условне образования π^- конденсата

$$E_{z} \leqslant E_{1} \tag{2}$$

$$E_1 = \sum_{\vec{p}, s} \frac{p^s}{2m} \tag{3}$$

энергия вырожденного идеального нейтронного газа с заданным числом частиц N, а

$$E_2 = \langle \psi_2 | \hat{H} | \psi_2 \rangle. \tag{4}$$

где | ½> основное состояние системы при наличии = -конденсата,

Н соответствующий гамильтониан. Знак равенства ъ (2) соответствует порогу появления в среде = мезонов. Как и в работах (³ ¹), мы будем учитывать взаимодействие нуклонов только с = − мезонами из кон тенсата и применим приближенный метод среднего поля.

При интересующих нас плотностях нуклоны являются нерелятнистскими. Поэтому, оператор взаимодействия можно будет записать в виде

$$H_i = -\frac{F}{m} \int \psi_N \sigma \, \tau \psi_N \, \nabla \, \Phi_r \, d \, v, \tag{5}$$

где f=1,1 h=c=1,3 оператор спина, а с оператор изоснина. Полагая, что число с — мезонов велико, получим (метод среднего поля)

$$H_i = -\sqrt{2} \frac{F}{m_e} \int \psi_{\mu}^+ = \psi_{n\nabla} = dv + \text{s. c.}, \tag{6}$$

где

$$z_{-} = \frac{1}{\sqrt{2w_{k_0}}} \sum_{|\vec{k}| = k_0} \alpha_{\vec{k}} |\vec{k}\rangle, \qquad \sum_{|\vec{k}| = k_0} |\alpha_{\vec{k}}|^2 = xN. \tag{6'}$$

Здесь x — концентрация = — мезонов, а $w_k = l (k^2 + m^2)$ — энергия = — мезона.

Подставляя в (6) разложения

$$\psi_{p} = \sum_{n} b_{n} | P \rangle, \qquad \psi_{k} = \sum_{n} C_{Q} | Q \rangle,$$

где P и Q символическая запись импулься и спина частицы $P \equiv (P,s_p)$ и $Q \equiv (q,s_n)$, получаем

$$H_l = \sum_{\rho} [M_{\rho,Q} b_{\rho}^+ C_Q + \text{s. c.}],$$
 (7)

где

$$M_{P,Q} = i \frac{1}{m - \sqrt{m - 1}} \qquad \langle s_p | \circ (q - p) | s_n \rangle \tag{7'}$$

Легко убедиться в том, что рассмотрение состояния (1) вместо плоских воля, не изменяет порога рождения частиц и их конденсацию. Так в (6') $|\mathbf{z}_k|^2 x N'$ представляет собой вероятность обнаружить все $x N \pi$ —мезонов в состоянии, описываемом волновой функцией k. В соответствии с этим энергию конденсата можно оценить по формуле

$$E_c \approx \frac{1}{xN} \sum_{\substack{k \\ k} - k_0} |\alpha_k^+|^2 E_c^+(k),$$
 (8)

где E(k)—энергия конденсата с определенным значением импульса (плоская волна). Поскольку E функция от k а в (8) суммирование производится голько по направлениям k, то E можно вынести из под знака суммы. Таким образом, энергия конденсата не зависит от волновой функции (1) и совпадает с результатом случая бегущей волны, рассмотренным в (4):

$$E_c \approx \left| \frac{w_{k_0}}{2m} + \frac{k_0^2}{2m} - 2 \frac{Fk_0}{m_-} \right| \left| \frac{N(1-x)}{w_{k_0}V} \right| x N.$$
 (9)

По сути дела в оценке (8) предполагается, что π -конденсат представляет собой смешанный ансамбль с различными направлениями импульса. Очевидно, энергия основного состояния должна быть виже (9). Отсюда для порога рождения получается $n_c \approx 2.5 \cdot 10^{38} c.u^{-3}$ (4)

Наиболее общий вид волновой функции системы с гамильтони апом взапмодействия (7) есть

$$|\psi_{2}\rangle = \prod_{P} \sum_{R} (v_{R} p b_{R} + u_{R} p C_{R}) |0\rangle , \qquad (10)$$

где пол |0> мы подразумеваем волновую функцию состояния, в котором нет нуклонов, но имеется xN= мезонов, а u_{RP} и v_{RP} набор пока не определенных коэффициентов, образующих две матрицы

и и v. Знергию конденсата E_c можно оценить вариационным методом Хартри-Фока-Боголюбрза (5). Рассмотрим специальный тип квязисостояний 3 и попределяемых соотношениями

$$C_P = \sum_{R} (u_{P,R} \beta_R + u_{P,R_{+R}}).$$

$$C_P = \sum_{R} (-v_{P,R} \beta_R + u_{P,R_{+R}}).$$
(11)

Подставляя (11) в (10), можно вычислить энергию системы (4).

Затем, минимизируя полученное выражение по матрицам и и v, получаем энергию конденсата $E_c=E_a-E_1$, которая в случае малых л принимает вид (a):

$$E_{c} \approx \sum_{|\vec{k}| = k_{0}} |x-\vec{k}|^{2} w_{k_{0}} - \frac{Fk_{0}}{m_{e}} \sqrt{\frac{N}{w_{k_{0}}V}} \sum_{|\vec{k}| = k_{0}} |x^{*}|^{2} \sum_{|\vec{k}| = k_{0}} |x_{0} + x^{*}|^{2}$$
(12)

Однако, (12) дает завышенное значение E_c , истинное значение оказывается ниже. В самом деле, подставляя в (12) $z_k = \sqrt{xN} \, \delta_{k}$, $\frac{1}{k^2} \, \frac{1}{k^2} \,$

Правда, путем частичного видоизм нения (11) можно прийти к последнему результату (4). Выбирая волновую функцию удовлетворяющей требонанию (суперпозиция стоячих плоских воли), получаем

$$E_c \approx \left| w_{k_0} - 2 \frac{Fk_0}{m_e} \sqrt{\frac{N}{w_k V}} \right| x N. \tag{13}$$

Это выражение для E_c отличается от (9) (при малых x) слагаемым (k-2m)xN, что приводит к порогу

$$n_c = \frac{\sqrt{3}}{4^{\frac{2}{6}}} 3m^4 \approx 1.8 \cdot 10^{36} \, c \, \text{M} \tag{14}$$

и к пороговому значению волнового числа $k_0 = 1/2m_{\odot}$. Это значение и чуть ниже величин полученных в работах ($^{3-4}$).

Итак, в отличие от упомянутых выше работ, можно допустить образование конденсата в виде суперлозиции стоячих илоских воли по разным направлениям, в частности, образование сферической волны $-Y_{L,o}(\mathfrak{Q}_{r})$ Такое представление согласуется с симметрией надачи (сферическая нейтронная звезда). Однако, нужно иметь в виду, что учет взяимодействия между нуклонами и факт наличия в рожденного газа электронов может изменить приведенную картину. Возможно также появление = и = мезонов.

Исследованию этах моментов посвящена недавно вышедшая работа(1).

Ереванский государственный университет

Գ. Պ. ԱԼՈՋՅԱՆՑ, - Լ. Շ. ԳՐԻԳՈՐՅԱՆ, Գ. Ս. ՍԱՀԱԿՅԱՆ, Է Վ. ՉՈՒՐԱՐՅԱՆ

Միջուկային նյութում - կոնդենսատի առաջացման հարցի վերաբերյալ

ալիջալին ֆունկցիալով, որտեղ է և և> հարք ալիքի ամպլիտագն է, իսկ և-ն ֆիրաված այիյալին թիվ։

JEHTEPATYPA - SPULLULIUM PESOLU

1 Г. С. Санкин, Равновесные к пфигурации вырожленных газопых масс. "Наука" 1972. З А. Б. Мигдал, ЖЭТФ, 61, 2209 (1971), З R, F. Suwyer, Phys. Rev. Lett. 29, 382 (1972). З D. J. Scalopino, Phys. Rev. Lett. 19, 386 (1972). З В. Г. Соловьев. Теория свожных ндер, "Наука", 1971. " Л Ш. Григорян, Уч. записки ЕГУ 1974. Л. Б. Мигдал, О. А. Маркин, И. Н. Мишустин, ЖЭТФ, 66, 443 (1971).

УДК 551 50

МЕТЕОРОЛОГИЯ

А. М. Мхитарян, А. С. Саакян, А. С. Акопян

Контуры теплового баланса территории Армянской ССР

[Представлено академиком АН Армянской ССР Г. С. Давтяном 25/111 1974]

Как известно, уравнение теплового баланса для подстилающей поверхности имеет вид

$$R = P + LE + B, \tag{1}$$

где R — радиационный баланс, P — вертикальный турбулентный тепло обмен подстилающей поверхности с атмосферой, LE — затрата тепла на испарение, B — теплообмен в почве.

Теплообмен в почве представляет собой изменение теплосодержания деятельного слоя почвы. Для больших интервалов времени его величина приближается к нулю, поэтому для годовых сумм уравнение (1) принимает вид:

$$R = P + LE. \tag{2}$$

Вопросами изучения отдельных составляющих теплового баланса для территории Армянской ССР занимаются, начиная с 1956 г. (1-3 и др.), однако замыкание уравнения теплового баланса до сих пор не про-изведено. Цель настоящей статьи—замыкание этого уравнения.

Отметим, что определение величии составляющих теплового баланса в горных условиях связано с большими трудностями. Если зависимости, полученные для равнинных условий, можно распространить на значительную территорию, то в горных условиях этого сделать невозможно.

Расчет раднационного баланса для территории Армянской ССР выполнен в работе (2) по формуле

$$R = (Q + q)(1 - A_0) - E_{\text{min}}$$
 (3)

где Q+q суммарная радиация, A_0 альбедо подстилающей поверхности, $E_{\rm up}$ эффективное излучение, определяемое формулой

$$E_{sp}^{\pm} E_{o}(1-cn^{m}) + 47 \pi T^{3} \Delta T. \tag{4}$$

Здесь E_0 —эффективное излучение безоблачного неба, c, δ , m некоторые коэффициенты, σ —постоянняя Стефана Больцмана, ΔT = $T_0 - T_2$ —разность температур поверхности почвы и воздуха.

Для определения следующей составляющей теплового баланса, затраты тепла на испарение, были обработаны многочисленные материалы, накопленные за последние десятилетия по испарению с почвы по испарителям ГГН 500—50, по температуре и осадкам, продуктивной влажности, испаряемости и т. д. На основании этих материалов уточнена методика расчета испарения с суши в горных условиях, которая и была применена для контрольных расчетов (1). В результате была установлена зависимость испарения Е от осадков г и температуры возлуха 1 в следующем виде (1):

$$E = (r + \overline{A}) \exp [-b(T-t)^2].$$
 (5)

где A и b некоторые параметры; r+A максимально возможное испарение при температуре t=T. При отсутствии осадков (r=0) и t=T, E=A, величина A зависит от влажности почвы и температуры T. При T=40 A=50 им, T=30 A=40 им и т. д.

Здесь Т—максимально возможная средняя месячная температура воздуха для данной территории. По этой формуле рассчитано испарение для территории Армянской ССР, построены карты суммарного испарения,

Для расчета потока тепла в почву существуют различные методы. Однако расчеты по этим методам не дали удовлетворительных результатов. А. Р. Константиновым (4) построены графики определения потока тепла в почву по температуре и влажности воздуха. На основе этих графиков, определены месячные величины потока тепла в почву для территории Армянской ССР. Результаты этих расчетов приведены в научном отчете Ереванского отдела ЗакНИГМИ 1971 г. по теме «Метеорологическое обоснование сроков и норм полива в горных условиях».

Последний из основных членов теплового баланса—турбулентный теплообмен подстилающей поверхности с атмосферой, был рассчитан для теплого периода времени, с мая по сентябрь, по формуле

$$P = c_{p} \circ D \Delta T, \tag{6}$$

где для определения коэффициента диффузии *II* была использована формула (⁵)

$$D = D_0 e^{c(H H_0)}. \tag{7}$$

Здесь H—высота местности над уровнем моря в километрах. $H_0=0.45~\kappa M$ —высота, где D равняется D_0 . Значения D_0 и c приведены в табл. 1.

Полученная связь применима в интервале высот 0,45 H 3,23 κ и. По отдельно рассчитанным элементам можно теперь приступить к замыканию уравнения теплового баланса (1). Обозначим «невязку» уравнения (1) через Δ и перепишем его в виде

$$\Delta = R - (LE + P + B). \tag{8}$$

Очевидно, что если все составляющие теплового баланса опреде-

Значения параметров формулы (7)

	V	VI	VII	VIII	IX	год
D_0	0,87	0,72	0,76	0,64	0.62	1,06
C	0,69	0,69	0,53	0,65	0,59	0.60

лены с достаточной точностью, то Δ должна быть малой величиной Результаты расчета по формуле (7) показали, что уравнение теплового баланса хорошо замыкается для годовых сумм составляющих теплового баланса, также для июня и июля. По данным за май получаются несколько большие отклонения, преимуществению с положительным знаком, что означает, что $P_{\rm p} < P_{\rm 0}$, где $P_{\rm 0}$ и $P_{\rm 0}$ значения турбулентного теплообмена, рассчитанные по формуле (6) и как остаточный член уравнения (1), соответственно.

То же показали кривые распределения невязки и общие суммы процентов отклонении. В мае, июне, августе, сентябре получилась положительная небольшая сумма, в июле—отрицательная, т. е. в отдельные летиие месяцы и в среднем для года $P_{\rm p}=P_{\rm d}$.

Отметим, что средние по республике значения R, LE и P=R-LE за год, полученные планиметрированием отдельных карт этих элементов, достаточно хорошо совпадают со средними арифметическими значениями составляющих элементов по данным всех пятидесяти метеостанций, использованных при составлении карт. Так что, за среднее значение данного элемента для территории Армянской ССР можно принять среднее арифметическое значение данных этих метеостанций. В среднем для всей территории Армянской ССР путем планиметрирования соответствующих карт годовых сумм получено R=56.9, LE=23.9, $P_6=33.4$ ккал'см² год $(P_p=29.6)$, т. е. в целом по республике 42% радиационного баланса тратится на испарение, 58.96 на турбулентный теплообмен.

Следует указать, что путем планиметрирования карты испарения получено, что в среднем по республике испарение, без учета орошения, составляет 392 мм в год, что так же хорошо совпадает с величиной затрат тепла на испарение— 1. Е = 23,9 ккал/см²год или 398 мм/год.

Был построен годовой ход элементов теплового баланса для отдельных станций и в среднем для всей территории Армянской ССР, последний представлен на рис. 1. Результаты расчета показывают, что для большинства станций тепловой баланс достаточно хорошо замыкается.

В табл. 2 приведены средние месячные значения составляющих теплового баланса для всей территории Армении и их отношения.

На рис 2 приведена зависимость отношений P/R и LE/R от высоты местности в мае, июле и сентябре. Из этого рисунка видно, что LE/R с высотой уменьшается, а P/R —наоборот, увеличивается.

В разные месяцы затрата тепла на испарение и турбулентный теплообмен становятся равными на разных высотах. Как показали расчеты годовых величин, в среднем на высоте 700 м они одинаковы

Таким образом, хотя в среднем по республике, как уже говори-174 лось, турбулентный теплообмен больше затрат тепла на испарение, виже 700 м над уровнем моря наблюдается обратная картина.

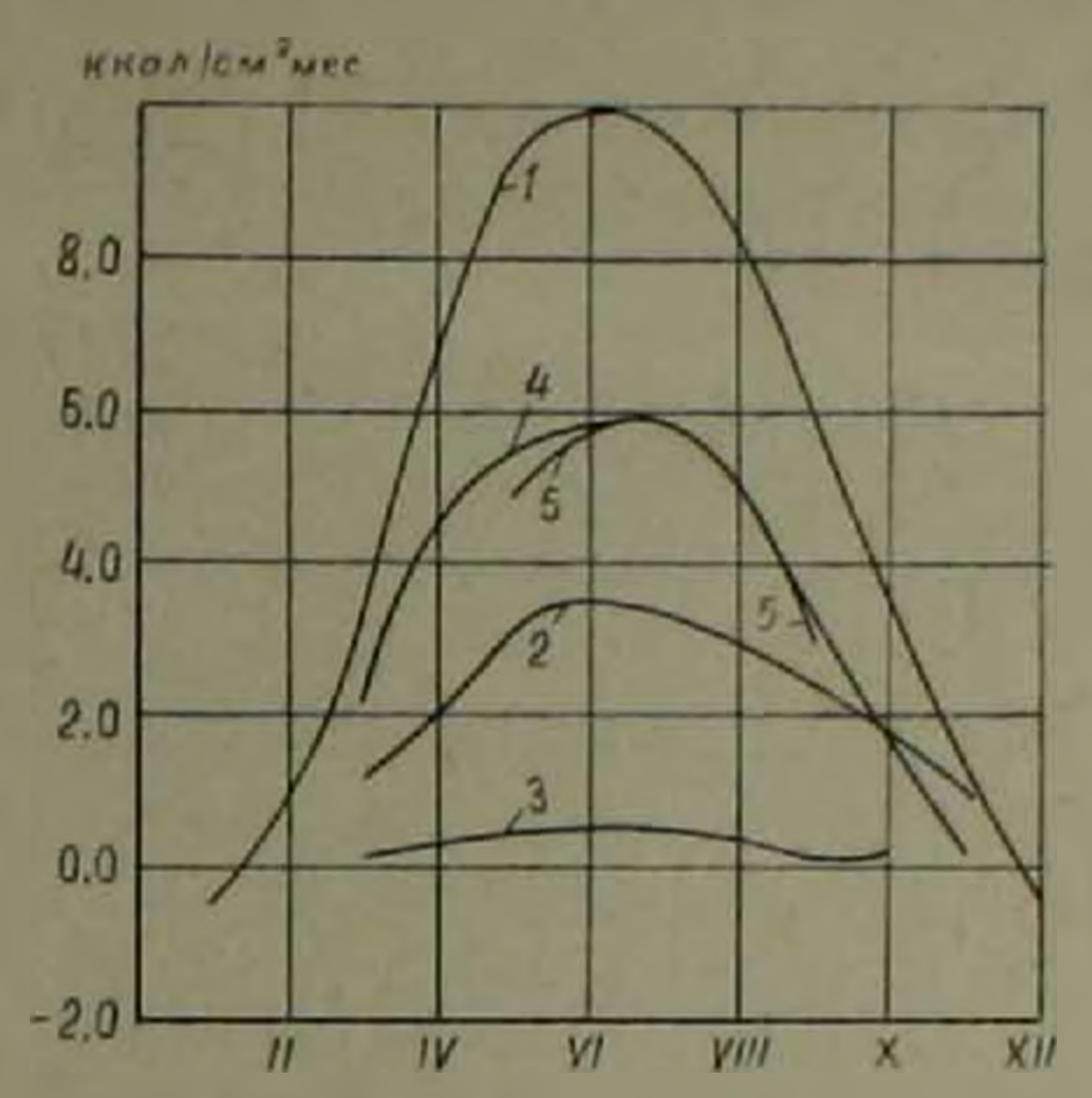
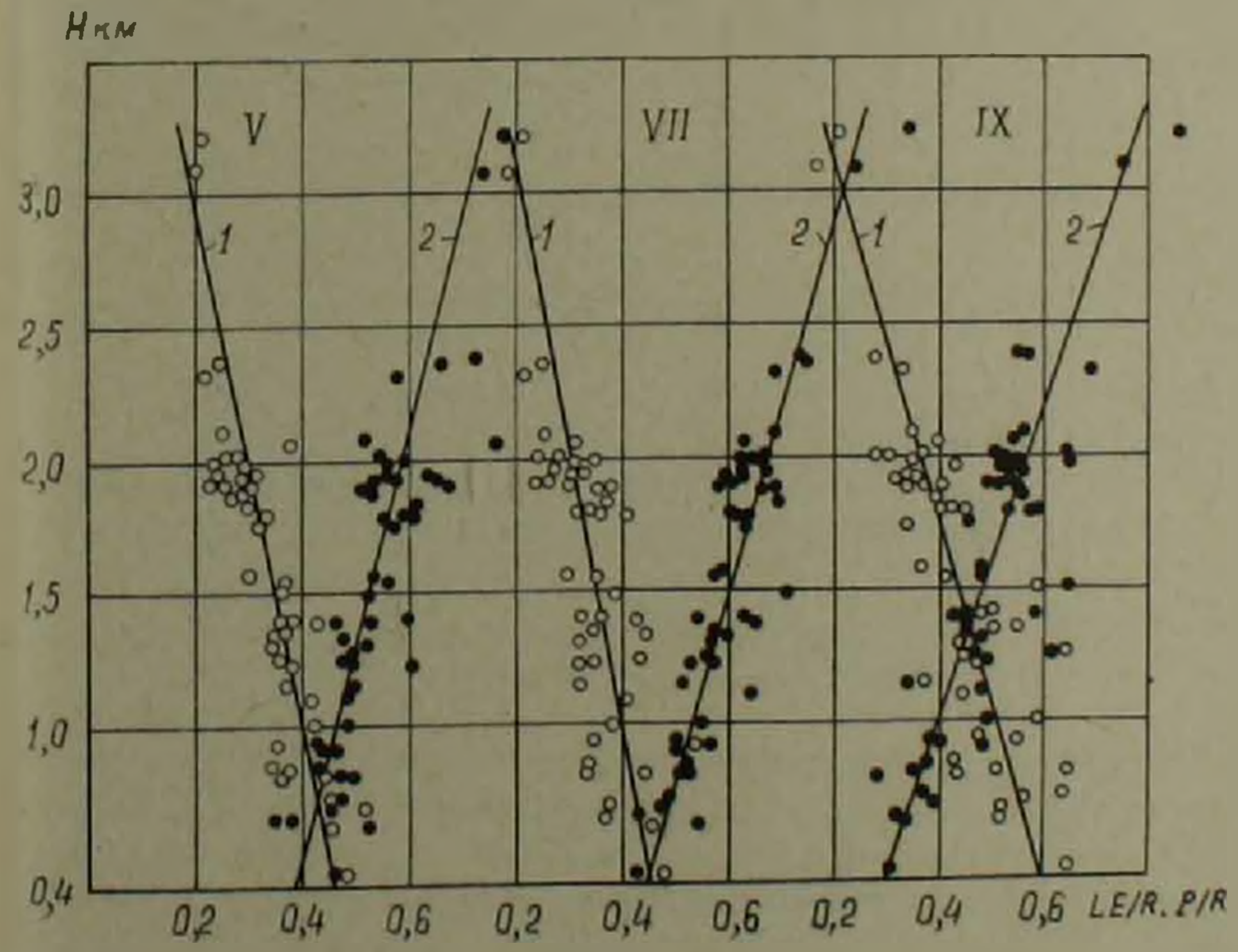


Рис. 1 Годовой код элементов теплового баланса в среднем для всей территории Армянской ССР 1—радивиновный баланс; 2—затрата тепла на испарение; 3—теплообмен в почве; 4—турбулентный теплообмен, рассчитанный по фалансу; 5—турбулентный теплообмен, рассчитанный по формуле (6)



Pис. 2. Зависимость отношений LER (1) и P_iR (2) от высоты местности

Что касается зависимости отношения Боуена (*P/LE*) от высоты то расчеты показали, что оно с высотой увеличивается по линейному закону, с коэффициентом корреляции не менее 0,78 в различные меся цы.

Построен также годовой ход отношений P/R, LER и PLE по данным некоторых ведущих метеостанции и для средних по республике значений (рис. 3).

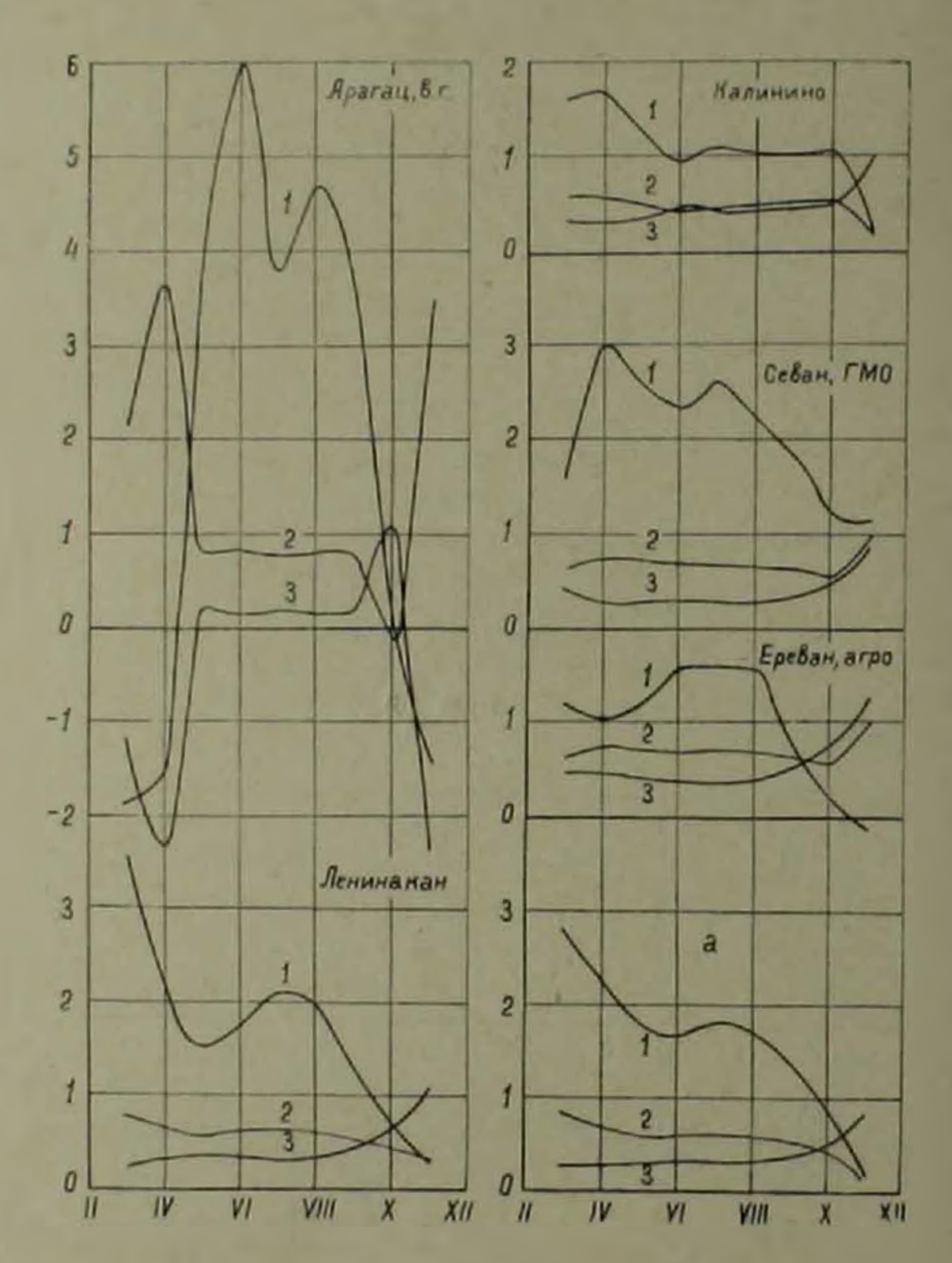


Рис 3 Годовой ход отношений Р LE (1), Р R (2) и LE R (3) для различных метеостанций и в среднем для всей территории, (a).

В результате установлено, что за исключением высокогорнов станции Арагац, где из-за малости значений P, R и LE весной и осенью флуктуация указанных отношений получается большой, и остальных станциях отношения P/R и LE/R остаются почти посто-

средние месячные значения радиационного баланса (R), датрат тепла на испарение (E), турбулентного теплообмена с атмосферой (P) и теплообмена в почве (B) по исей территории Арминской ССР в ккал/см² и из отношения

	111	IV	V	VI	VII	VIII	1X	X	XI	roı
R LE	3.5	6.7	9.3	9.9	9.7	8:4	5.9	3.6	1.3	57
PB	3.1	4.6	5.6	5.8	5.9	5.1	3.2	1.7	0.2	24 33
LE/R	0.31	0.30	0,33	0.35	0.34	0.1	0.1	0.53	0.1	0.42
BR	0.05	10.0	0.05	0.01	0.06	0.05	0.02	0.47	0.15	0.59
PR BR PLE	0.89 0.05 2.82	0.69 0.04 2.30	0.67	0.59	0.61	0.61	0.54	0.47		0.15

янными до сентября, после чего уменьшаются или увеличиваются Отношение P/LE имеет два максимума в годовом ходе на станциях Арагац, в. г., Севан, Калинино—в апреле и июле. По данным всех метеостанций (кроме Еревана), в июне имеется минимум (на Арагаце, в г.,—в июле) и через месяц—максимум Можно полагать, что эти последующие друг за другом минимум и максимум наблюдаются на многих метеостанциях, что прослеживается на хривой 1 рис. 2(а) который построен по средним значениям данных всех пятидесяти метеостанций.

Таковы основные черты территориального и внутригодового распределения составляющих теплового баланса территории Армянской ССР.

Ереванский отдел ЗакНИГМИ

Ա. Մ. ՄԽԻԹԱՐՅԱՆ, Ա. Ս. ՍԱՀԱԿՏԱՆ, Հ. Ս. ՀԱԿՈՐՅԱՆ

Հայկական ՍՍՀ-ի տաբածքի չեռմային ճաշվեկչոի ուշվագծեւ

սարման յուծումից ստացած բանաձևով։

Հայաստանի տարածքի հիսուն օդերևութաբանական կայանների տվյալ
ներով հաշված են օդի և ծածկույքի միջև տուրրուլենտ չերմափոխանակու
իյան արժեքները՝ ջերմային հաշվեկշոի հավասարումից անկախ մեքողով,

հավա-

Հողվածում ցույց է տրված, որ ստացած արդյունքները բավարարում են ջերմային հաշվակոր հավասարմանը, գործնական հաշվարկների համար ընդունելի ձշտուքյամբ։

Ստացված է ջնրմային հաշվնկչոի թաղադրիչների և նրանց հարաբնրու-Սյունների (մասնավորապես Բոուենի գործակցի) կապը տեղանքի բարձրու-Ոյունից։

Տրված է այդ թաղադրիչներ<mark>ի, ինչպես և Ն</mark>շված հարաբերությունների

ЛИТЕРАТУРА — ЭГЦЧЦЪПБРВИБЪ

Влаго- и теплообмен над водосмами и сушей в горных условиях. Под редакцие Мхитаряна А. М. Труды ЗакНИГМИ, вып. 29 (35), 1969. ² Р. А. Карташян. А. М. Мхитарям, Труды ЗакНИГМИ, вып. 39 (45), 1970. ³ А. М. Мхитарям, А. С. Акопям, М. А. Догестаням, Труды ЗакНИГМИ, вып. 51 (57), 1972. ⁴ А. Р. Константинов, Л. И. Сакоми, Н. И. Гойса, Р. Н. Олеймик, Тепловой и водный режим Укранны, Гидрометеоиздат. 1., 1966. ⁵ А. М. Мхитарям, А. С. Саакям, ДАН АрмССР, т. LVII, 1973. ⁸ М. И. Будунка Тепловой баланс земной поверхности, Гидрометеоиздат, Л., 1956. ⁷ Э. М. Шихлинский Тепловой баланс Азербайджанской ССР, Издательство «ЭЛМ», Баку, 1969.

ДОКЛАДЫ АКАДЕМИИ НАУК АРМЯНСКОЯ ССР

1.1X 1974 3

УДК 577.17

БИОХИМИЯ

Член-корреспондент АН Армянской ССР А. А. Галоян, Р. О. Карапетян

Влияние соматостатина на окислительное фосфорилирование в митохондриях сердца, гипоталамуса, почек и печени кролика

(Представлено 17/VI 1974 г.)

Соматостатии повый фактор гипоталамуса, оказывает ингибирующее влияние на секрению соматотропина аденогинофизом. Этот фактор открытый в 1972 году в лаборатории Р. Гиймена (1) является тетрадекапептидом. Предыдущие наши работы показали, что гипоталамус продуцирует нейрогормоны не только для регуляции секреции аденогипофизарных гормонов, но и гормоны, оказывающие влияние на висцеральные органы (13). Накоплен большой фактический матернал, свидетельствующий о наличии семьи нейрогормонов в гипоталамусе, регулирующих сердечную деятельность (24). Одини из нас развивалось положение, что в определенных условиях и рилизинг гормоны могут проникать из мозга в общую циркуляцию и оказывать органотропное влияние (5) и что между двумя путями регуляции (пара-и трансаденогипофизарным) имеются интимные взаимоотношения на уровне гипоталамуса и периферических эндокринных желез (6). Нами было показано, что соматостатии, введеный внутривенно в дозе 0,1-1,0 мкг на целое животное (кошки) предотвращает коронарорасширяющий эффект раздражения блуждающего нерва на уровне поджелудочной железы (7). Было также установлено, что соматостатии оказывает ингибирующее влияние на активность кислых и нейт ральных протез, пептидаз различных частей мозга и гипофиза.

В настоящей работе приводятся данные о влиянии соматостатина на эпергетический обмен в митохондриях ряда органов у кроликов. Опыты ставили на кроликах. Соматостатии растворяли в физиологическом растворе и 1 мкг на целое животное вводили в ушную вену (без наркоза). Через 20 мин после введения соматостатина животных обезглавливали и быстро отделяли сердце, гипоталамус, почки и печень Изучали окислительное фосфолирование в митохондриях вышеуказанных органов. Для изучения примого влияния соматостатина на окислительное фосфорилирование в митохондриях на каждую пробу добавляли 0,05 мкг соматостатина. В контрольных опытах вместо соматостатина вводили физиологический раствор-

Окислительное фосфорилирование митохондрий сердца и других органов изучали методами, описанными Севериным и соавторами (1), Скулачевым (2). Митохондрии отделяли дифференциальным центрифугированием. Инкубацию проводили в сосудиках Варбурга при 26 30 мин Газовая фаза воздух Количество эстерифицированного фосфата устанавливали по разности в содержании фосфата в пробах до и после инкубации. Фосфор определяли по—Лоури и Лопез (10) Белок определяли по—Лоури (11).

Таблица I Влияние соматостатина на окислительное фосфорилирование в митохондриях сер ща кролика (О и Р в мкатомах/ме белка, $M\pm m$). Количество опытов—5

Компоненты	0	2	PO
Контроль	0.75 + 0.07	1.8 ± 0.51	
Соматостатия	0.75 + 0.11	1.03 0.06	1.3 ± 0.01
Сукцинат	2.54 ± 0.27	4.15 + 0.43	1.67 + 0.13
Сукцинат - сомато-	2.01 . 0.21	4710 1 17710	1.01 . 0.10
סטוט מו ווווזהדים	1.3 ± 0.08 P = 0.01	1.83 ± 0.28 P 0.01	1.45 ± 0.3 P < 0.5°
Сукцинат сомато			
CTATHH IN vitro	1.14 ± 0.18 P < 0.01	1.12 ± 0.2 P < 0.001	1.31 ± 0.19 P > 0.2
2 KF 2 - KI - COMATO-	3.11 + 0.16	8.68 ± 0.45	2.82 + 0.24
CTATHH in vivo	1.68 ± 0.09 P = 0.001	2.81 ± 0.31 P > 0.001	1.7 ± 0.2 P < 0.02
a - KI COMOTO-			
Claimi in vitro	1.14 ± 0.1 P > 0.001	2.36 ± 0.2 P = 0.001	1.63 ± 0.15 P < 0.01

Как видно из табл. 1 при добавлении в пробы соматостатина (без субстрата) поглощение кислорода по сравнению с эндогенным дыханием не изменяется. Эстерификация фосфата, наоборот, подавляется на 43%. При внутривенном введении соматостатина (субстрат окис ления—сукцинат) поглощение кислорода и эстерификация фосфата по сравнению с опытами, где присутствует только сукцинат, заметно подавляется на 45 и 56% соответственно, в результате чего Р/О уменьшается на 13%. Но при прямом добавлении в митохондрии сердца, при субстрате окисления сукцинате, поглощение кислорода уменьшается на 55%, эстерификация фосфата на 65,8%, а Р/О при этом уменьшается на 21,6%. Почти одинаковая картина наблюдается, когда в качестве субстрата окисления служит а -кетоглютарат: при внут ривенном введении соматостатина поглощение кислорода подавляется на 46%, эстерификация фосфора-на 68%, а Р/О на-40%. Такая же закономерность наблюдается при прямом добавлении соматостатина поглощение кислорода, эстерификация фосфата и Р/О подавляются на 54,0; 73,0 n 42,0 процентов соответственно (субстрат окисления и -кетоглютарат).

Полученные данные на митохондриях гипоталамуса показали (табл. 2), что при добавлении соматостатина по сравнению с эндогенным дыханием, поглощение кислорода почти не изменяется, в то время как эстерификация фосфата уменьшается на 30%. При внутри-

венном введении и при прямом добавлении соматостатии угнетает поглощение кислорода и эстерификацию фосфата. Если при сукцинате поглощение кислорода составляет 2,58 мкатома, то при соматостатине- снижается до 1,55 мкатома. Эстерификация фосфата от 4,95 мкатома снижается и составляет 1,4 мкатома. В данном случае Р/О от 1,95 снижается до 0,91. При прямом добавлении соматостатина в пробы, хотя эстерификация фосфата не изменяется, поглощение кислорода подавляется в 1,2—1,8 раза, при этом Р/О составляет 1,01±0,07 против 1,95±0,12. При использовании в качестве субстрата 2-кетоглютарата поглощение кислорода в митохондриях гипоталамуса подавляется в 2 раза, эстерификация фосфата в 3 раза, а Р/О в 2 раза. Такая же картина наблюдается при прямом добавлении соматостатина в митохондрии гипоталамуса.

Таблица 2
Влияние соматостатина на окислительное фосфорилирование в митохондриях гипоталамуса кролика (О и Р в *пкатомах/мк бел*ка, М±т). Количество опытов—5

Компоненты	O	P	P'O		
Контроль	0.7 + 0.08	1.37 + 0.2			
Соматостатии	0.94 ± 0.09	0.98 + 0.06	1.03 ± 0.01		
Сукципат	2.58 ± 0.32	4.95 + 0.48	1.95 + 0.12		
Сукцинат сома-					
octathe in vivo	1.55 ± 0.07	1.4 + 0.2	0.91 ± 0.12		
	P > 0.05	P < 0.001	P < 0.001		
Сукиннат + сома-					
TOCTATRIL IN VILLO	1.39 ± 0.14	1.42 ± 0.2	1.01 ± 0.07		
	P < 0.02	b < 0.001	100.0 > 4		
σ KΓ	3.13 ± 0.28	9.28 + 0.4	3.01 +0.23		
a - KI COMATO-					
статина и и ио	1.8 ± 0.06	2.87 ± 0.3	1.62 ± 0.19		
	1'>0.01	P > 0.001	P > 0.01		
- Kr + comato-					
crarun in vitro	1.46 + 0.19	2.36 ± 0.2	1.87 + 0.18		
	N_0.01	P > 0.001	P > 0.02		

Таблица 3

Влияние самотостатина на окислительное фосфорилирование в митохондриях нечени кролика (О и Р в икатомах из белка, $M\pm m$) Количество опытов—5.

Компоненты	O	P	РО
Контроль	0.7 + 0.09	1.22 + 0.25	
Соматостатии	1.81 ± 0.1	1.01 ± 0.03	_
Сукцинат	1.88 + 0.32	3.23 + 0.28	1.79 + 0.16
KKIIIIIAT- COMATO-	1100 . 0.02	<u> </u>	V 3 V 7 2
CTATHH in tites	1.31 + 0.03	1.50 + 0.3	1.2 ± 0.21
Cigilli iii Lii	P < 0.1	[1 < 0.00]	1' < 0.05
Сукцинат-4-сомате-			
tainn in vitro	1.13 ± 0.15	1.3 ± 0.2	1.14 + 0.12
	P < 0.1	P > 0.01	P ≤ 0.02
3 - KI	2.86 + 0.19	8.55 1 1.08	3.21 + 0.2
- KI - COMATOCIA-			
Thu in elso	1.63 + 0.08	2.61 ± 0.28	1.61 ± 0.15
	p < 0.01	P < 0.01	P < 0.001
-кі + соматиста-			
THE IN VIETO	1.36 ± 0.16	2.5 + 0.3	1.85 ± 0.07
101. 17. 011.0	P < 0.001	P > 0.01	P < 0.001

Влияние соматостатина на окислительное фосфорилирование в митолондрад почек кролика (О и Р в мкатомах/ме белка, М · м). Количество опытов 5

Компоненты	0	P	F.0
Контроль	0.69 + 0.09	1.01 + 0.01	
	U-96 T 0-14	1.03 + 0.06	1.07 ± 0.01
Сонатостатии	The state of the s		1.75 + 0.22
Сухцинат	1.92 + 0.23	3.23 + 0.23	1.10 1 0.55
Сукцинат + сомато-		9 20 9 9 70	1 00 0 14
CTATHH IN TITO	1.48 ± 0.04	1.56 ± 0.02	1.06 ± 0.14
	1'<0.1	F < 0.001	P < 0.05
Cykunnat + comato-			
CTATHH IN CILEO	1-1 ± 0-2	1.48 + 0.3	1.4 ± 0.19
	P < 0.05	P < 0.001	P 0.2
2 KF	2.76 + 0.13	8.85 7 0.62	3.23 ± 0.18
3 - NI + CONSTOCTA	2000	V	
ואו וח ניונים	1.8 ± 0.06	3.17 + 0.47	1.76 + 0.25
TRH IN CICO	P < 0.001	P < 0.001	P < 0.001
	F < 0.001	F < 0.001	1 < 0,001
2 KI COMBTOCTA-	2 45 4 0 0	0 50 4 0 5	1.61 1.00
TITH IN CITED	1.46 + 0.2	2.59 + 0.5	1.81 + 0.22
	P 0.001	P < 0.001	P < 0.2

Соматостатии оказывает аналогичное действие в митохондриях печени и почек (табл. 3, 4) при субстратах окисления сукцинате и 2-кетоглютарате в опытах іп vivo и іп vitro. Поглощение кислорода и эстерификация фосфата заметно подавляются, особенно это болег выражено при прямом добавлении в пробы, при этом Р/О синжается

Таким образом, соматостатин в дозах, ингибирующих выделения соматотропина из аденогипофиза в общую циркуляцию сильно подавляет окислительное фосфорилирование в изученных органах. Опыты показали, что при гипофизэктомии крыс подавление окислительноге фосфорилирования во всех органах выражено гораздо сильнее. Эти данные свидетельствуют о том, что эффект соматостатина на окислительное фосфорилирование изученных органов не осуществляется через гипофиз. Наоборот, в гипофизе имеются факторы, которые ослабляют действие соматотропина на дыхание и эсгерификацию фосфата в изученных висцеральных органах.

Институт биохимии Академии наук Армянской ССР

Հայկական ՍՍՀ ԳԱ թորակից-անդամ Ա Ա, ԳԱԼՈՑԱՆ, Ռ Հ ԿԱՐԱԳԵՏՑԱՆ

Սոմատոստատինի ազդեցությունն օքսիդային ֆոսֆուիլացման վետ նադառների սոտի, հիպոթալամուսի, երիկամների և լյարդի միտոքոնդրիաներում

Սոմատոստատինը ներերակային ներարկման դեպքում սկատելի կեր պով ճնշում է թթվածնի կլանումը և տնօրգանական ֆոսֆատի էսթերիֆիկացումը սրտի, հիպոթայամուսի, երիկամների և լյարդի միտորոնդրիանել։ում։

Սոմատոստատինի ավելի ուժեղ ճնշիչ ազդեցությունը նկատվում է III VIIIO փորձերում, հատկապես սրտի և լյարդի միտոթոնդրիաներում։ Տվյալները վկայում են այն մասին, որ ստոմատոստատինի ազդեցությունը արդեցունյան հոսֆորիլացման վրա իրականացվում է ոչ միայն հիպոֆիդի միջոցով, այլ միպոֆիզից զատ։ Կատարվում են փորձեր սոմատոստատինի ազդեցունյան նուրը մեխանիզմների պարզաբանման ուղղությամբ։

JHTEPATYPA - SPU4BURFPBRFL

¹ R. Guillemin. Вопросы биохимии мозга, Иза. All Apm. ССР. 8. 141 (1973).

¹ A. A. Галоли, Некоторые проблемы биохимии гипотальщической регулиции. Ерепан (1965).

³ A. A. Галоли, Р. А. Александи, Р. О. Каропетли. Вопросы мед. чинии. В. 3. 259 (1972).

⁴ A. A. Галоли, Р. О. Каропетли, В. С. Сафарли, Изд. АН. Арм. ССР. В. 107 (1973).

⁵ A. A. Галоли, Р. О. Каропетли, В. С. Сафарли, ДАН. Арм. ССР. В. 50. 11973).

⁶ A. A. Галоли. Материалы I. Всестовной кинференции нейровилокринологии. Л. (1974).

⁷ A. А. Галоли. Р. А. Александи, Биол. журнал Армении. В 27. № 6. В 2. (1974).

⁸ A. М. Зубовская, Н. О. Степанди. С. Северии. Вопросы мез. чинии, 14, 533 (1968).

⁹ В. П. Скулачей, Соотношение окисления и фосфорилирования в зыкательной цепи. М. 1962.

¹⁰ О. Н. Lowry a. J. A. Lopes. J. Hiol. Chem. 162, 421, (1940).

¹¹ О. Н. Lowry et al., 1. Blot. Chem., 193, 265 (1951).

LIX 1974 3

УДК 631 46+577 15

АГРОХИМИЯ

А. Ш. Галстян, Г. В. Базоян

Об активности арилсульфатазы почвы

(Представлено академиком АН Армянской ССР Г. С. Давтяном 20/VI 1974)

Арилсульфатаза (КФ 3.1.6.1, арилсульфат-сульфогидролаза) осуществляет гидролитическое отщепление сераорганических соединении со сложноэфирной связью на фенолы и сульфаты (1). В результате этой реакции сера из трудноусвояемой формы превращается в легкоусвояемую для растений и микроорганизмов.

В настоящей работе изучались активность арилсульфатазы и различные формы серы в основных типах почв Армении. В почве формы серы—общая, минеральная и органическая, определялись по Р. Х. Айдиняну (2).

Для определения активности арилсульфатазы почвы в качестве субстрата был использован п-нитрофенилсульфат (1), что дало возможность фотоколориметрически определить органическую часть субстрата—п-нитрофенол, после ферментативного расщепления.

Определение активности арилсульфатазы почв приводится в нашей модификации.

Реакция протекает по уравнению:

$$O$$
 $N O-S$
 $O-S$
 $O-S$

Количественный учет серы, отщепленной от п-нитрофенилсульфата под действием арилсульфатазы почвы, производится калибровочным графиком п-нитрофенола (рис. 1). 0,1 г химически чистого п-нитрофенола растворяют в дистиллированной воде и в колбе на 50 мл объем доводят до метки. 1 мл этого раствора содержит 2 мг п-нитрофенола, что соответствует 0,230 мг серы. Затем в 25-миллилитровых мерных колбах берут соответствующие количества миллилитров стандартного раствора с содержанием от 1 до 10 мг п-нитрофенола прибавляют 0,5 н. NaOH (каплями) до устойчиво желтого окрашивания. Среда должна иметь рН 8,5—8,6. Окрашенный раствор фотоколориметрируется на приборе ФЭК-М. Используются 5 мм кюветы и светофильтр с пропусканием лучей, длиной волны 450—480 мм.

Для анализа почву высушивают при комнагной температуре в тени, очищают от остатков корней и просенвают через сито с отверстиями диаметром в 0,25 мм. Навески (1 г) почвы помещают в колбы на 50 мл, добавляют 1 мл 1%-ного раствора п-нитрофенилсульфата калия и 3 мл ацетатного буфера, рН 5,4. Контролем служит почва с буфером и субстраты без почвы. Колбы закрывают корковыми пробками, встряхивают и ставят в термостат при 30° на один час. За это

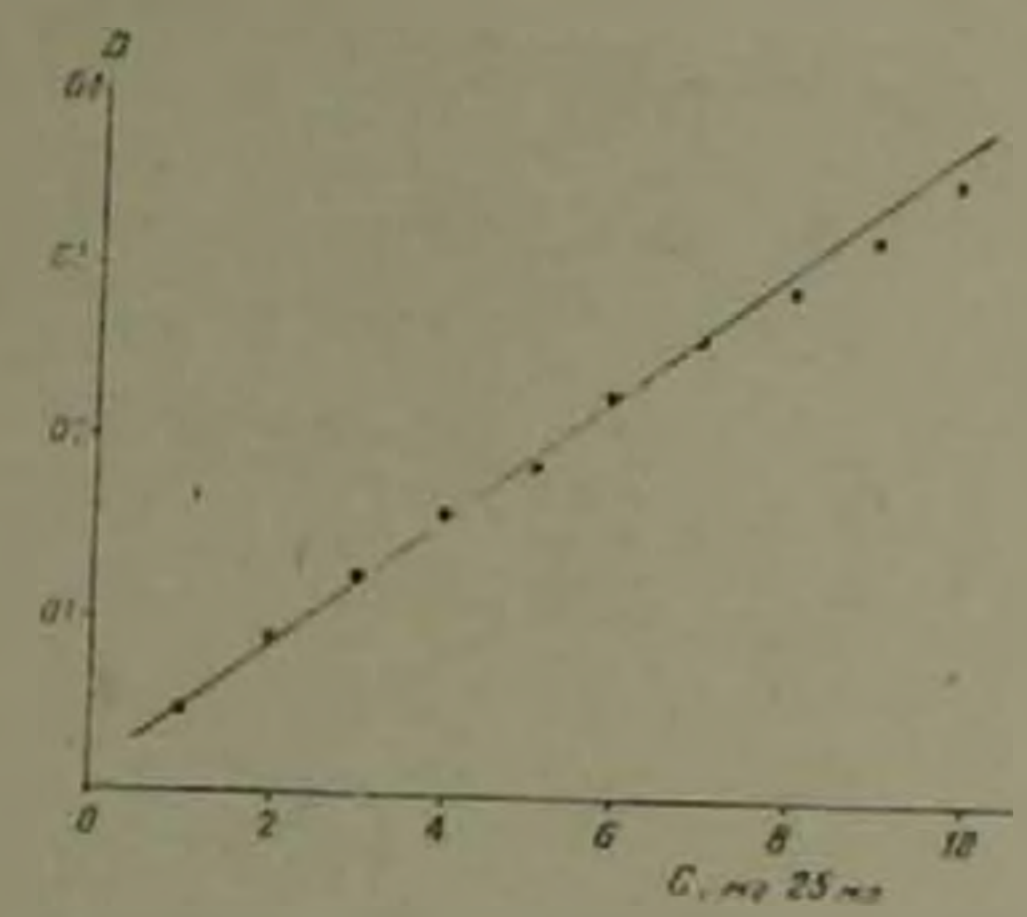


Рис I Калибровочный график п-интрофеноля для определения активности арилсульфатазы почвы

время колбы осторожно два раза встряхивают. По истечения времени взаимодействия субстрата с почвой в колбы добавляют 1 мл 0,5 М CaCl₂ и 20 мл дистиллированной воды, взбалтывают в течение 10 мим и фильтруют (синяя лента). В фильграте продукт ферментативной реакции п-интрофенол окрашивают с помощью 0,5 и. NaOH. Раствор должен иметь рН 8,5—8,6, при этом следует избегать перетитрования Полученный окрашенный раствор фотоколориметрируется согласно вышеописанному. Активность арилсульфатазы выражают в миллиграммах серы на 100 г почвы за час. Ошибка определения до 5%.

Исследования показали, что в ферментативной системе почвы присутствует активная арилсульфатаза; при стерилизации почвы сухим жаром она полностью инактивируется. В различных типах почв активность арилсульфатазы неодинакова (табл. 1). Высокой активностью фермента обладают горно-луговые и лугово-черноземные почвы, затем черноземы и лесные. В каштановых и бурых полупустынных она действует слабее, а в солонцах—солончаках ее активность не обнаруживается.

Активность арилсульфатазы находится в тесной зависимости от содержания сераорганических соединений и гумуса в ночве. Сера в почвах, за исключением в засоленных и гипсоносных, в основном находится в форме органических соединений. В горно-луговых, луговостепных, лугово-черноземных, лесных почвах и в черноземах их содержание доходит до 98% от общей серы, в каштановых—до 80, в бурых—до 40, а в солонцах-солончаках—до 10%. Таким образом, в гумусированных почвах значительная часть серы находится в форме

органических соединений, которая может стать доступной растениям лишь после их мобилизации в результате действия ферментов. Известно, что в почвенном питании растения используют окисленную серу в форме сульфатов. А в почве сера встречается не только в форме сульфатов, но и сульфидов и органических соединений, которые превращаются в сульфаты в результате действия соответствующих ферментов, в системе которых действует арилсульфатаза.

Таблица / Активность арилсульфатазы и содержание серы в различных типах почв

		pH. H₃O	Сера, из на 100 з почин			
Почеа	Гумус.		общая	мнне- ральная	_	активності арилсуль- фаталы
Горно-дуговая лерновая,	15.7	5.2	145	3	142	72
Лугово-степная чернозе-	13.7	5.8	164	3	161	66
Лугово черноземная.	7.1	5.6	101	4	97	53
Коричневая лесная, лес	7.9	6.9	87	2	85	23
Чернозем выщелоченный,	7.1	6.8	108	4	104	29
Каштаноная карбонатная, целина	3.2	7,9	100	20	80	18
Бурая полупустынная, целина	2.2	8.2	75	48	. 27	7
Солонец-солончак, соло- ный сульфатио-хлори циый	0.6	10.0	185	170	15	()

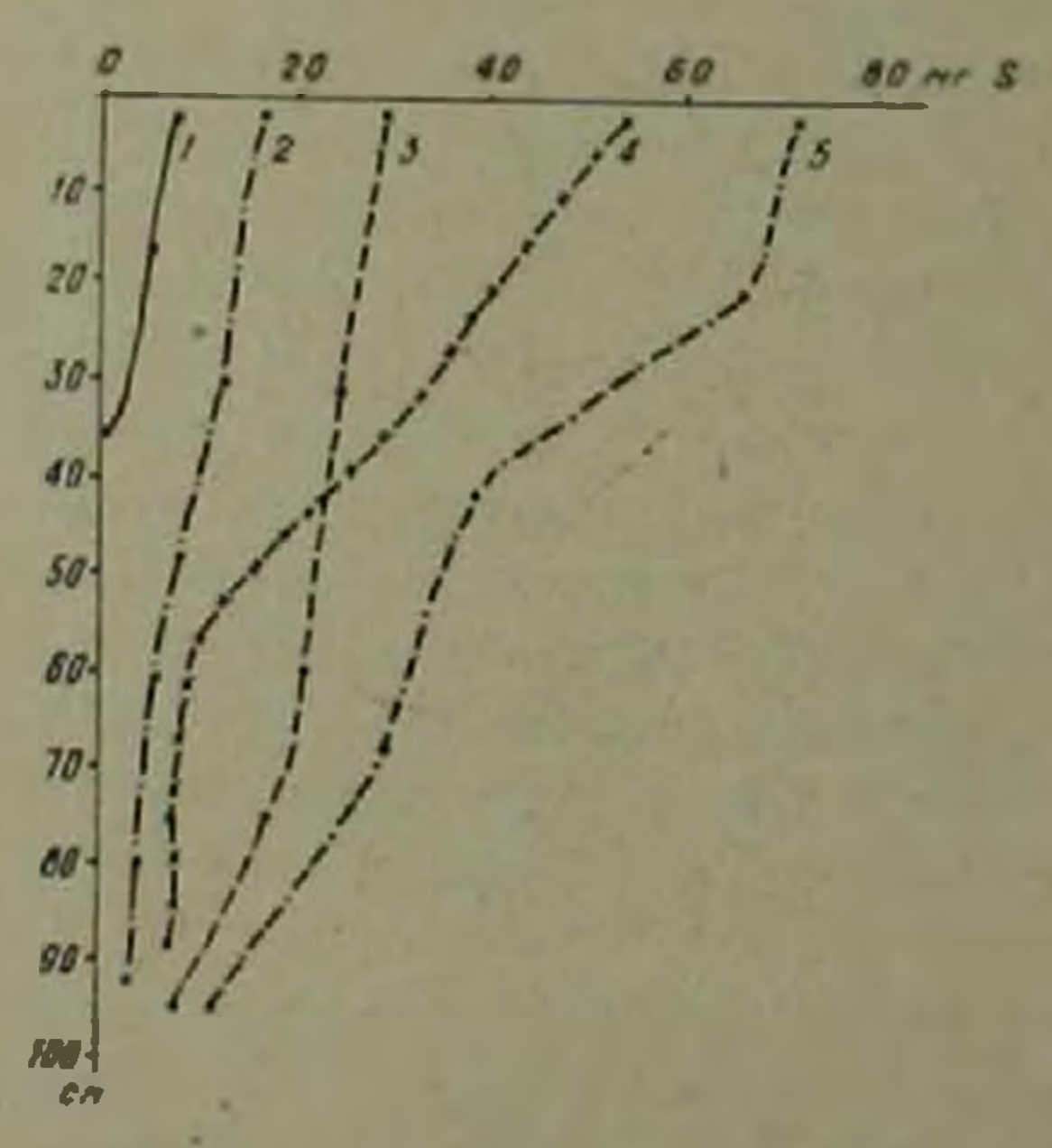


Рис 2 Изменение активности арилсульфатазы по профилю различных типов почи. 1—бурая полупустынная; каштановая карбонативя; у чернозем выщелоченный; 4—лугово-степная черноземовидная, 5—горно-луговая дерновая

В почве арилсульфатаза активна в гумусовом горизонте (рис. 2); по профилю ее активность снижается в соответствии с уменьшением органического вещества, в частности, сераорганических соединений В бурых полупустынных почвах арилсульфатаза активна лишь в верхних горизонтах. В гипсоносных и сцементированных слоях ее действие не обнаруживается. Она сравнительно активна по профилю черноземов, лугово-степных и горно-луговых почв, где содержание сераорганических соединений достигает значительных величии.

Оптимум рН действия арилсульфатазы в почве лежит в слабо-кислом интервале, рН 5,4—6,2.

Таким образом, изучение активности арилсульфатазы поможет познанию обмена серы в почвах с целью регулирования се режима в системе почва—растение.

Ниститут почвоведения и агрохимии МСХ Армянской ССР

u. 6. sulussud, 4. q. pugasud

Հողի առիլսուլֆատազայի ակտիվության մասին

Արիլսուլֆատաղայի ակտիվությունն ուսումնասիրված է տարբեր տիպի շողնրում։ Այդ ֆերմենտի ակտիվությունը հողում կախված է ծծումբօրդանական միացությունների, հումուսի պարունակությունից և միջավայրի ռեակացիայից։ Այս տեսակետից օրգանական նյութերով հարուստ հողերը՝ լեռնա-մարդադնտնային, մարդագնտնա-տափաստանային և սևահողերն ունեն նշված ֆերմենտի համեմատական բարձր ակտիվություն, իսկ շագանակադույն և գորշ հողերը՝ ցածր աղուտ-ալկալիներում նրա ակտիվությունը չի հայտնարիրվում։ Հողում արիլսուլֆատաղան բույսերի համար անմատչելի ծծումբը վեր է ածում մատչելի ձևի։ Այդ ֆերմենտի ուսումնասիրությունը հայտնակորություն կտա պարդաբանելու բույսերի ծծմրային սննդառության առանձնահատակություննիը։

ЛИТЕРАТУРА — ЭРКЧКЫЛЬРВЛЬЬ

¹ Номенклатура ферментов, М., 1966 ² Р Х Айдинян, «Почвоведение» № 9, 1957. ¹ М А, Tabatabai and I. М Bremner, Soil Sci. Soc. Amer. Proc. vol. 34. №2, 1970.

3

УДК 595 767 11

энтомология

С. М. Яблоков-Хизорян

Два новых вида жесткокрылых—узкокрылок из Таджикистана (Coleoptera, Oedemeridae)

Представлено чл.-корр. АН Армянской ССР Э. А. Давтяном 24/IX 1974)

1. Diasclera oxiana lablokoff-Khnzorian, sp. nov.

Таджикистан: Комсомолабад, у берега Вахша, за мостом, на густо облесенном крутом склоне вдоль реки, на высоте около 1000 и над у. м., на деревцах и цветах гребенщиков, 28/VI 1972. Голотип, В паратипов (2 ♂ ♂ и 3 ♀ ♀).

Тело сверху ярко блестяще золотисто-зеленое, снизу черное с металлически зеленым блеском, волосистость серебристая. Рот, усики, щупики, вертлуги и лапки, а также вершинная часть задних голеней черные, прочие голени и бедра желтые, задние бедра у самого основания с узким черным колечком. Длина 7—9 мм. Рис. 1,в.

Голова с наличником равной длины и ширины. Глаза выпуклые, с узкой вырезкой, виски сильно сужены кзади, лоб с перовностями. сзади густо и грубо точечный, вдоль переднего края глаз с пежной поперечной бороздкой, кпереди от нее слабо выпуклый, в очень мелкой н рассеянной точечности, как и паличник. Фон всюду гладкий, волосистость зачесана беспорядочно, частично лучеобразно от середины лба. Челюстные щупики (рис. 1, и) с удлиненным последним члеником, слегка расширенным к вершине. Усики длинные, их 2-й членик слегка длиниее ширины, следующие 4 почти равной длины, длиниее последующих. Переднестинка едва длиниее ширины, с топкой средииной бороздкой, укороченной спереди и сзади, спереди выпуклая, за серединой с поперечным вдавлением, с перовностями; ее основание окаймлено, с ресничками, слабо дугообразно изогнуто, боковые края спереди слабо выпуклые, сзади слабо вогнутые до широко закругленных, необособленных, задних углов, диск в такой же скульптуре, как задняя часть лба, волоски на срединной полосе диска зачесаны назад. вдоль боков косо назад и кнаружи Щиток 4-угольный, густо волосистый, слегка расширен кзади. Надкрылья с широко закругленными плечами, с крупными выступающими плечевыми бугорками, от плеч равномерно сужены до вершины, без видимых жилок или со следом

2-й жилки, очень грубо и густо точечные, точки круппее, чем на переднеснике, промежутки между ними сведены к узким килям Весь верх в негустой, довольно длинной волосистости, образующей бахромку вдоль надкрылии. Грудь мелко и рассеянно точечная на нежно шагренированном фоне, с боков густо, вдоль середины рассеянно волосистая. Брюшко густо точечное и вслесистое на шагренированном фоне. Вертлуги (рис. 1,г) толстые, с зубцом, ноги длинные, коготки простые.

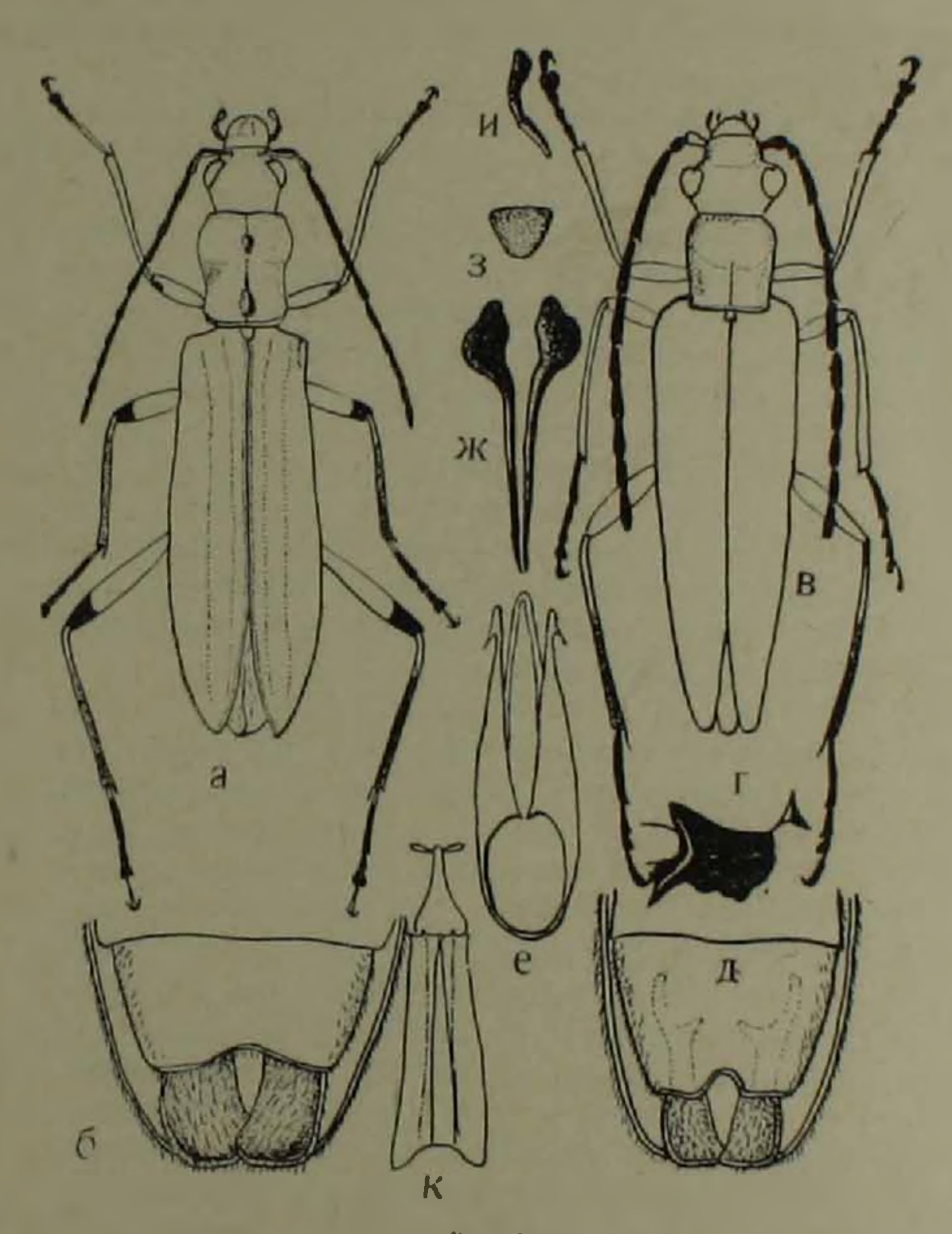


Рис. 1.

а—Chrysanthia canaliculata Khuz., sp. nov. голотип, б—Diasclera viridescens Rettler, голотип, вершина брюшка венгрально, в −k D охіапа Кhnz., sp nov.; в голотип, габитус; —правый задний вертлуг; д — вершина брюшка венгрально; в пенис вентрально; мс урит 1Х. з уростернит VIII, п — левый челюстный щулик. к -- ложный яйцеклад ⊊ дореально

У З голова слегка шире передпеспинки, которая более сужена кзади, усики длиниее половины тела, вершинный край уростернита

VI слабо изогнут и утолщен у середины, уростериит VII с глубоко и узко вырезанным вершинным краем (рис. 1,д), уростериит VIII очень маленький, треугольный (рис. 1,з), уротергит VIII разделен на два склерита с длинными двузубчатыми рукоятками, спрятанными в теле и густоволосистыми лопастями, расширенными к вершине и далеко выступающими за края предыдущего сегмента. Урит IX сведен к 2 узким иглам, сильно расширенным к вершине (рис. 1,ж), образованным его плевритами. Пенисная трубка (рис. 1,е) узко ланцетовидная без всяких особых структур, парамеры у основания очень широкие, кончаются узкой лопастью с длинным тонким зубцом, направленным косо назад, спаяны с тегменом.

У С глаза площе, голова не шире переднесиники, усики слегка короче половины тела, яйцеклад (рис. 1,к) длинный с короткими волосистыми стилями.

Этот вид припадлежит к роду Diasclera Reitt., 1913, насчитываю щему всего 2 близких вида, в том числе тип рода, описанного из Кировабада (Азербайджан); 2 типа этого вида (голотип — и паратип — были любезно присланы мие д-ром Касабом из Буданешта, кото рому выражаю искрениюю благодарность. Отличительные признаки обоих видов сводятся к следующему:

1. D. virldescens Reitter

2. D. oxiana Khnz., sp. nov.

У типов viridescens все усики обломаны, так что их длину выяснить не удалось, но, судя по их остаткам, они должны быть слегкт короче, чем у охіапа, вертлуги такие же, окраска типов слегка синеватая, без золотистого блеска. Последние стерниты брюшка (рис. 1,6) совсем иного строения, чем то, которое описано у Рейттера.

2. Chrysanthia canaliculata lablokoff-Khnzorian, sp. nov.

Таджикистан: Комсомолабад, там же и вместе с предыдущим. Голотип Q.

Тело ярко золотисто-зеленое, переднеснинка едва темнее надкрылии, наличияк, щеки, рот, анальный тергит и бедра желтые, на передних бедрах маленькое вершинное черное пятно, на средних и задних черное вершинное кольцо, передние голени одноцветно желтые, средние и задние—темные со светлым основанием, ланки черные, кроме большей части 1-го членика на передних и его основания на прочих 190

лапках, шпоры желтые. Усики черные, спизу с осветлениями на 2 1-х члениках, щушики черные, волосистость светлая. Длина 8 им. Рис. 1,а

Голова едва шире переднестинки. Глаза цельные Лоб голый, довольно плоский, очень густо и мелко точечный на шагренированном фоне, точки отстоят меньше, чем на днаметр. Виски длинные, слегка вогнутые, темя плоское. Под глазами пучок коротких торчащих беловатых волосков. Усики достигают половины тела, их 3-й членик по длине равен 1-му, в 1,5 раз длиннее 2-го. Переднеспинка голая, в 1,2 раза длиннее ширины, с глубокой цельной срединной бороздкой, перерезывающей 2 вдавления, одно в передней четверти, другое у основания, с широким поперечным вдавлением тотчас же за серединой, расширенным латерально, перед ним с 2 плоскими выпуклостями. за инм переднеспинка сужена и снова расширена к основанию, боковой край кзади широко вогнутый, передний—слабо извилистый, без вырезки, нежно окаймлен, основной-с толстой каймой; диск в такой же скульптуре, как лоб, но слегка более грубой, с поперечными морщинками. Щиток полукруглый, волосистый. Надкрылья в такой же скульнтурс, как лоб, с 3 жилками, 1-я и 2-я слегка извилистые, скульптированы как фон, плечевая (нормально 3-я жилка) отсутствует, краевая (пормально 4-я) отходит от оси плечевого бугорка, резкая, прямолинейная, постепенно и слабо приближена к боковому краю, почти цельная, гладкая и блестящая. У вершины надкрылья закруглены по отдельности. Волосистость негустая, очень короткая. Ноги тонкие, предпоследний членик лапок едва шире предыдущего. Коготки гладкие

У 9 анальный тергит с глубокой вырезкой.

Этот вид—типичный представитель рода Chrysanthia Schmidt, 1846, которыи до сих пор не был известен из Средней Азии и считался связаничим с хвойными, в основном с сосной. Экология нового вида, по-видимому, совсем иная. У всех видов, известных из СССР, тело металлически зеленое, иногда с синеватым или бронзовым блеском их можно различать следующим образом:

- 1 (6) Переднесиннка не или слегка длиннее ширины, с тонкой продольной срединной бороздкой или без нее, без срединных вдавлений. Наличник и щеки темные, одного цвета со лбом. Анальный сегмент черный.
- 2(3) Переднеспинка лишь со следом срединной бороздки или без него, слегка длиниее ширины, спереди равномерно выпуклая, сужена за серединой, у основания расширена и здесь не уже, чем в передней трети, с равномерно закругленным передним краем. Конечности желтые или двухцветные, сходные у обоих полов. Длина 5—6 мм.

Европа, Грузия, Сибирь... 1, Chr. nigricornts Westh. (=viridis Schmidt). Дальний Восток... 2. Chr. Integricollis Heyden

3(2) Переднесиника с четкой срединной бороздкой, спереди заметно шире, чем у основания, не или едва длиннее ширины. Конечно-

сти одноцветно темные с металлическим блескем или основание усиков и передние голени светлые.

3. Chr. planiceps Klesw.

5(4) Переднеснинка с перовностями и плоскими боковыми вдавлениями, с местами прерванной срединной бороздкой, с перовным, у середины слабо вырезанным передним краем, ее боковые края спереди закруглены слабо, сзади четко вогнутые, у основания переднеспинка лишь слегка ўже, чем спереди. Голова сзади сужена слабо, снизу с короткими торчащими волосками. Конечности черные или местами осветленные, передние голени и основание усиков пормально светлые. У бадние тазики с зазубринами, бедра не расширены, волосистость низа короткая. Длина 6—8 мм. Европа, Грузия, Сибирь

4. Chr. viridissima (L.)

5. Chr. canaliculata Khnz., sp. nov.

Голотипы обонх новых вид в хранятся в коллекциях Зоологи-ческого института АН Армянской ССР.

Зоологический институт Академии наук Арминской ССР

Ա Մ ВКЕЦЕЧЕН БЪОПРВКЪ

կարծրալ և – նեղթեվանիների երկու նոր տեսակ Տաջիկստանից (Coleoptera, Oedemeridae)

Ch ysanthia canaliculata Kh iz., sp.
nov 4 Diasclera oxiana Kh iz., sp. nov., դանված ժիտաին, ծաջիկտանում կոմսոմոլարացի մոտ, հան դետի ափի խիտ անտառածածկ անձեն

հայտնի ըսլոր անսակների համար։ Chrysanthia տես տեսակները կապված են մրջատերեազդիների հետ, տա<mark>կապես սոճա, բայց ն</mark>որ տեսակի էկոլոդիա անարտը րոլորովին այլ էւ

Diasclera սնոր մինչ այժմ հալունի էր միան Կիլուվարադից (Ադրրևջա Նական ՍՍՀ) մի տեսակով. Նոր տեսակը վերջինիս շատ մոտ է, բալց տար ընդվամ է նրանից մի բանի որոշակի հատկանիշննրով։

